机上配付資料1

本資料のうち，枠囲みの内容は営業秘密
又は防護上の観点から公開できません。

敦賀発電所2号炉
「敷地の地形，地質・地質構造について」
に関する審査資料の記載の不備について
（正誤比較）

令和元年8月23日

日本原子力発電株式会社

余白

敦賀発電所２号炉　「敷地の地形，地質・地質構造について」に関する審査資料の記載の不備について（正誤比較）
目　次

資料名			該当ページ（資料の右下）	正誤比較ページ（資料の右上）
平成29年12月22日 第536回 審査会合資料	本編資料	5.敷地の地質構造	106,107,179	4～9
	参考資料（1/3）	2.敷地の地質構造	参考1-201,207～210,223～226,280,292,297,298,302,308～320,333,334, 355,356,384,385,395,396,402,437,438,442	10～87
平成30年11月30日 第657回 審査会合資料	本編資料	―	27,31,33,47,78,82,103	88～101
	参考資料1	2.原子炉建屋及びその周辺の重要施設	参考1-13,16,17,21,24,25,29,32,33,36,37,41,44,45,52,53,57,61,64,65	102～141
		4.原子炉補機冷却海水取水路、貯留堰等	参考1-92,97,109,117,124,125,136,137,152,161,165,168,169,172,173,184,185, 189,193,201,205,209,212,213,220,224,229,237,244,245,248,249,265,277,280, 281,285,288,289,297,301,305,309,317,320,321,325,333,340,341,345,361,368, 369,372,373,381,385,389,397,400,401,409,412,413,417,421,425,429,432,433, 436,437	142～287
		5.防潮堤（防潮扉含む）及びその周辺の重要施設	参考1-445,449,457,469,472,473,481,485,489,493,497,505,509,513,516,517, 525,529,533,536,537,541,545,553,557,565,568,569,573,577,579,581,593,609, 613,617,620,621,633,641,645,649,652,653,657,660,661,668,669,673,677,681, 693,701,705,708,709,713,717,721,725,733,736,737,741,745	288～419
	参考資料2	目次	参考2-3	420,421
		1.浦底断層	参考2-10	422,423
		2.D-1破砕帯	参考2-35,36	424～427
		3.K断層	参考2-45	428,429
		5.D-14	参考2-64	430,431
		6.D-5破砕帯	参考2-69	432,433
		7.H-3a破砕帯	参考2-77	434,435
		9.D-17～D-28破砕帯	参考2-96	436,437
		10.D-29～D-47破砕帯	参考2-109	438,439
		12.f-①-1-3～f-④-13破砕帯	参考2-154	440,441
		14.H-1～f-b-4-6	参考2-167,168	442～445
		15.非モデル化破砕帯	参考2-184～195	446～469
	参考資料3	D-1（H27-B-3）	参考3-40	470,471
		D-1（H24-B14-2）	参考3-126	472,473
		D-1（H24-D1-1）	参考3-142,143	474～477
		D-1（H27-B-1）	参考3-154～157	478～485
		D-1（H27-B-2）	参考3-170,172,173	486～491
		D-5（H24-B11-1）	参考3-295	492,493
		D-3（H27-Br-1）	参考3-539	494,495
		D-20（H20-④-2）	参考3-597	496,497
		D-36（H24-B8-29）	参考3-650	498,499

：修正箇所

5.2.1 浦底断層

活動性評価（Bトレンチ　薄片試料観察）（1/2）

第536回審査会合
資料2 修正前

- 浦底断層の最新活動時の変位センスを把握するため，薄片試料観察を行った。
- トレンチから採取した薄片試料観察の結果，最新活動面からは左ずれを伴う逆断層センスが判読される。

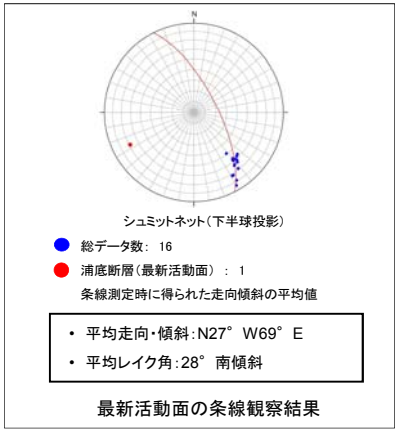

最新活動面の条線観察結果

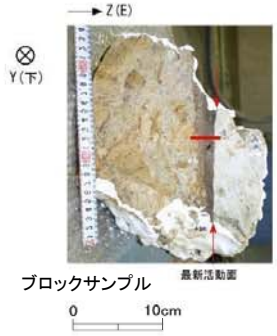

ブロックサンプル

薄片の作成方向は最新活動面に直交方向

Y：傾斜方向（下向きを正とする）

Z：断層面の法線方向（上盤側を正とする）

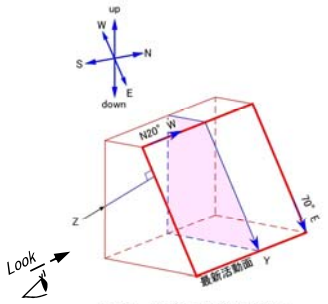

走向・傾斜 N20° W70° E

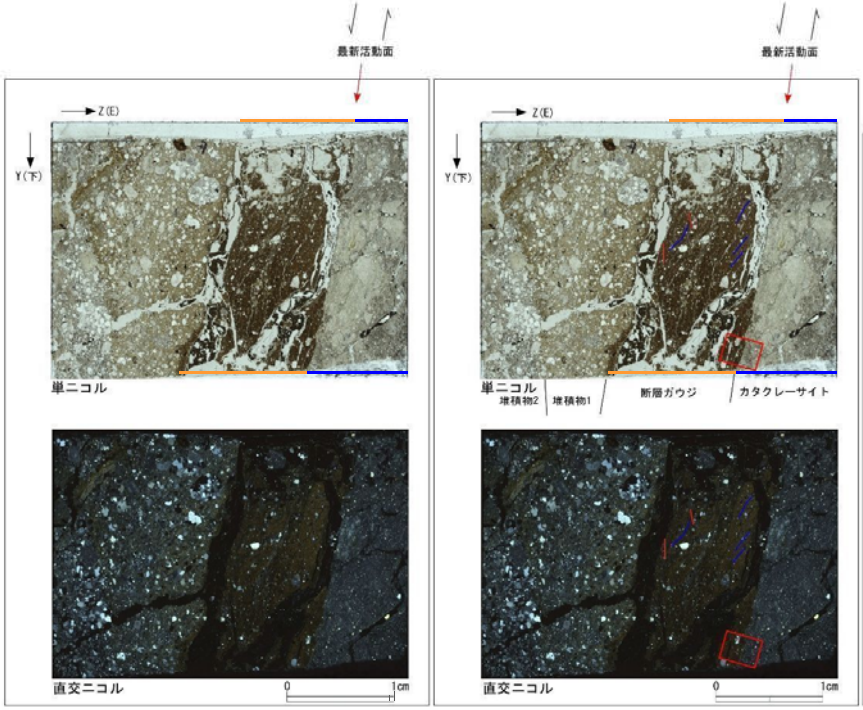

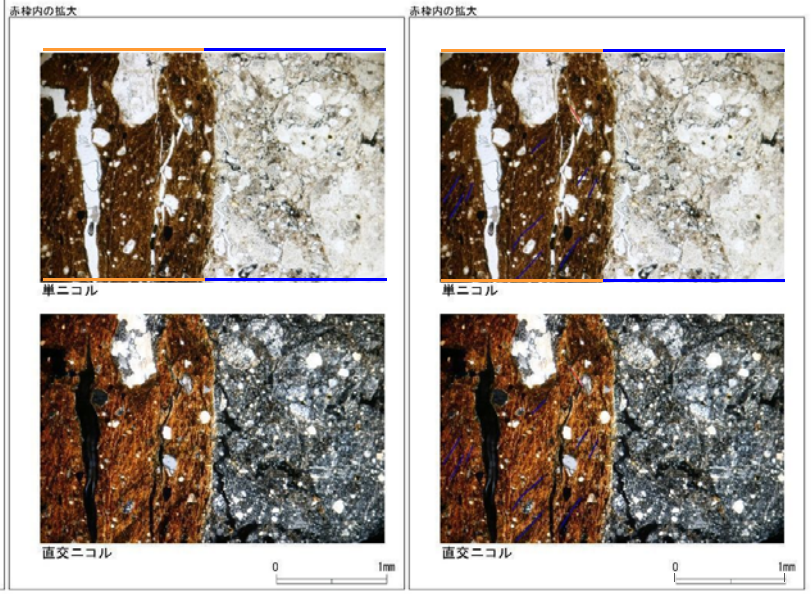

凡 例
- 断層ガウジ
- カタクレーサイト
- R1面
- P面

鉛直断面：最新活動面の変位センスは，逆断層センスを示す。

5.2.1 浦底断層

活動性評価（Bトレンチ　薄片試料観察）（1/2）

第536回審査会合
資料2 修正後

- 浦底断層の最新活動時の変位センスを把握するため，薄片試料観察を行った。
- Bトレンチから採取した薄片試料観察の結果，最新活動面からは左ずれを伴う逆断層センスが判読される。

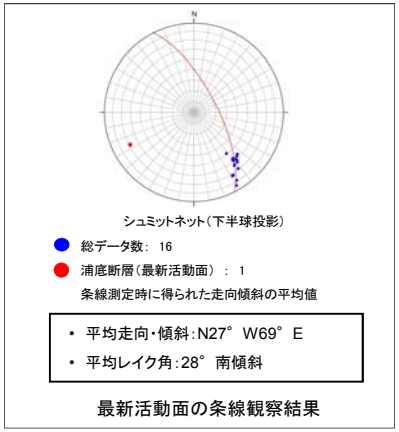

最新活動面の条線観察結果

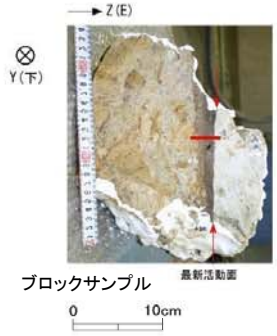

ブロックサンプル

薄片の作成方向は最新活動面に直交方向
かつ傾斜方向に平行方向

Y：傾斜方向（下向きを正とする）

Z：断層面の法線方向（上盤側を正とする）

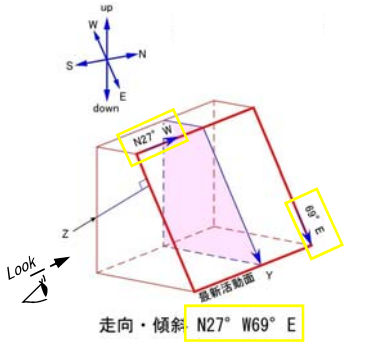

走向・傾斜 N27° W69° E

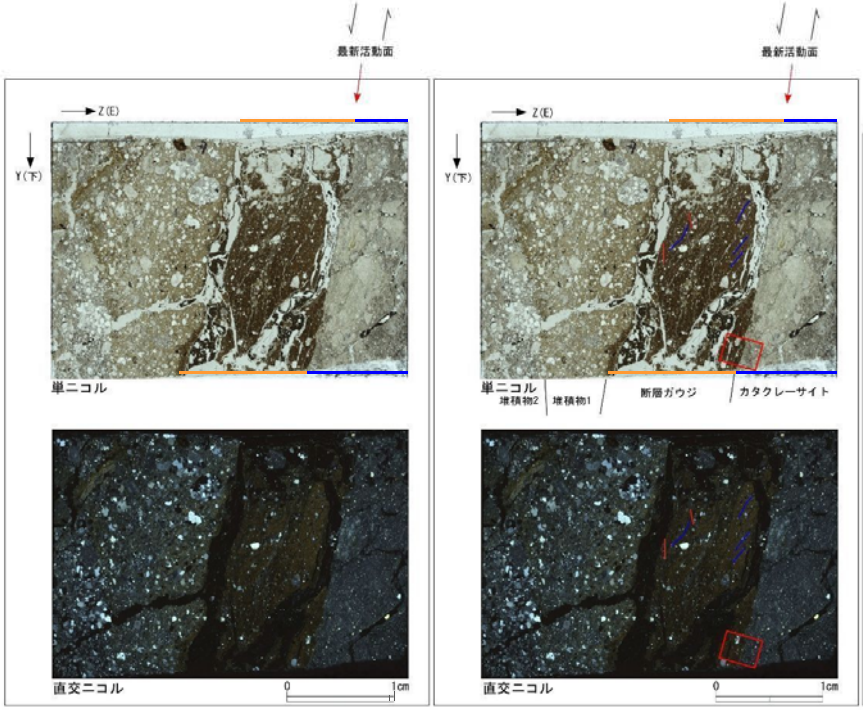

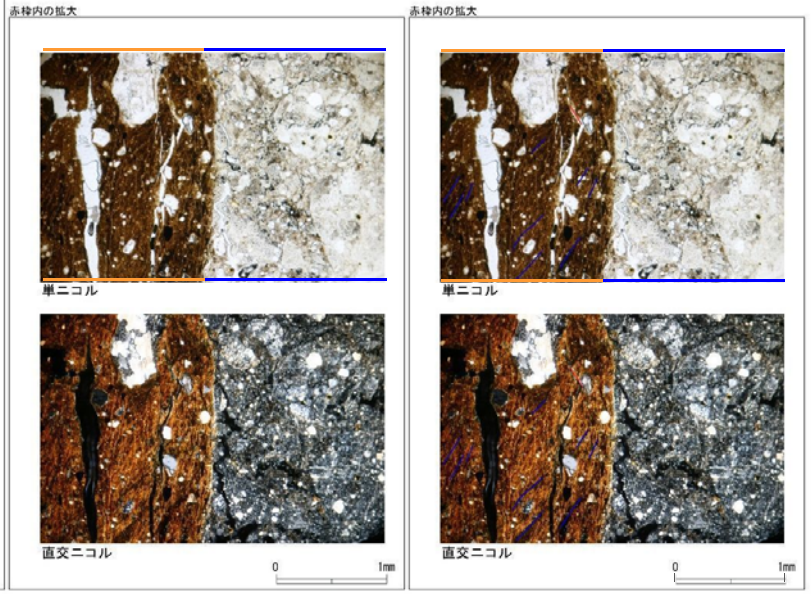

凡 例
- 断層ガウジ
- カタクレーサイト
- R1面
- P面

鉛直断面：最新活動面の変位センスは，逆断層センスを示す。

5.2.1 浦底断層

活動性評価（Bトレンチ　薄片試料観察）（2/2）

- 浦底断層の最新活動時の変位センスを把握するため，薄片試料観察を行った。
- Bトレンチから採取した薄片試料観察の結果によれば，最新活動面の変位センスは左ずれを伴う逆断層成分が卓越する。

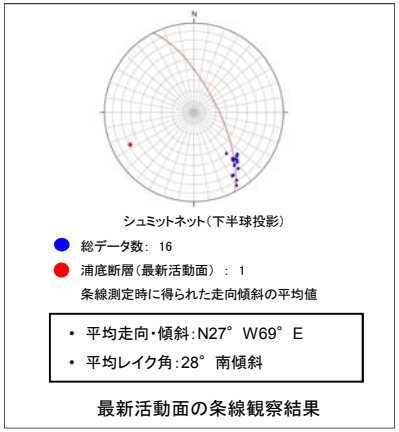

最新活動面の条線観察結果

薄片の作成方向は最新活動面に直交方向

Y：傾斜方向（下向きを正とする）

Z：断層面の法線方向（上盤側を正とする）

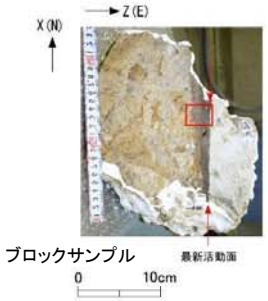

ブロックサンプル

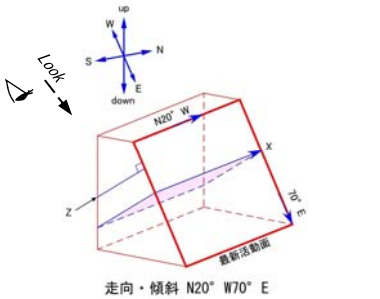

走向・傾斜 N20° W70° E

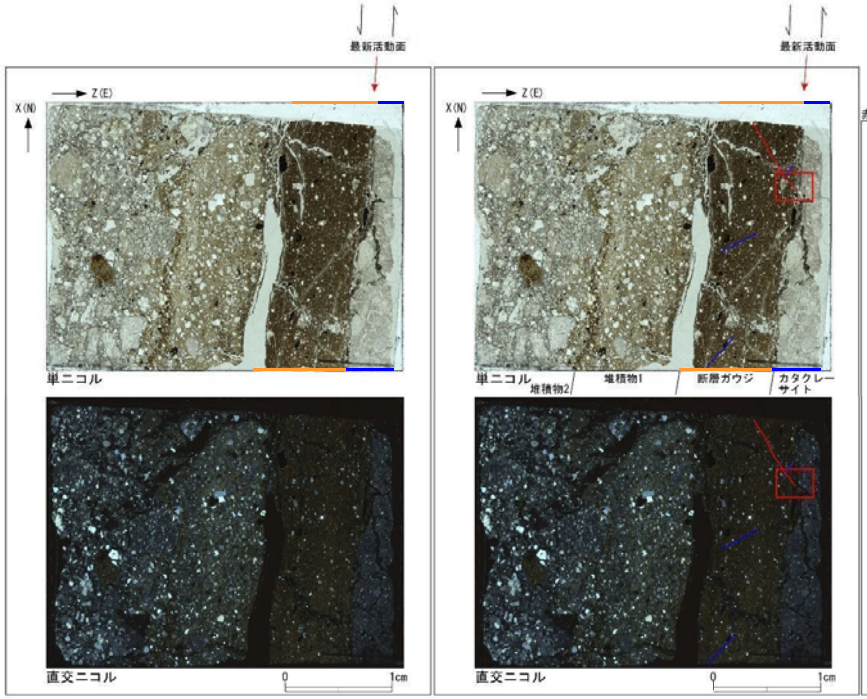

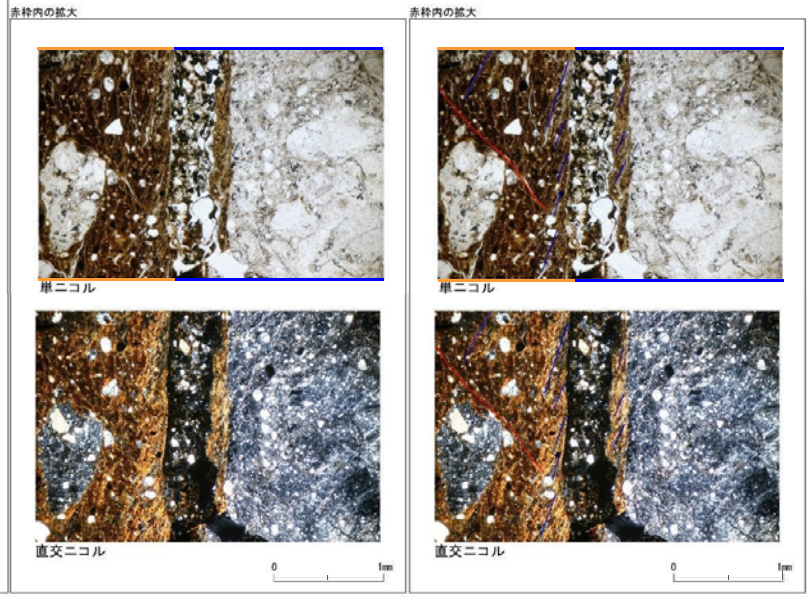

水平断面：最新活動面の変位センスは，左ずれセンスを示す。

5.2.1 浦底断層

活動性評価（Bトレンチ　薄片試料観察）（2/2）

第536回審査会合
資料2 修正後

- 浦底断層の最新活動時の変位センスを把握するため，薄片試料観察を行った。
- Bトレンチから採取した薄片試料観察の結果によれば，最新活動面の変位センスは左ずれを伴う逆断層成分が卓越する。

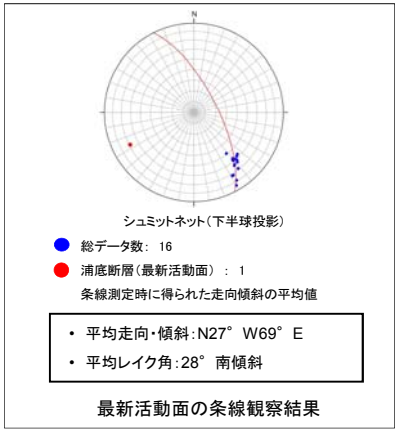

最新活動面の条線観察結果

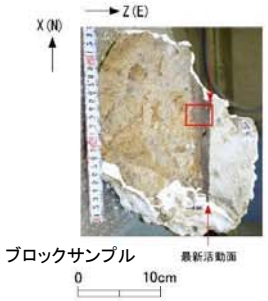

薄片の作成方向は最新活動面に直交方向
かつ走向方向に平行方向

X：走向方向（北向きを正とする）
Z：断層面の法線方向（上盤側を正とする）

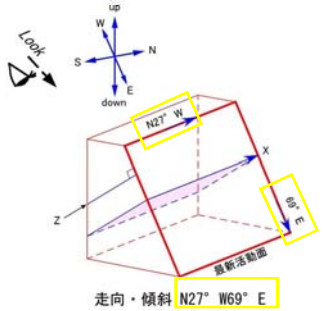

走向・傾斜 N27° W69° E

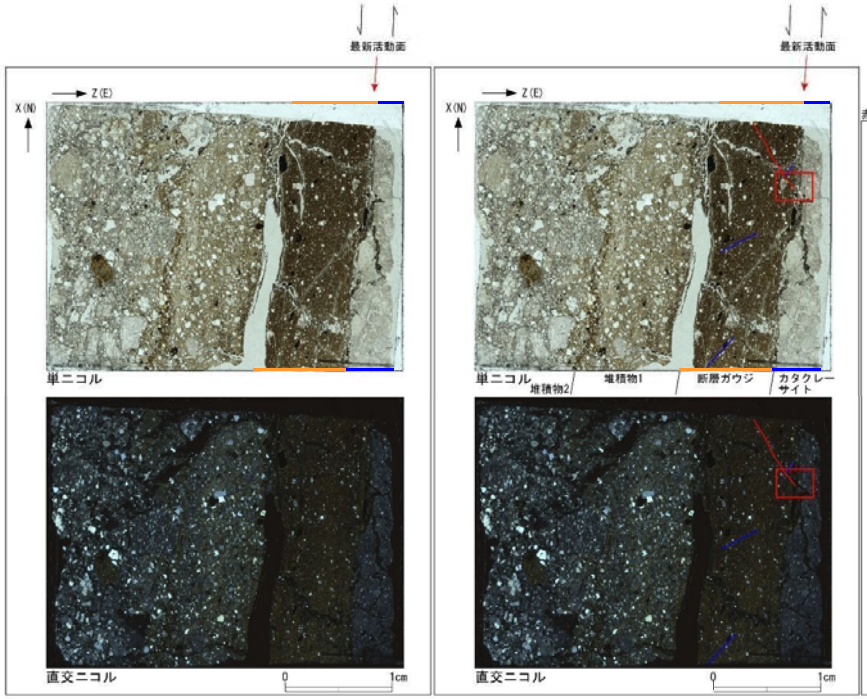

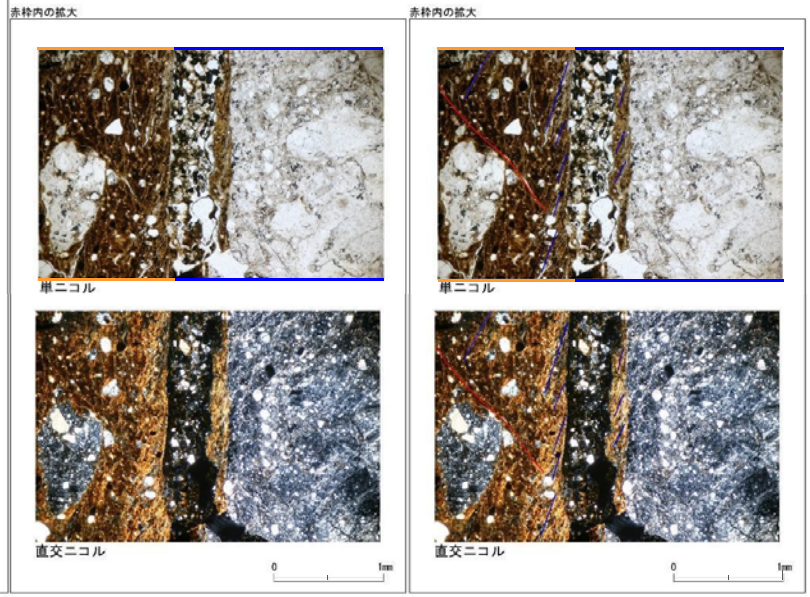

凡 例
- 断層ガウジ
- カタクレーサイト
- R1面
- P面

水平断面：最新活動面の変位センスは，左ずれセンスを示す。

5.2.2.2 (2)K断層

連続性評価(K断層　1－1ピット　薄片試料観察)

第536回審査会合
資料2 修正前

1－1ピットで採取した薄片試料の観察結果によれば，最新活動面の変位センスは，逆断層成分が卓越する。

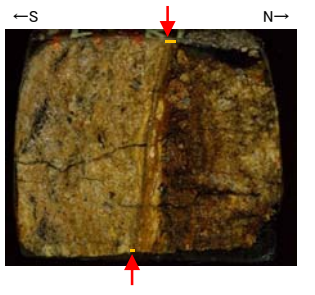

ブロックサンプル画像

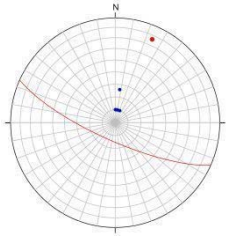

● 底盤測定データ数：5
● 底盤におけるK断層(最新活動面)：1
条線測定時に得られた走向傾斜の平均値

- 平均走向・傾斜(底盤)：N66° W76° S
- 平均レイク角(底盤)：70° 西傾斜

最新活動面の条線観察結果

【全景】
・断層ガウジ：不明
【拡大】
・粒子の配列，色調の縞及び粘土鉱物の配列からなるP面が認められるとともに引きずり 構造から逆断層センスが判読される。

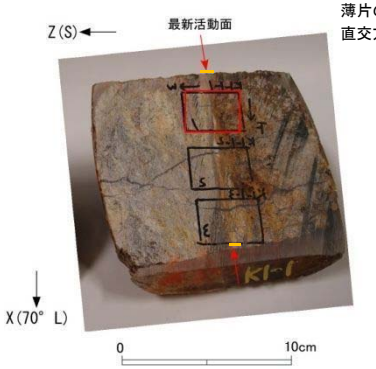

ブロックサンプル

薄片の作成方向は最新活動面に
直交方向かつ条線方向に平行方向

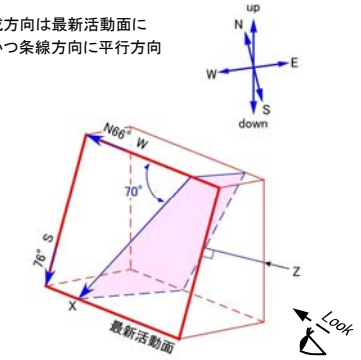

走向・傾斜 N66° W76° S
X：条線方向(下向きを正とする)
Z：断層面の法線方向(上盤側を正とする)

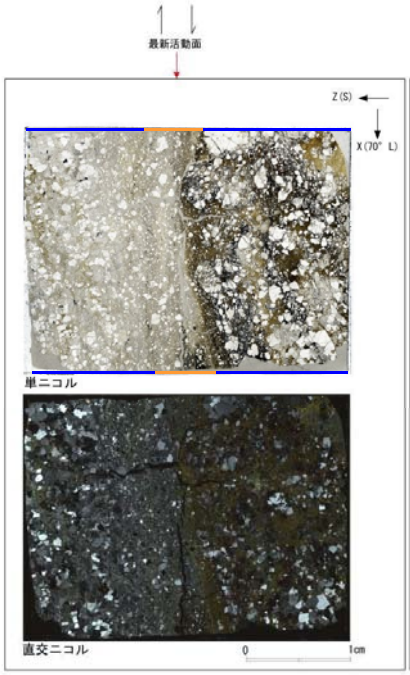

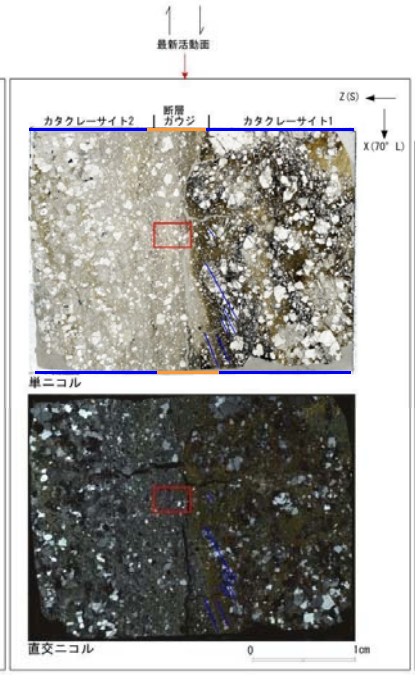

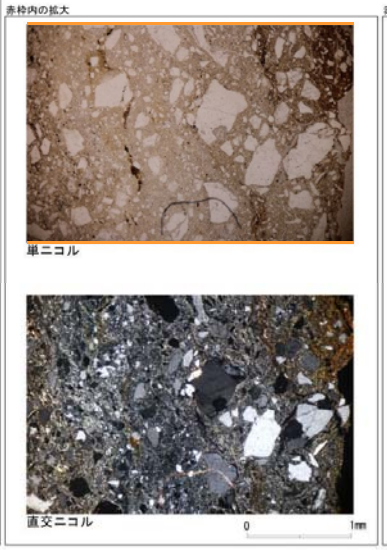

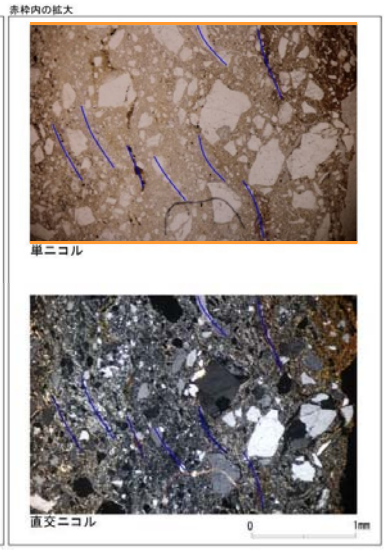

凡例
- 断層ガウジ
- カタクレーサイト
- R1面
- P面

5.2.2.2 (2)K断層

連続性評価(K断層　1－1ピット　薄片試料観察)

第536回審査会合
資料2 修正後

1－1ピットで採取した薄片試料の観察結果によれば，最新活動面の変位センスは，逆断層成分が卓越する。

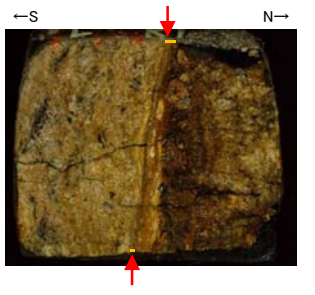

ブロックサンプル画像

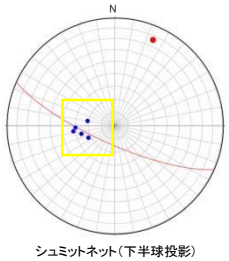

- 底盤測定データ数：5
- 底盤におけるK断層(最新活動面)：1
  条線測定時に得られた走向傾斜の平均値

- 平均走向・傾斜(底盤)：N66° W76° S
- 平均レイク角(底盤)：70° 西傾斜

最新活動面の条線観察結果

【全景】
・断層ガウジ：不明
【拡大】
・粒子の配列，色調の縞及び粘土鉱物の配列からなるP面が認められるとともに引きずり 構造から逆断層センスが判読される。

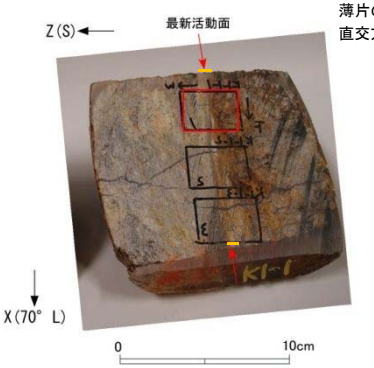

ブロックサンプル

薄片の作成方向は最新活動面に
直交方向かつ条線方向に平行方向

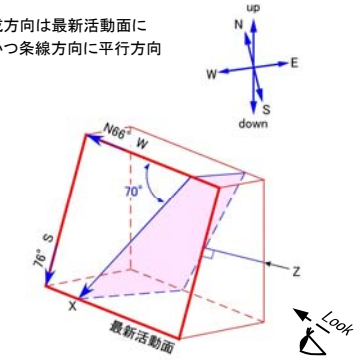

走向・傾斜 N66° W76° S

X：条線方向(下向きを正とする)
Z：断層面の法線方向(上盤側を正とする)

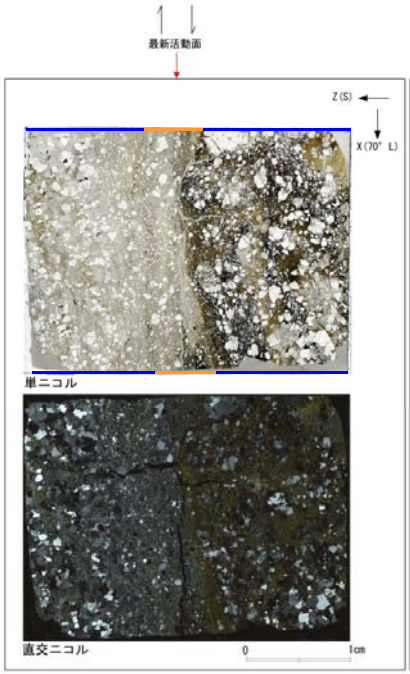

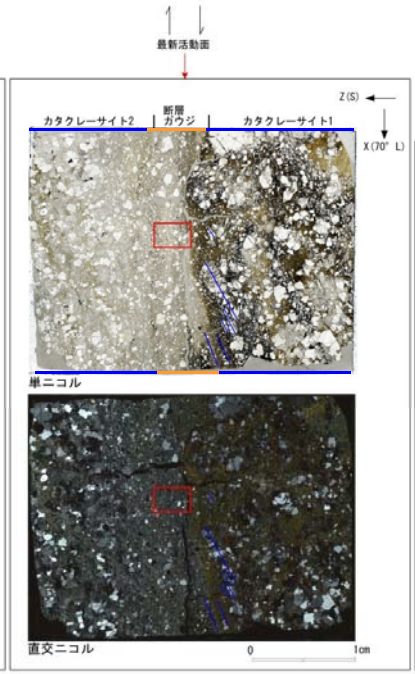

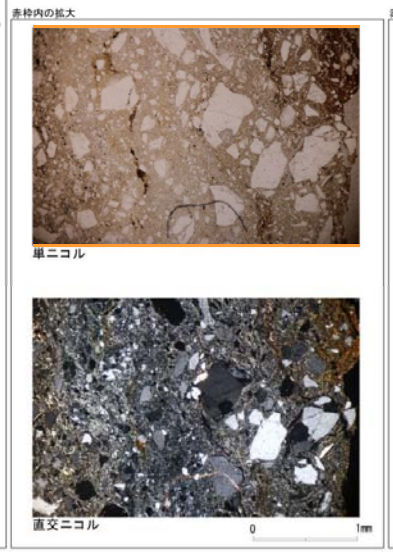

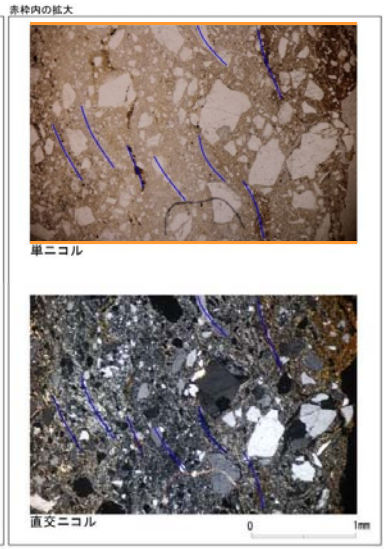

凡例
- 断層ガウジ
- カタクレーサイト
- R1面
- P面

2.2 (1)D－1破砕帯

薄片試料観察(2号炉原子炉建屋付近)(H24-D1-4孔)

第536回審査会合
机上配付資料1 修正前

H24-D1-4のボーリングコア(深度10.90m)から採取した薄片試料の観察結果によれば最新活動面の変位センスは，正断層成分が卓越する。

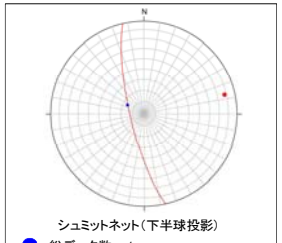

最新活動面の条線観察結果

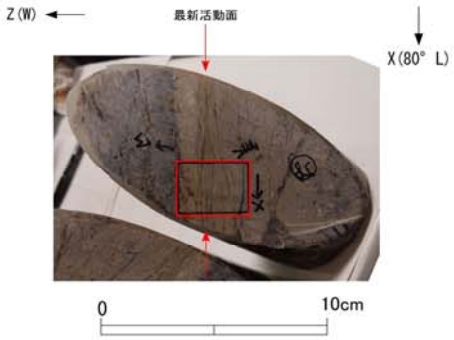

ブロックサンプル

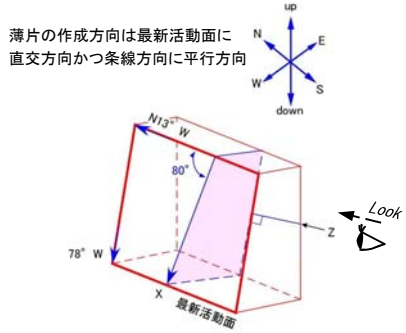

走向・傾斜 N13° W78° W

X:条線方向(下向きを正とする)

Z:断層面の法線方向(z上盤側を正とする)

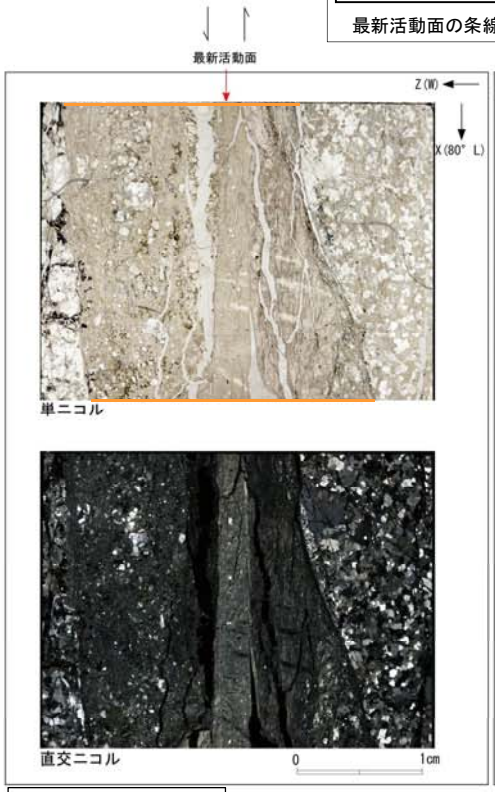

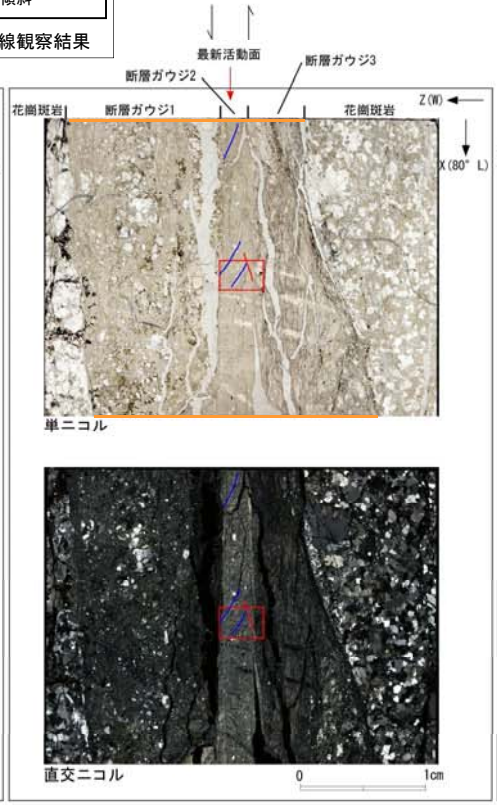

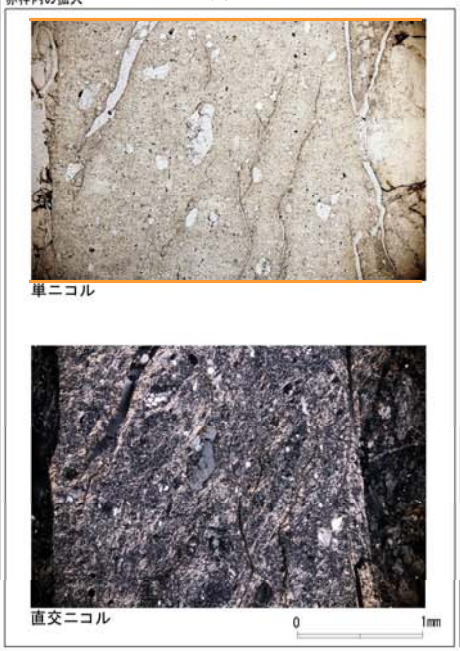

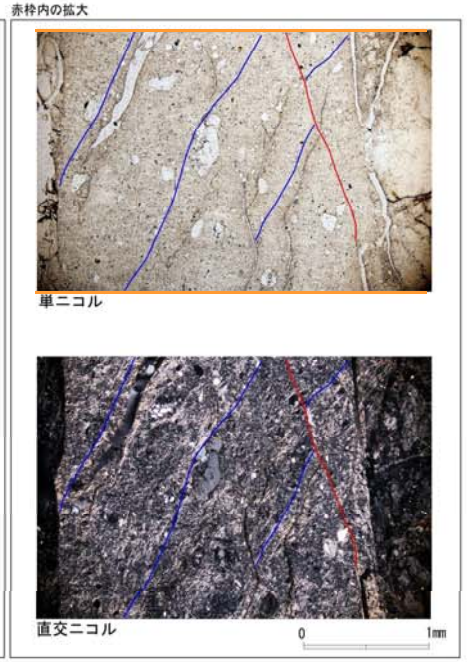

凡例
- 断層ガウジ
- カタクレーサイト
- R1面
- P面

2.2 (1)D－1破砕帯

薄片試料観察(2号炉原子炉建屋付近)(H24-D1-4孔)

第536回審査会合
机上配付資料1 修正後

H24-D1-4のボーリングコア(深度10.91m)から採取した薄片試料の観察結果によれば最新活動面の変位センスは，正断層成分が卓越する。

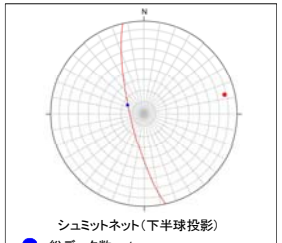

最新活動面の条線観察結果

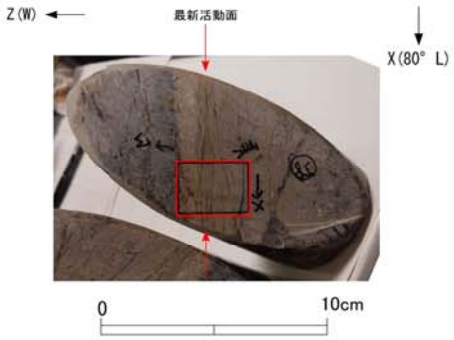

ブロックサンプル

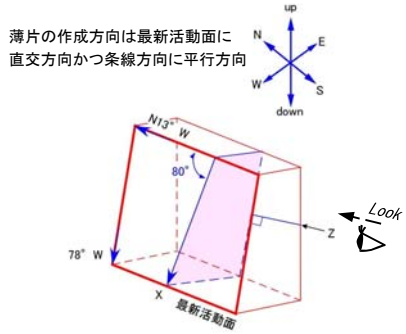

走向・傾斜 N13° W78° W

X:条線方向(下向きを正とする)

Z:断層面の法線方向(上盤側を正とする)

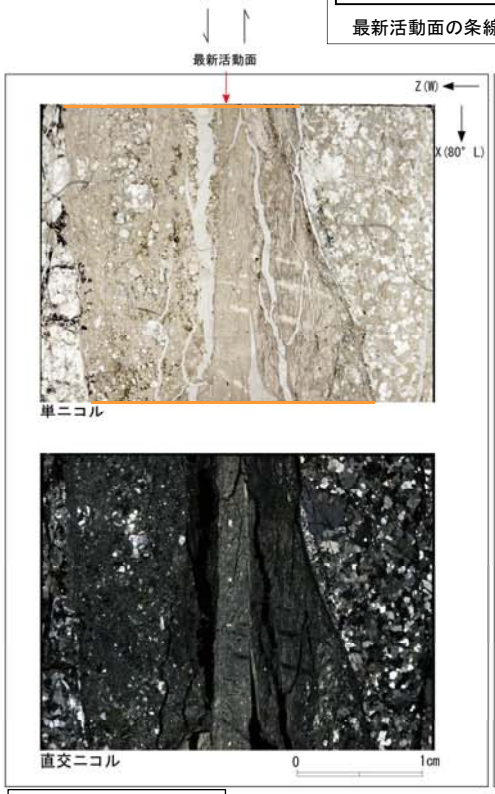

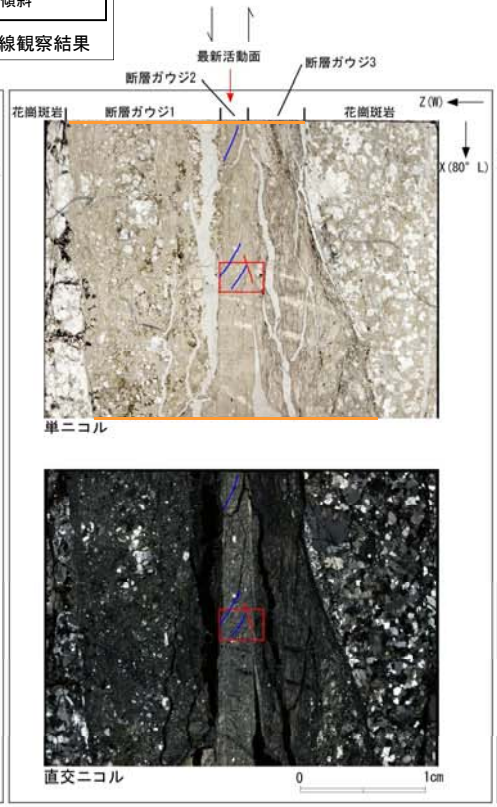

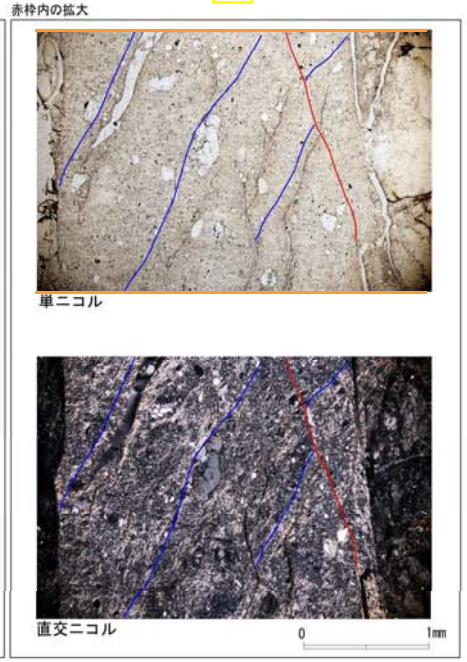

凡例
- 断層ガウジ
- カタクレーサイト
- R1面
- P面

第536回審査会合
机上配付資料1 修正前

2.2 (1)D－1破砕帯

薄片試料観察(2号炉原子炉建屋南方)(H19-No.14孔)(その1)

H19-No.14のボーリングコア(深度87.05m)から採取した薄片試料の観察結果によれば最新活動面の変位センスは，右ずれを伴う正断層成分が卓越する。

条線データなし

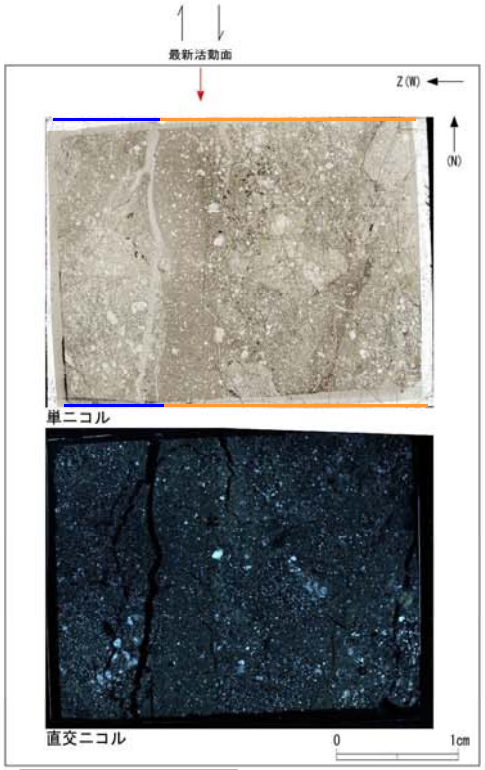

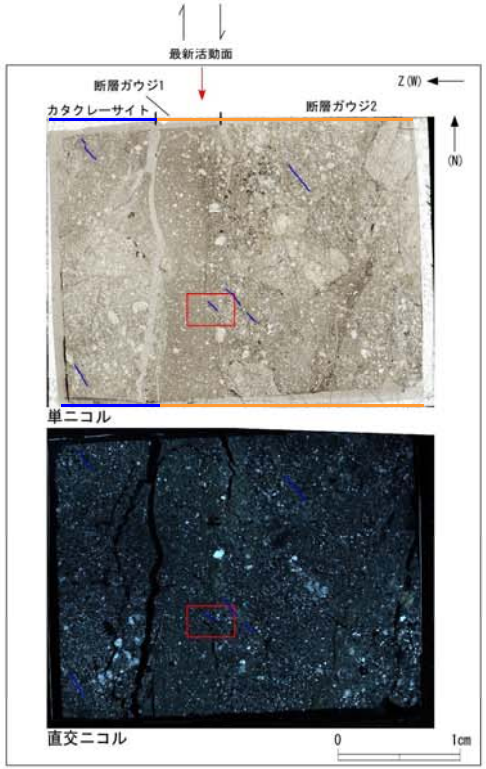

凡例
- 断層ガウジ
- カタクレーサイト
- R1面
- P面

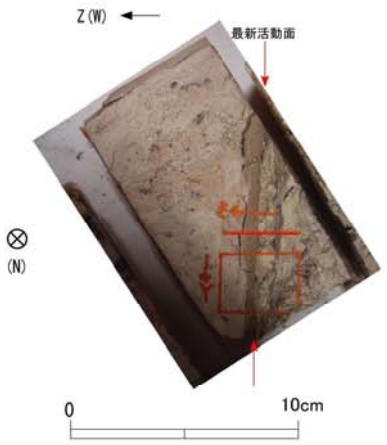

ブロックサンプル

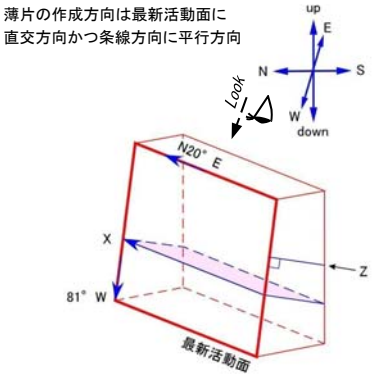

走向・傾斜 N20° E81° W
X:条線方向(下向きを正とする)
Z:断層面の法線方向(z上盤側を正とする)

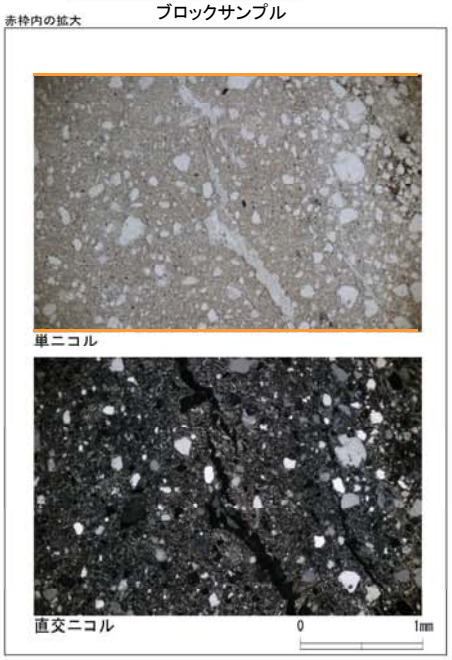

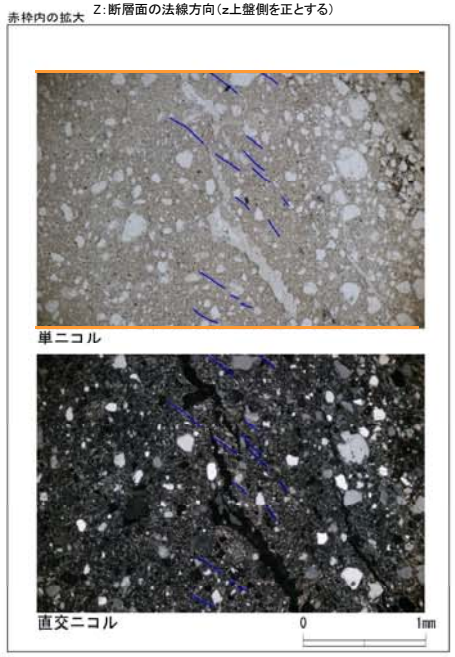

水平断面:最新活動面の変位センスは，右ずれ成分が卓越する。

2.2 (1)D－1破砕帯

薄片試料観察(2号炉原子炉建屋南方)(H19-No.14孔)(その1)

第536回審査会合
机上配付資料1 修正後

H19-No.14のボーリングコア(深度87.05m)から採取した薄片試料の観察結果によれば最新活動面の変位センスは，右ずれを伴う正断層成分が卓越する。

条線データなし

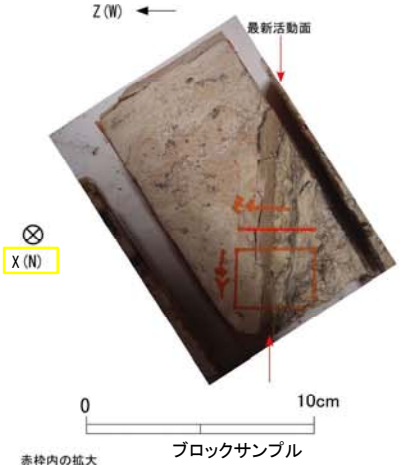

ブロックサンプル

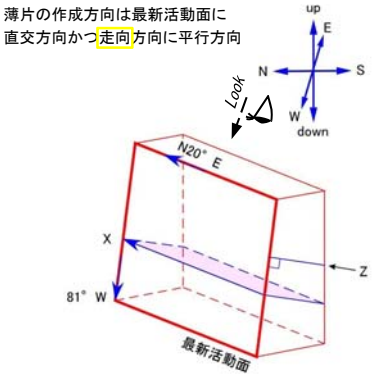

走向・傾斜 N20° E81° W
X:走向方向(北向きを正とする)
Z:断層面の法線方向(上盤側を正とする)

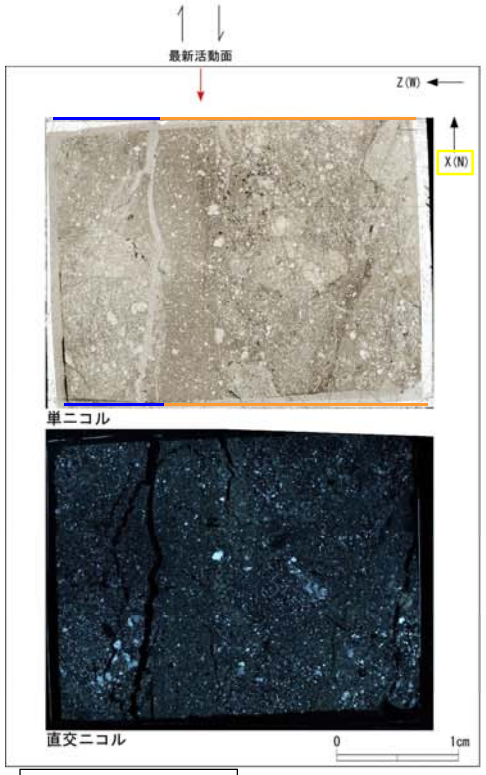

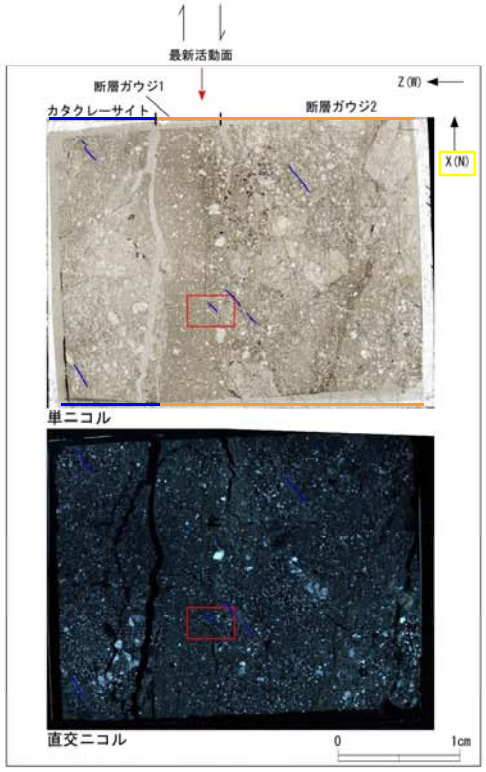

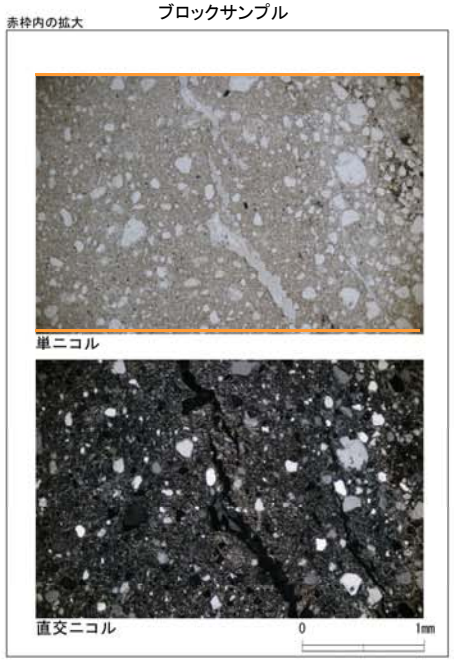

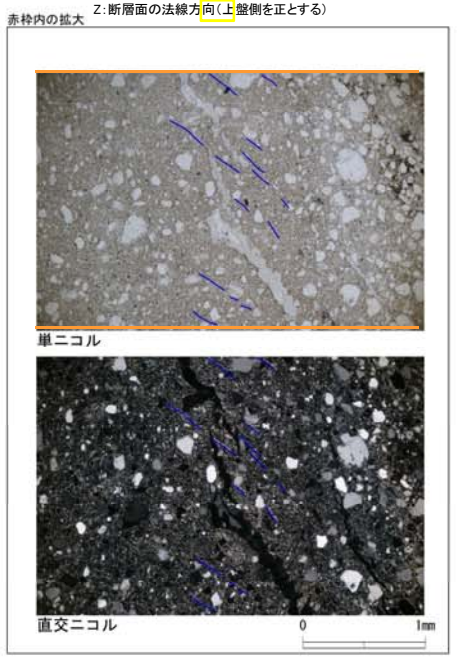

凡例
- 断層ガウジ
- カタクレーサイト
- R1面
- P面

水平断面:最新活動面の変位センスは，右ずれ成分が卓越する。

2.2 (1)D－1破砕帯

薄片試料観察(2号炉原子炉建屋南方)(H19-No.14孔)(その2)

第536回審査会合
机上配付資料1 修正前

H19-No.14のボーリングコア(深度87.05m)から採取した薄片試料の観察結果によれば最新活動面の変位センスは，右ずれを伴う正断層成分が卓越する。

条線データなし

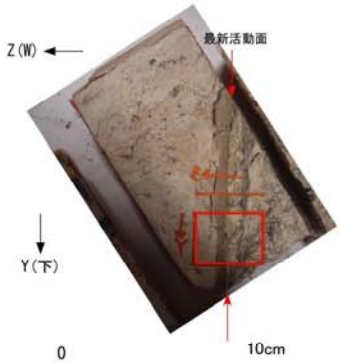

ブロックサンプル

薄片の作成方向は最新活動面に
直交方向かつ条線方向に平行方向

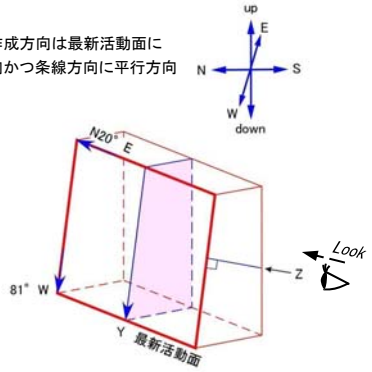

走向・傾斜 N20° E81° W
X:条線方向(下向きを正とする)
Z:断層面の法線方向(z上盤側を正とする)

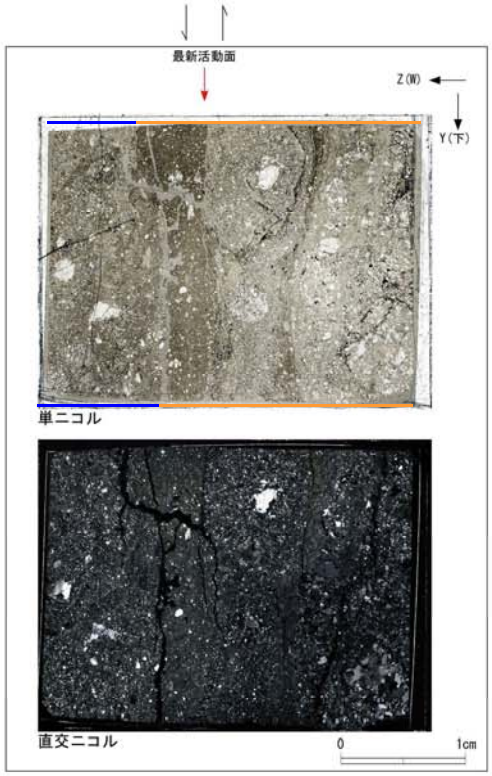

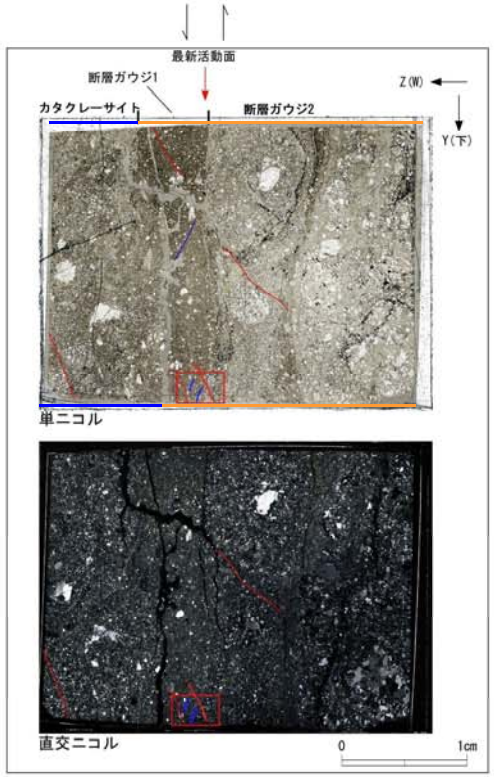

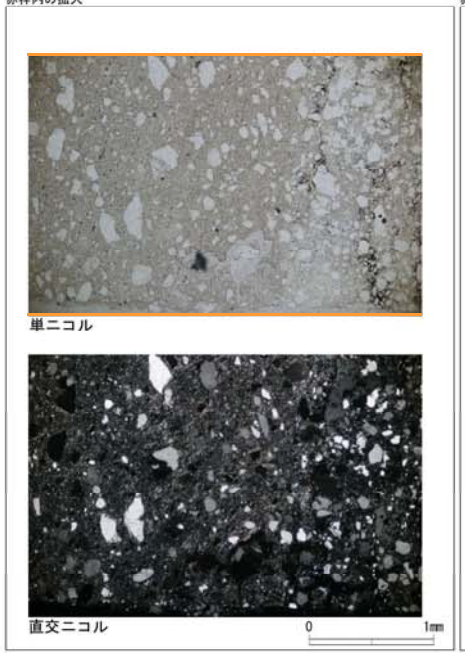

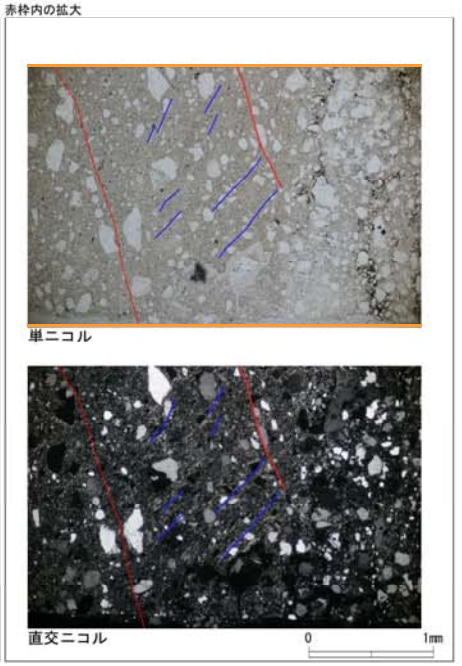

凡例
- 断層ガウジ
- カタクレーサイト
- R1面
- P面

鉛直断面:最新活動面の変位センスは，正断層成分が卓越する。

2.2 (1)D－1破砕帯

薄片試料観察(2号炉原子炉建屋南方)(H19-No.14孔)(その2)

第536回審査会合
机上配付資料1 修正後

H19-No.14のボーリングコア(深度87.03m)から採取した薄片試料の観察結果によれば最新活動面の変位センスは，右ずれを伴う正断層成分が卓越する。

条線データなし

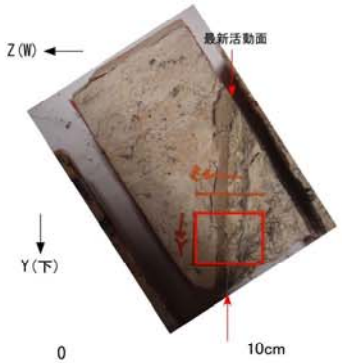

ブロックサンプル

薄片の作成方向は最新活動面に
直交方向かつ傾斜方向に平行方向

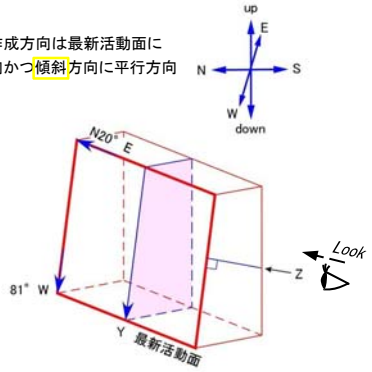

走向・傾斜 N20° E81° W
Y:傾斜方向(下向きを正とする)
Z:断層面の法線方向(上盤側を正とする)

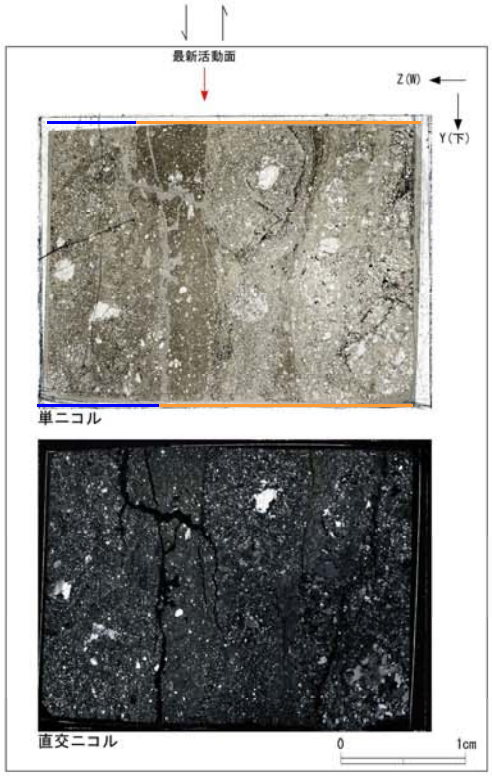

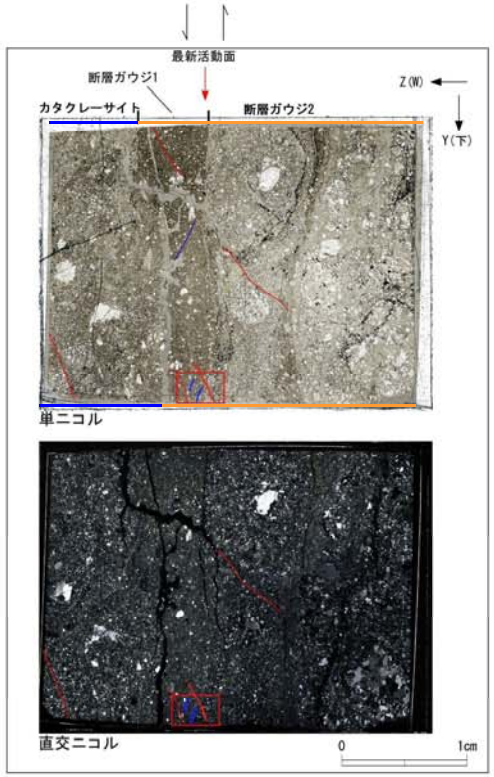

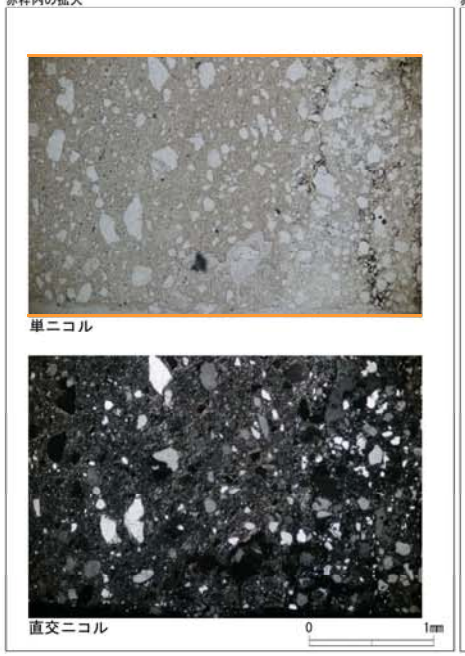

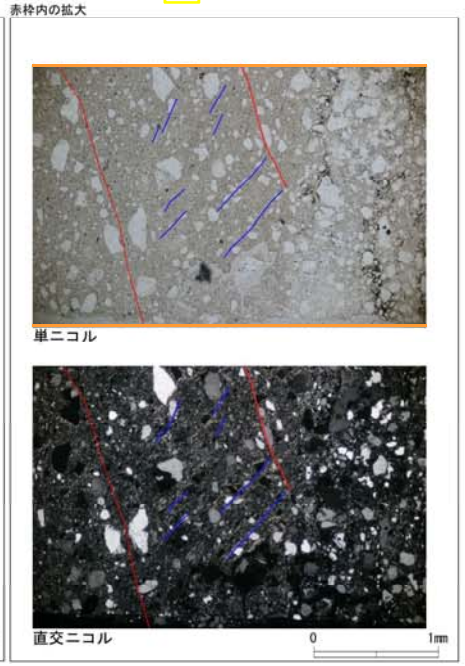

凡例
- 断層ガウジ
- カタクレーサイト
- R1面
- P面

鉛直断面:最新活動面の変位センスは，正断層成分が卓越する。

2.2 (1)D－1破砕帯

薄片試料観察(2号炉原子炉建屋南方)(H20-No.②-1孔)(その1)

H20-No.②-1のボーリングコア(深度50.70m)から採取した薄片試料の観察結果によれば最新活動面の変位センスは，右ずれを伴う正断層成分が卓越する。

走向・傾斜及び条線データなし

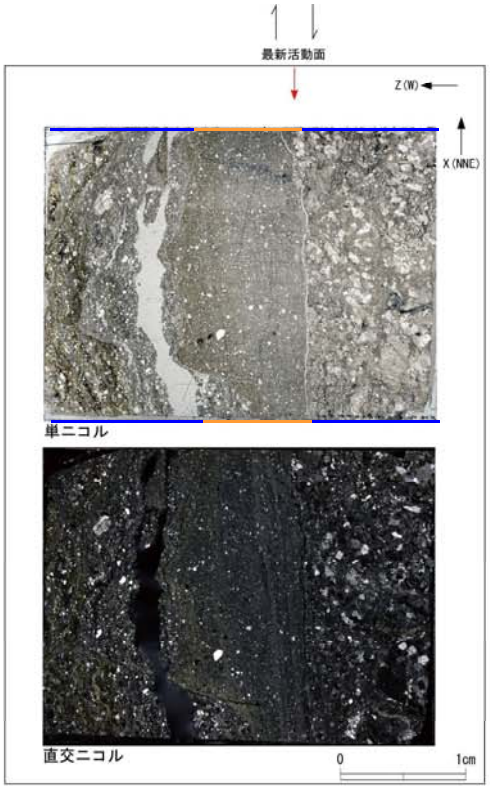

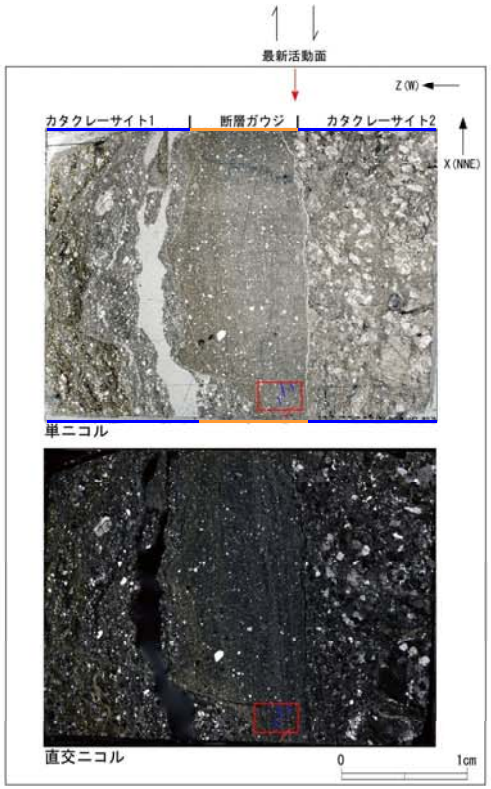

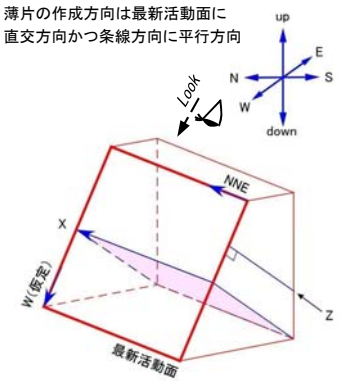

走向・傾斜 NNE-SSW走向　西傾斜
X:条線方向(下向きを正とする)
Z:断層面の法線方向(z上盤側を正とする)

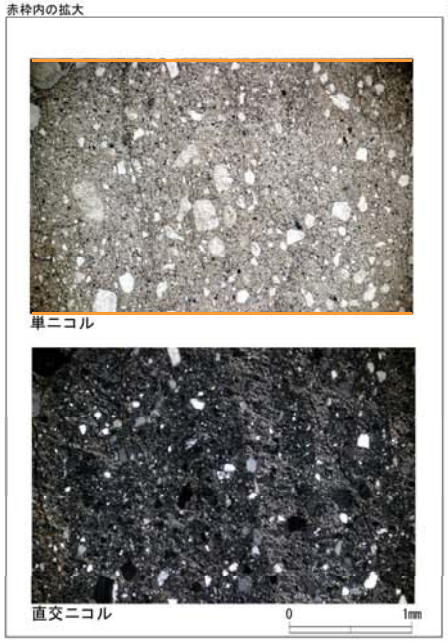

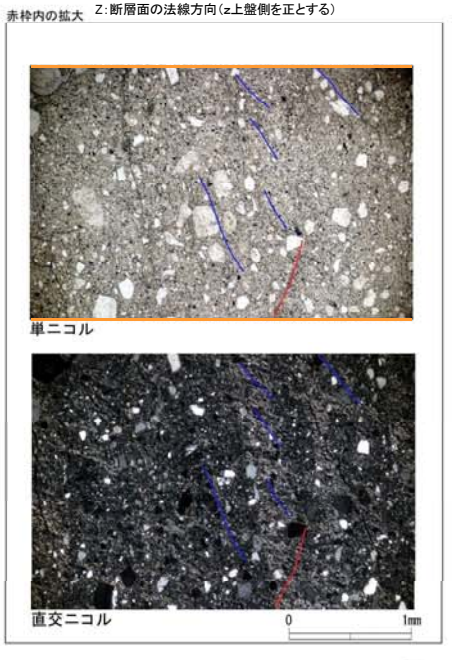

水平断面:最新活動面の変位センスは，右ずれ成分が卓越する。

凡例
- 断層ガウジ
- カタクレーサイト
- R1面
- P面

2.2 (1)D－1破砕帯

薄片試料観察(2号炉原子炉建屋南方)(H20-No.②-1孔)(その1)

第536回審査会合
机上配付資料1 修正後

H20-No.②-1のボーリングコア(深度50.70m)から採取した薄片試料の観察結果によれば最新活動面の変位センスは，右ずれを伴う正断層成分が卓越する。

※H20-No.②-1はボアホールカメラ未実施のため、走向・傾斜を仮定している

走向・傾斜及び条線データなし

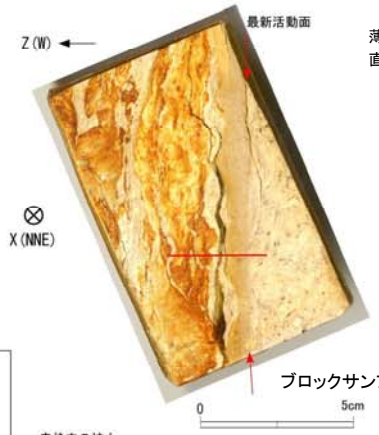

薄片の作成方向は最新活動面に直交方向かつ走向方向に平行方向

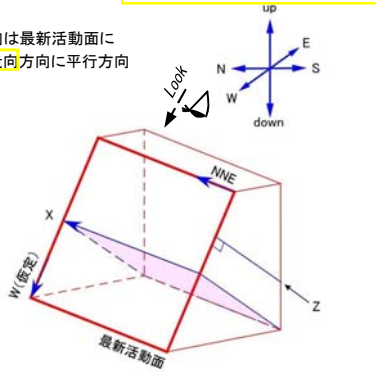

走向・傾斜 NNE-SSW走向　西傾斜(仮定)

X:走向方向(北向きを正とする)

Z:断層面の法線方向(上盤側を正とする)

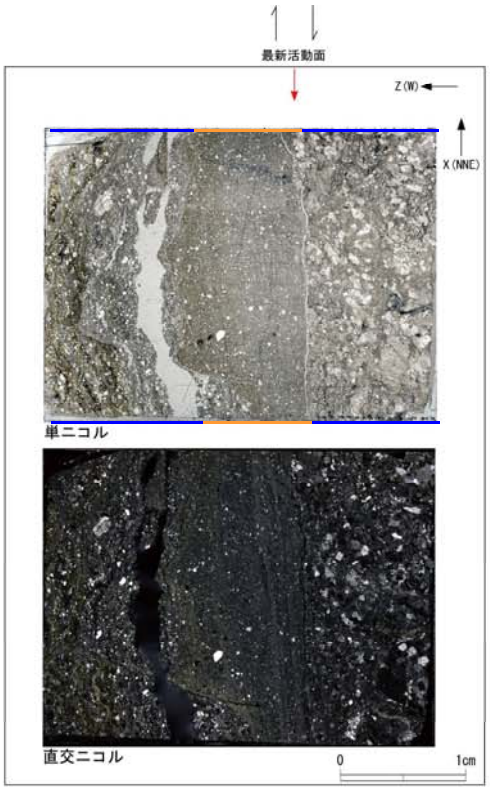

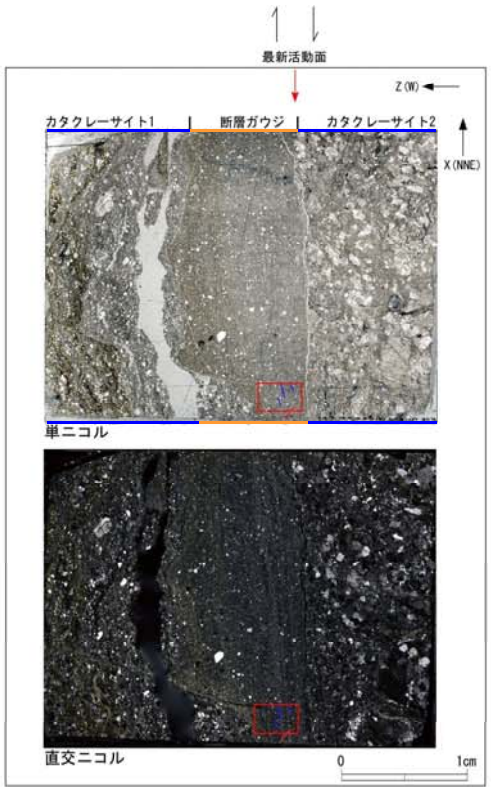

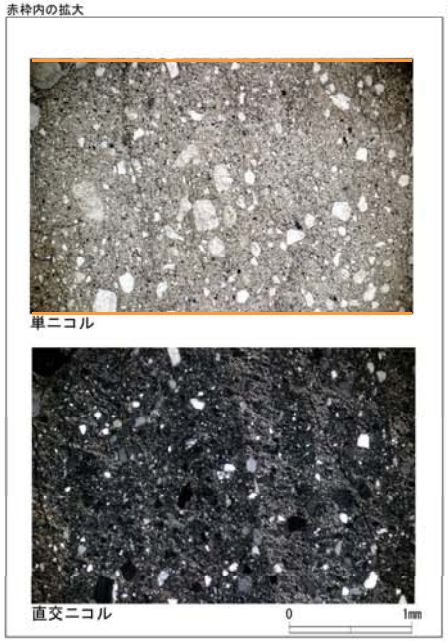

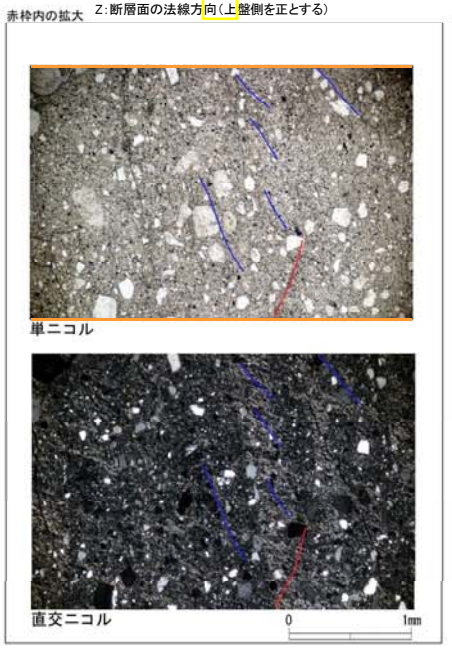

凡例
- 断層ガウジ
- カタクレーサイト
- R1面
- P面

水平断面:最新活動面の変位センスは，右ずれ成分が卓越する。

第536回審査会合
机上配付資料1 修正前

2.2 (1)D－1破砕帯

薄片試料観察(2号炉原子炉建屋南方)(H20-No.②-1孔)(その2)

H20-No.②-1のボーリングコア(深度50.70m)から採取した薄片試料の観察結果によれば最新活動面の変位センスは，右ずれを伴う正断層成分が卓越する。

走向・傾斜及び条線データなし

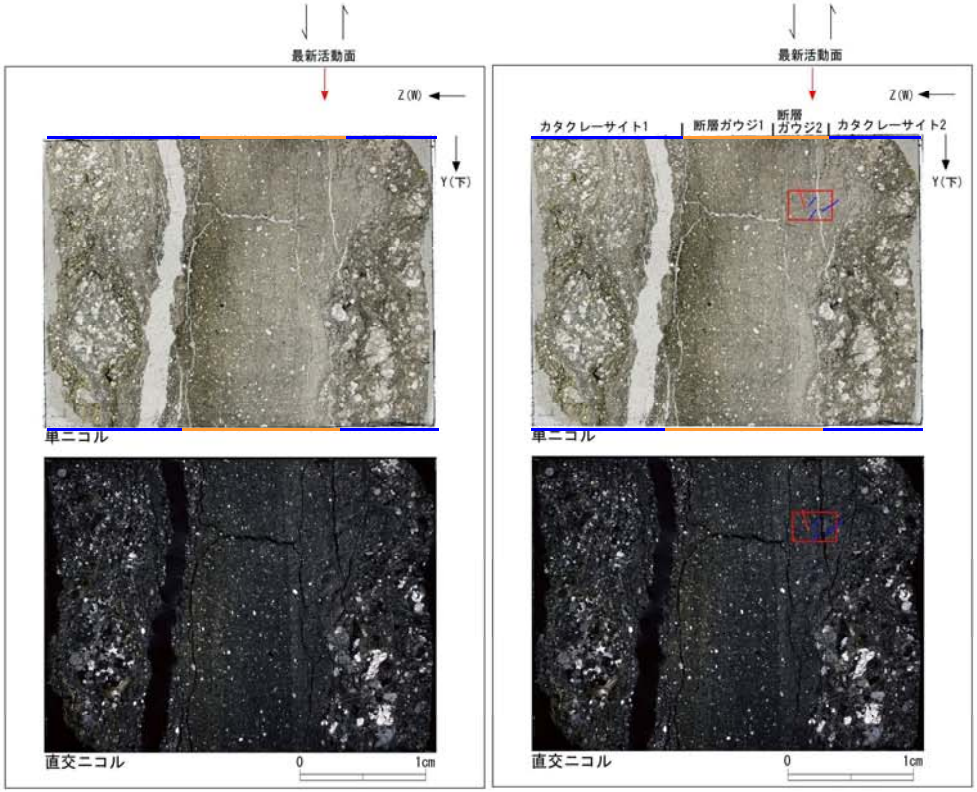

凡例
- 断層ガウジ
- カタクレーサイト
- R1面
- P面

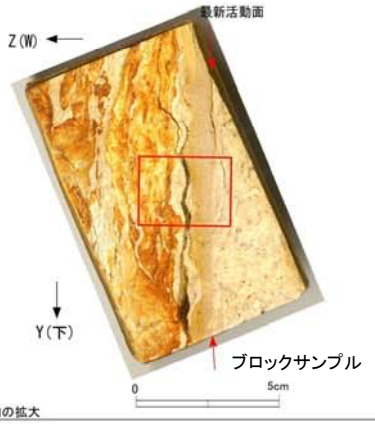

薄片の作成方向は最新活動面に
直交方向かつ条線方向に平行方向

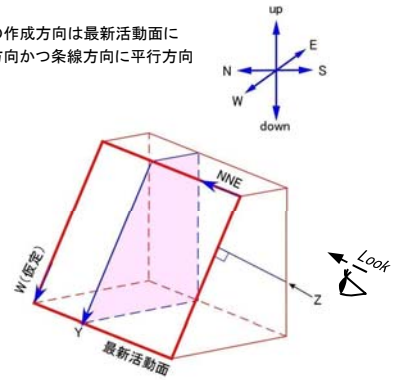

走向・傾斜 NNE-SSW走向　西傾斜（仮定）

X:条線方向(下向きを正とする)

Z:断層面の法線方向(z上盤側を正とする)

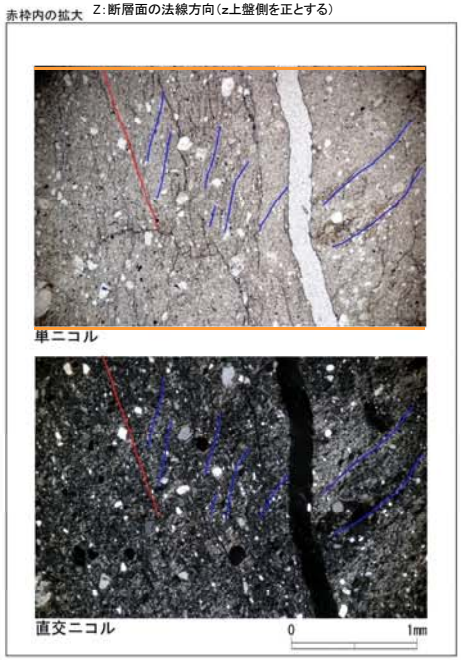

鉛直断面:最新活動面の変位センスは，正断層成分が卓越する。

2.2 (1)D－1破砕帯

薄片試料観察（2号炉原子炉建屋南方）（H20-No.②-1孔）（その2）

第536回審査会合
机上配付資料1 修正後

H20-No.②-1のボーリングコア（深度50.70m）から採取した薄片試料の観察結果によれば最新活動面の変位センスは，右ずれを伴う正断層成分が卓越する。

走向・傾斜及び条線データなし

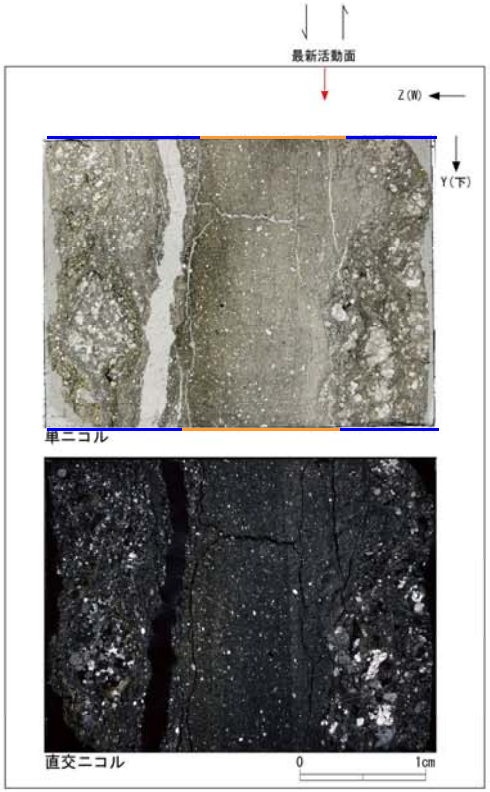

凡例
- 断層ガウジ
- カタクレーサイト
- R1面
- P面

※H20-No.②-1はボアホールカメラ未実施のため、走向・傾斜を仮定している

薄片の作成方向は最新活動面に直交方向かつ傾斜方向に平行方向

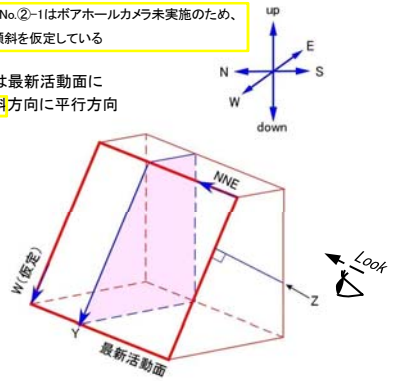

走向・傾斜 NNE-SSW走向　西傾斜（仮定）

Y：傾斜方向（下向きを正とする）
Z：断層面の法線方向（上盤側を正とする）

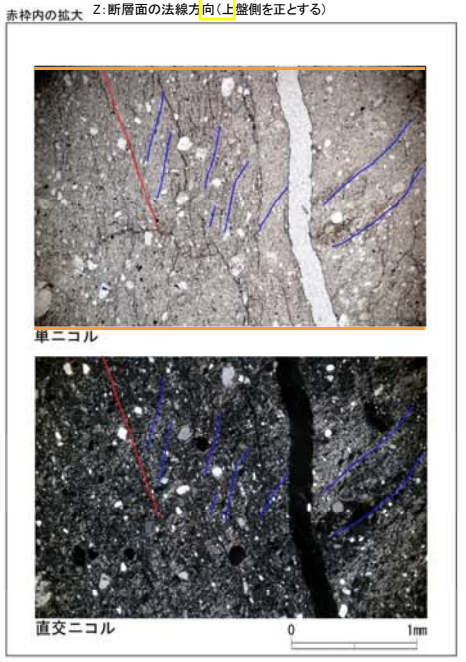

鉛直断面：最新活動面の変位センスは，正断層成分が卓越する。

2.2 (1)D－1破砕帯

薄片試料観察(2号炉原子炉建屋とD－1トレンチの間)(H24-B14-2孔)(その1)

第536回審査会合
机上配付資料1 修正前

H24-B14-2のボーリングコア(深度109.16m)から採取した薄片試料の観察結果によれば最新活動面の変位センスは，右ずれを伴う正断層成分が卓越する。

条線データなし

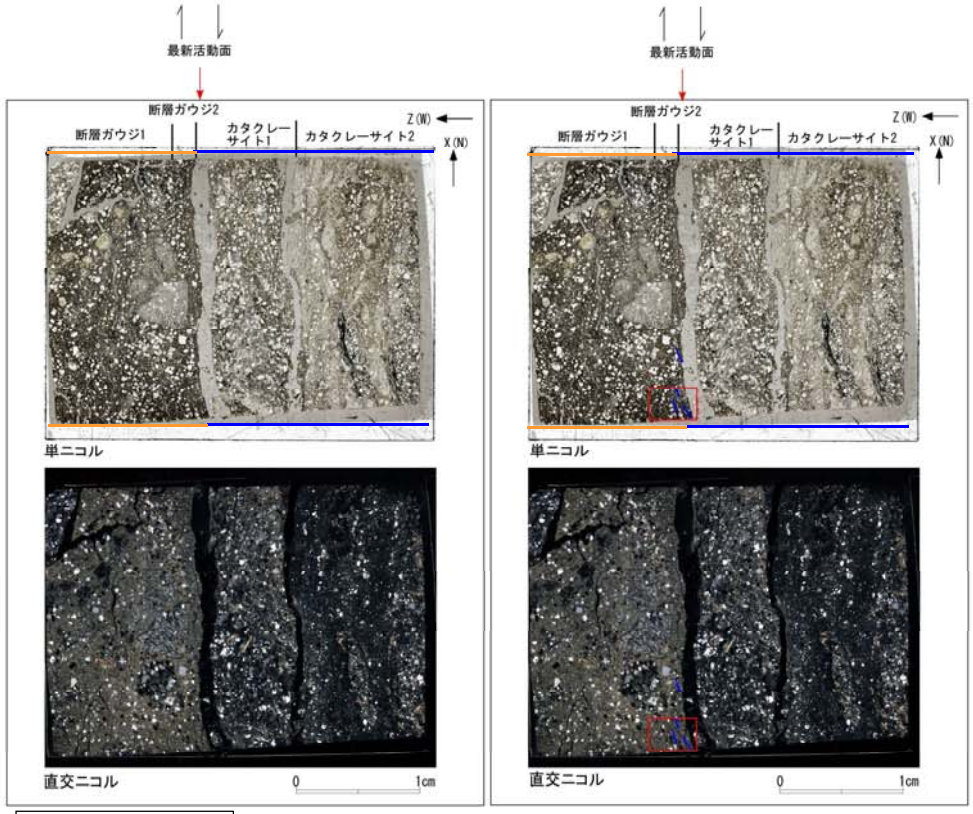

凡例
- 断層ガウジ
- カタクレーサイト
- R1面
- P面

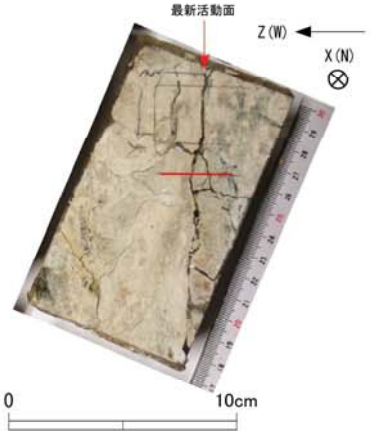

ブロックサンプル

薄片の作成方向は最新活動面に
直交方向かつ条線方向に平行方向

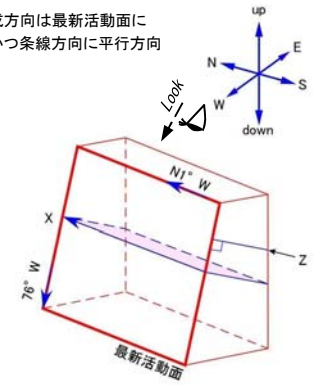

走向・傾斜 N1° W76° W
X:条線方向(下向きを正とする)
Z:断層面の法線方向(z上盤側を正とする)

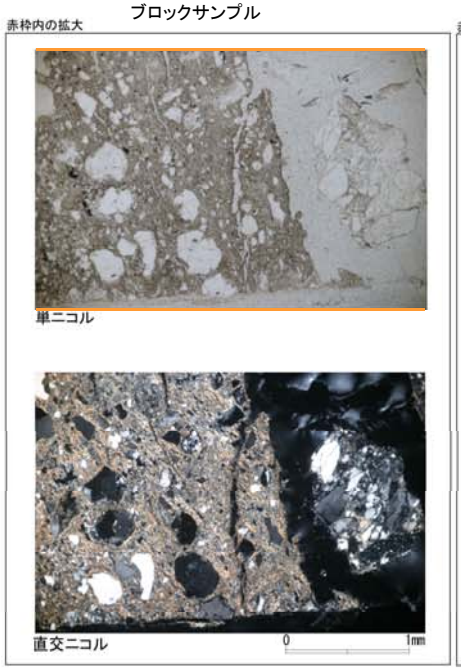

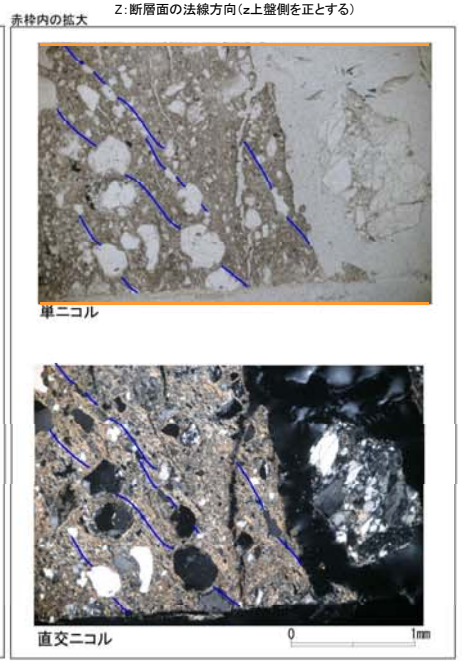

水平断面:最新活動面の変位センスは，右ずれ成分が卓越する。

2.2 (1)D－1破砕帯

薄片試料観察(2号炉原子炉建屋とD－1トレンチの間)(H24-B14-2孔)(その1)

第536回審査会合
机上配付資料1 修正後

H24-B14-2のボーリングコア(深度109.16m)から採取した薄片試料の観察結果によれば最新活動面の変位センスは，右ずれを伴う正断層成分が卓越する。

条線データなし

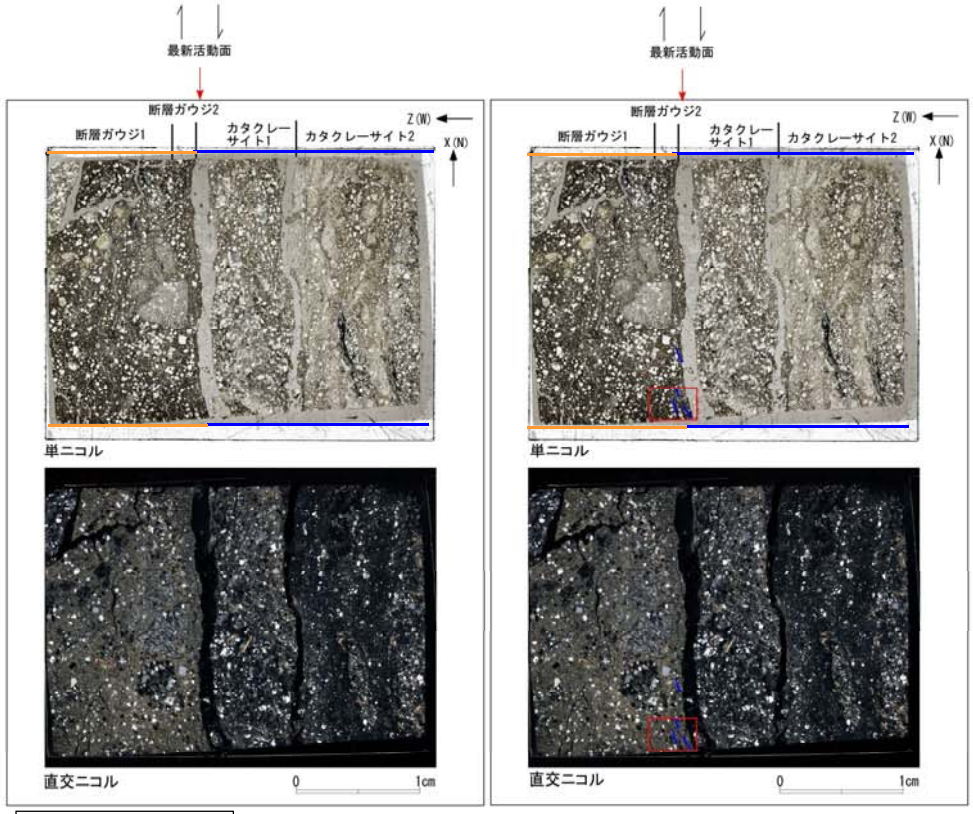

凡例
- 断層ガウジ
- カタクレーサイト
- R1面
- P面

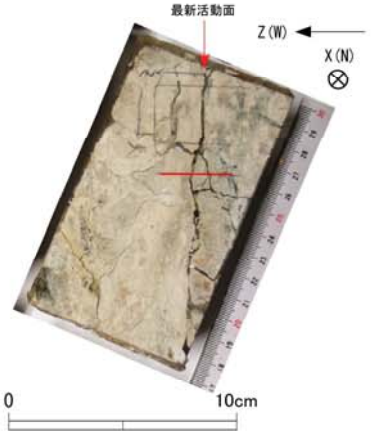

ブロックサンプル

薄片の作成方向は最新活動面に
直交方向かつ走向方向に平行方向

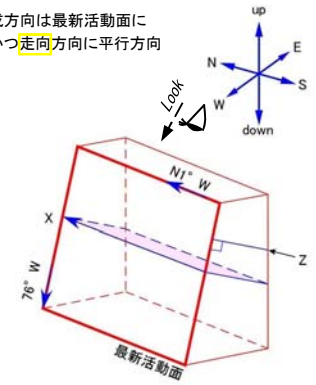

走向・傾斜 N1° W76° W
X:走向方向(北向きを正とする)
Z:断層面の法線方向(上盤側を正とする)

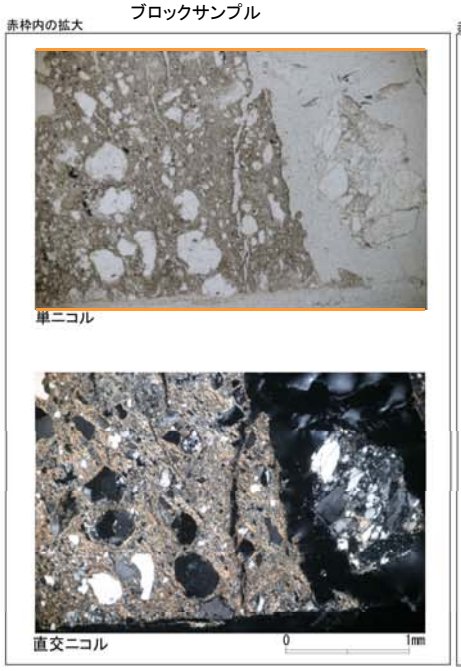

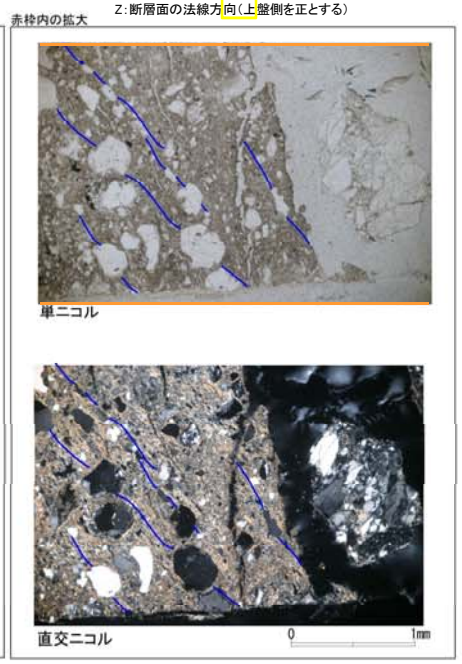

水平断面:最新活動面の変位センスは，右ずれ成分が卓越する。

2.2 (1)D－1破砕帯

薄片試料観察（2号炉原子炉建屋とD－1トレンチの間）（H24-B14-2孔）（その2）

第536回審査会合
机上配付資料1 修正前

H24-B14-2のボーリングコア（深度109.16m）から採取した薄片試料の観察結果によれば最新活動面の変位センスは，右ずれを伴う正断層成分が卓越する。

条線データなし

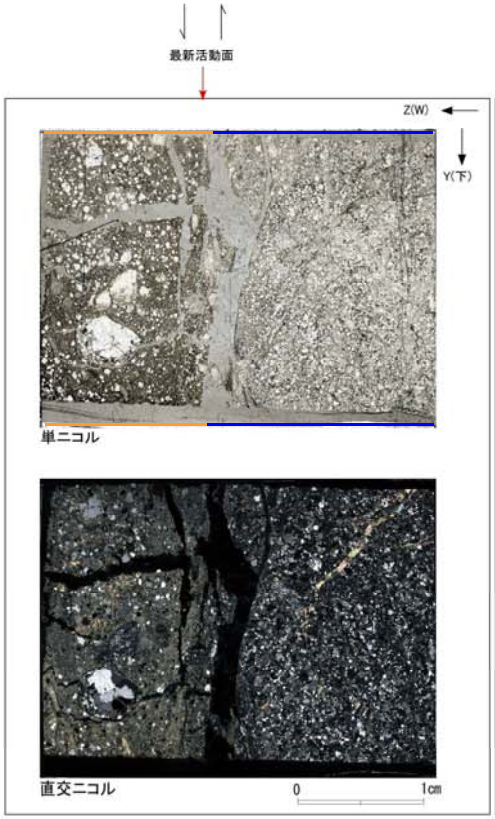

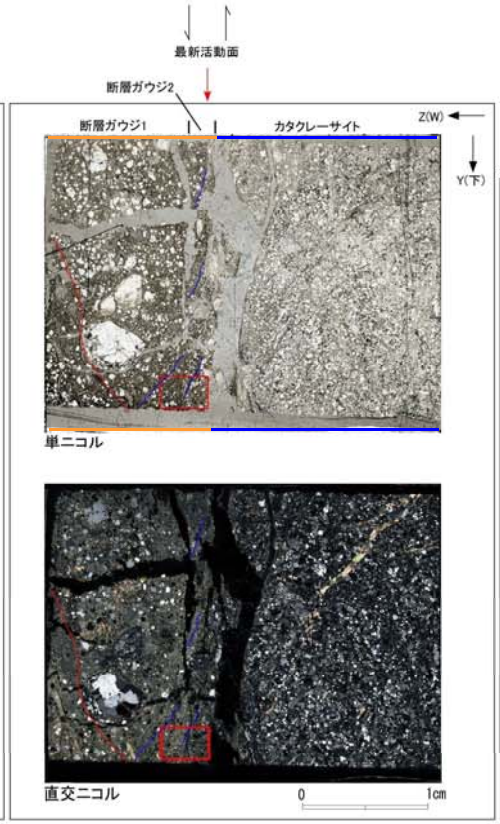

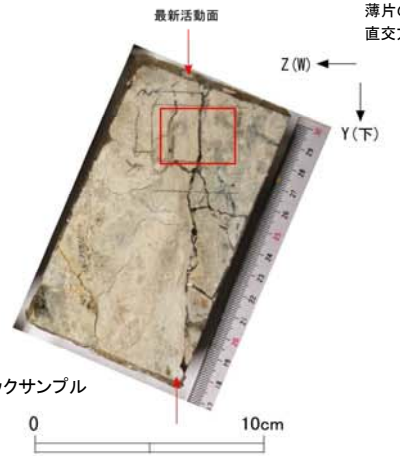

薄片の作成方向は最新活動面に
直交方向かつ条線方向に平行方向

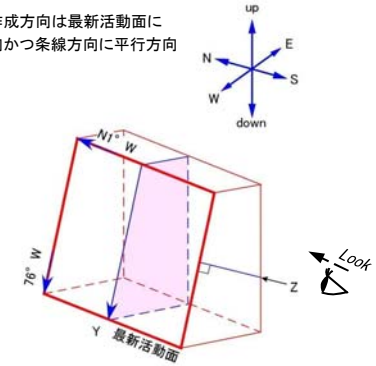

走向・傾斜 N1° W76° W

X：条線方向（下向きを正とする）
Z：断層面の法線方向（z上盤側を正とする）

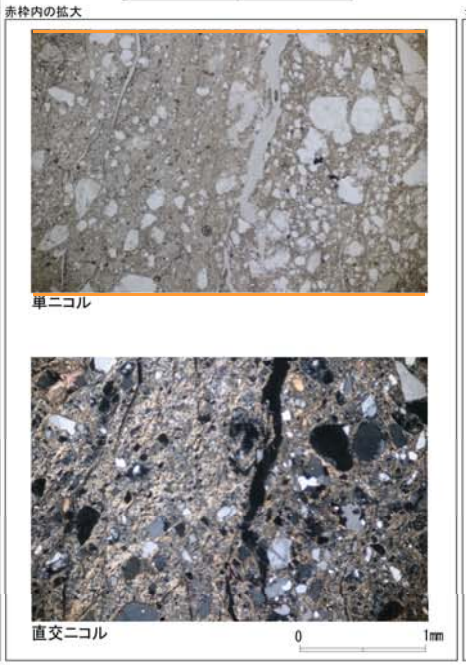

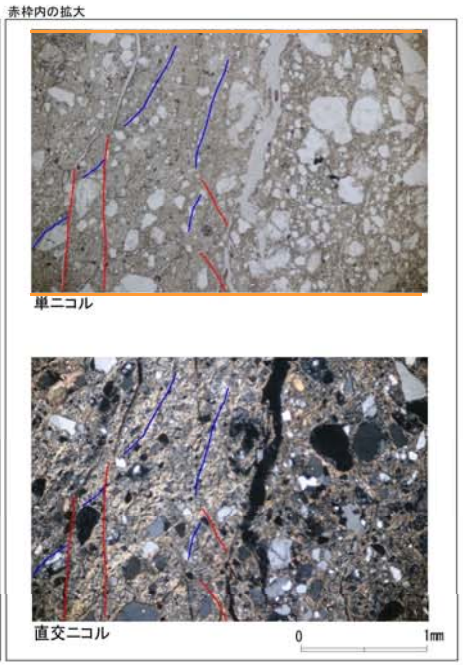

凡例
- 断層ガウジ
- カタクレーサイト
- R1面
- P面

鉛直断面：最新活動面の変位センスは，正断層成分が卓越する。

2.2 (1)D－1破砕帯

薄片試料観察(2号炉原子炉建屋とD－1トレンチの間)(H24-B14-2孔)(その2)

第536回審査会合
机上配付資料1 修正後

H24-B14-2のボーリングコア(深度109.16m)から採取した薄片試料の観察結果によれば最新活動面の変位センスは，右ずれを伴う正断層成分が卓越する。

条線データなし

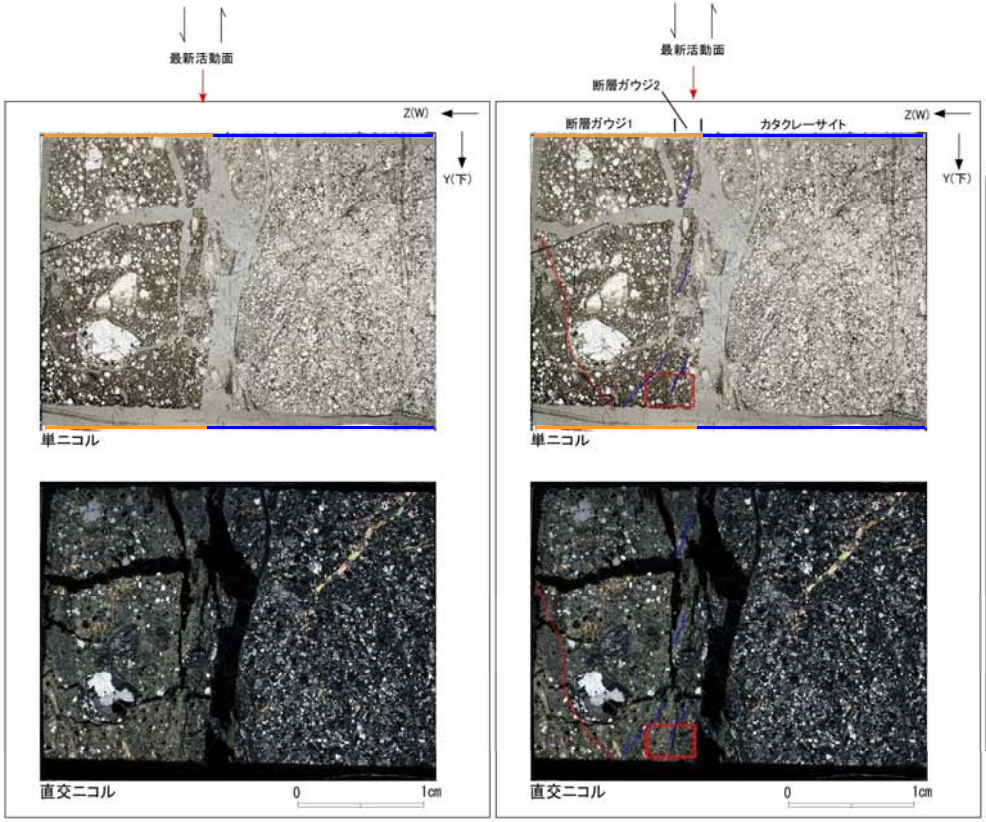

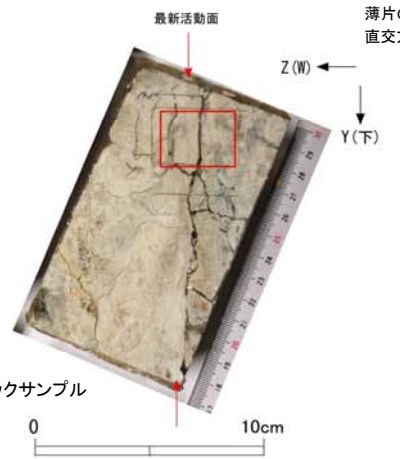

薄片の作成方向は最新活動面に
直交方向かつ傾斜方向に平行方向

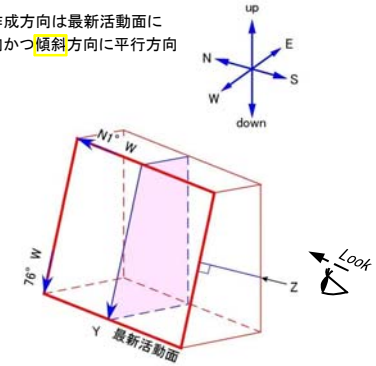

走向・傾斜 N1° W76° W

Y:傾斜方向(下向きを正とする)

Z:断層面の法線方向(上盤側を正とする)

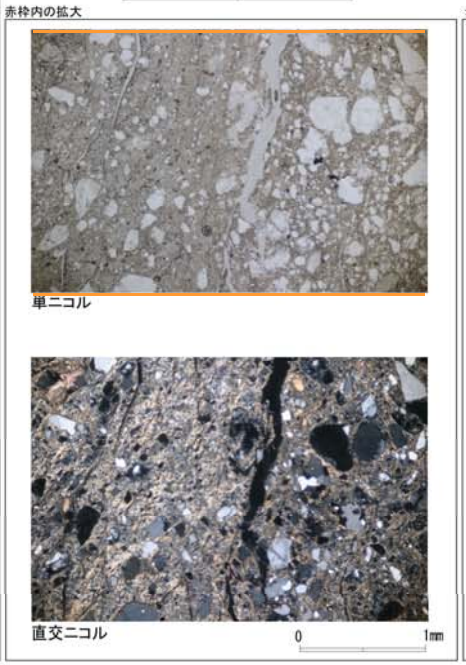

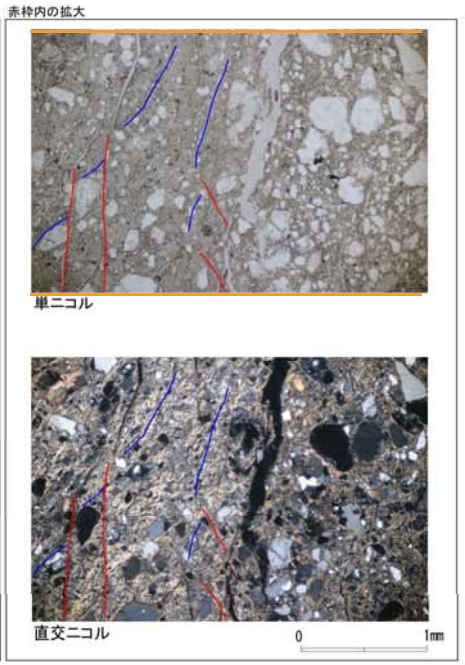

凡例
- 断層ガウジ
- カタクレーサイト
- R1面
- P面

鉛直断面:最新活動面の変位センスは，正断層成分が卓越する。

2.2 (1)D－1破砕帯

薄片試料観察（2号炉原子炉建屋とD－1トレンチの間）（H24-D1-1孔）

H24-D1-1のボーリングコア（深度60.11m）から採取した薄片試料の観察結果によれば最新活動面の変位センスは，正断層成分が卓越する。

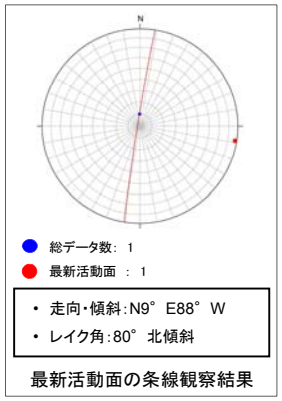

最新活動面の条線観察結果

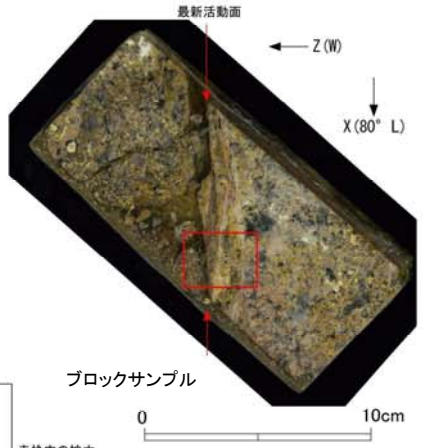

ブロックサンプル

薄片の作成方向は最新活動面に
直交方向かつ条線方向に平行方向

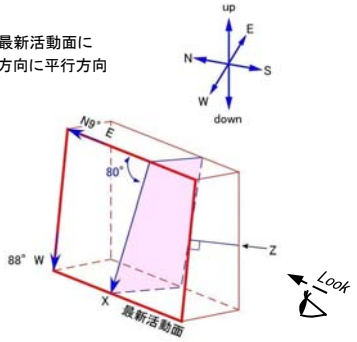

走向・傾斜 N9° E88° W

X：条線方向（下向きを正とする）
Z：断層面の法線方向（z上盤側を正とする）

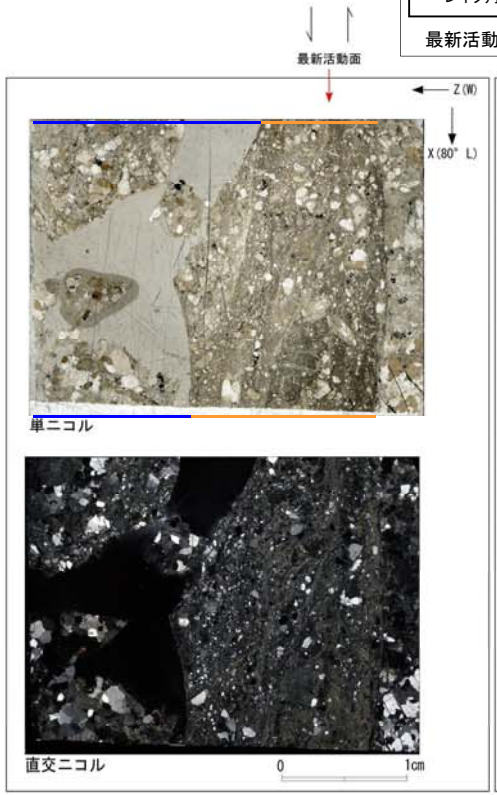

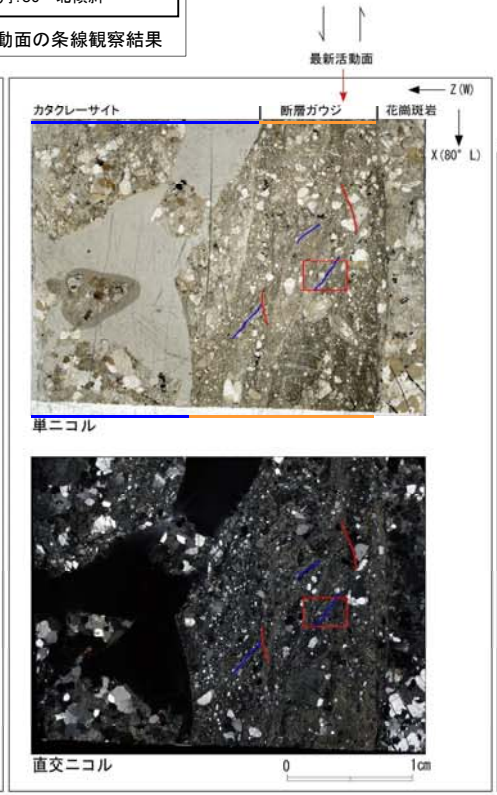

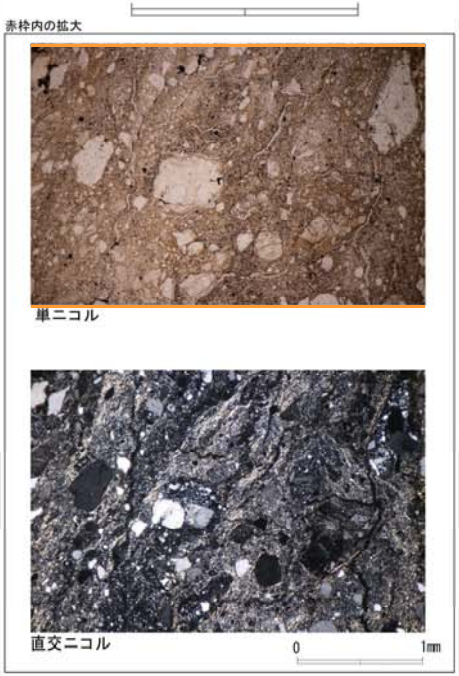

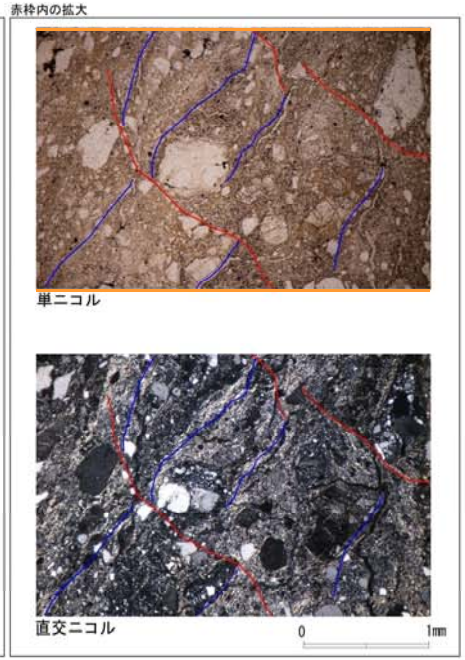

凡例
- 断層ガウジ
- カタクレーサイト
- R1面
- P面

2.2 (1)D－1破砕帯

薄片試料観察（2号炉原子炉建屋とD－1トレンチの間）（H24-D1-1孔）

第536回審査会合
机上配付資料1 修正後

H24-D1-1のボーリングコア（深度60.12m）から採取した薄片試料の観察結果によれば最新活動面の変位センスは，正断層成分が卓越する。

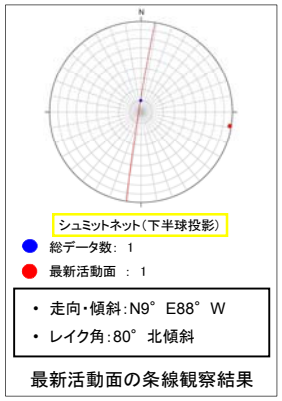

最新活動面の条線観察結果

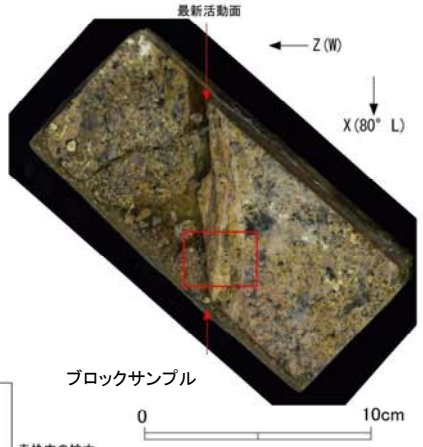

ブロックサンプル

薄片の作成方向は最新活動面に
直交方向かつ条線方向に平行方向

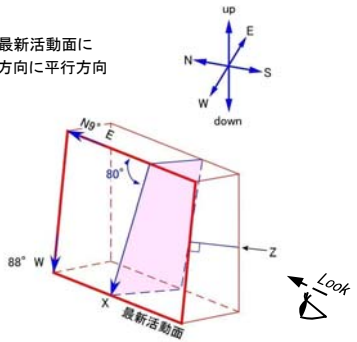

走向・傾斜 N9° E88° W

X：条線方向（下向きを正とする）
Z：断層面の法線方向（上盤側を正とする）

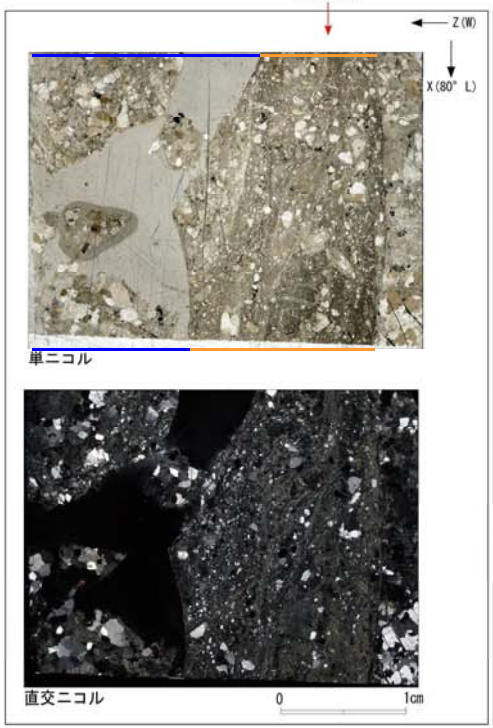

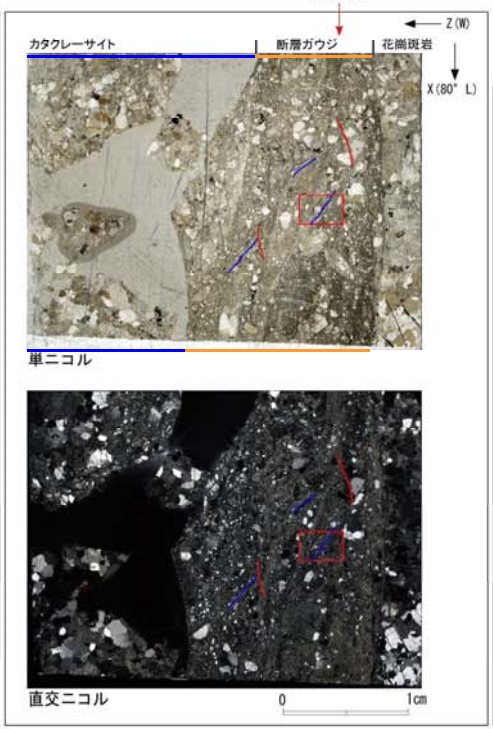

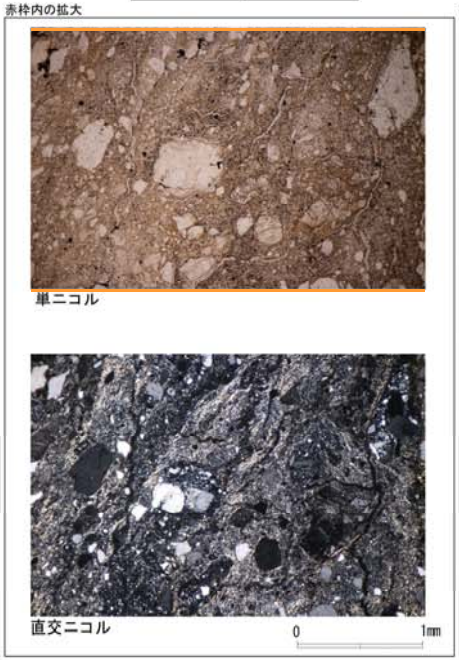

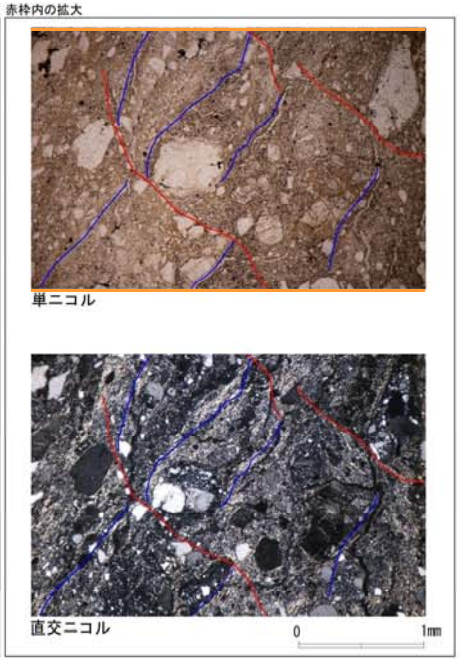

凡例
- 断層ガウジ
- カタクレーサイト
- R1面
- P面

2.2 (1)D－1破砕帯

薄片試料観察（2号炉原子炉建屋とD－1トレンチの間）（H27-B-1孔）

第536回審査会合
机上配付資料1 修正前

H27-B-1のボーリングコア（深度59.84m）から採取した薄片試料の観察結果によれば最新活動面の変位センスは，正断層成分が卓越する。

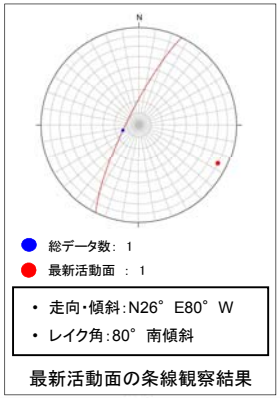

最新活動面の条線観察結果

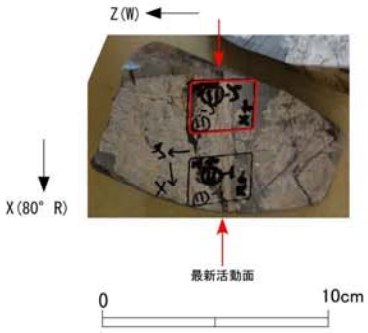

ブロックサンプル

薄片の作成方向は最新活動面に
直交方向かつ条線方向に平行方向

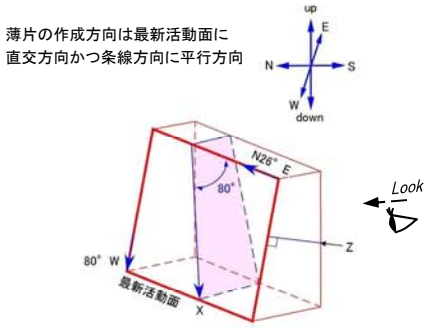

走向・傾斜 N26° E80° W
X：条線方向（下向きを正とする）
Z：断層面の法線方向（z上盤側を正とする）

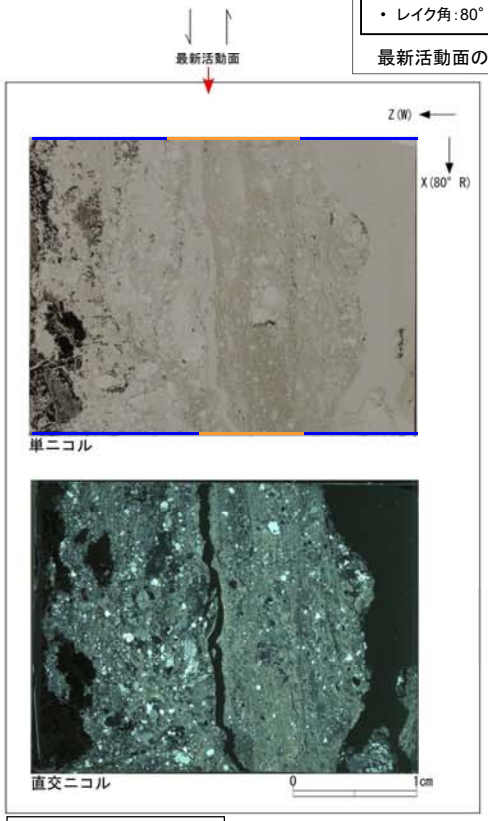

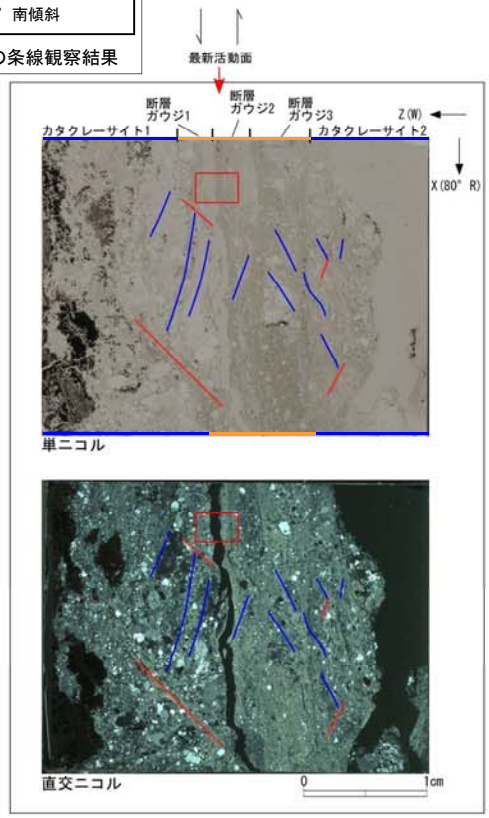

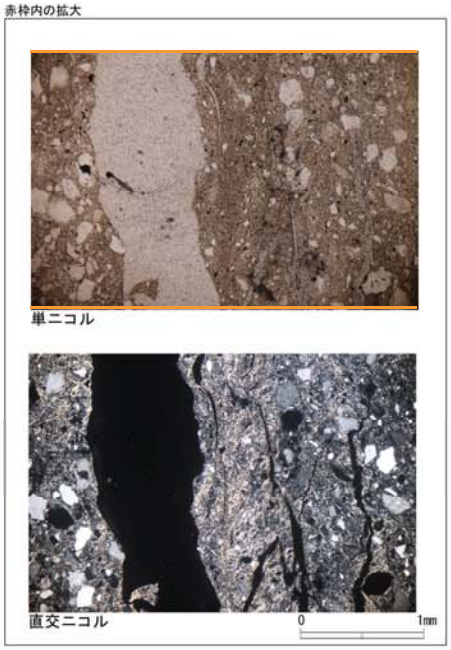

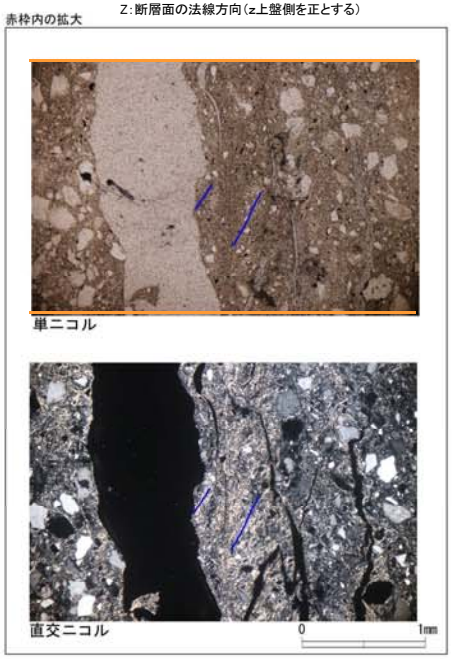

凡例
- 断層ガウジ
- カタクレーサイト
- R1面
- P面

R1面
P面

2.2 (1)D－1破砕帯

薄片試料観察（2号炉原子炉建屋とD－1トレンチの間）（H27-B-1孔）

第536回審査会合
机上配付資料1 修正後

H27-B-1のボーリングコア（深度59.85m）から採取した薄片試料の観察結果によれば最新活動面の変位センスは，正断層成分が卓越する。

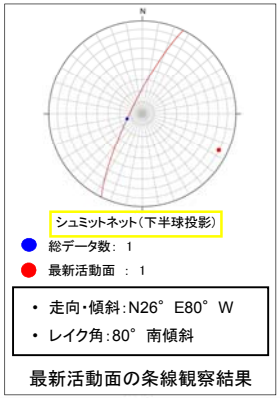

最新活動面の条線観察結果

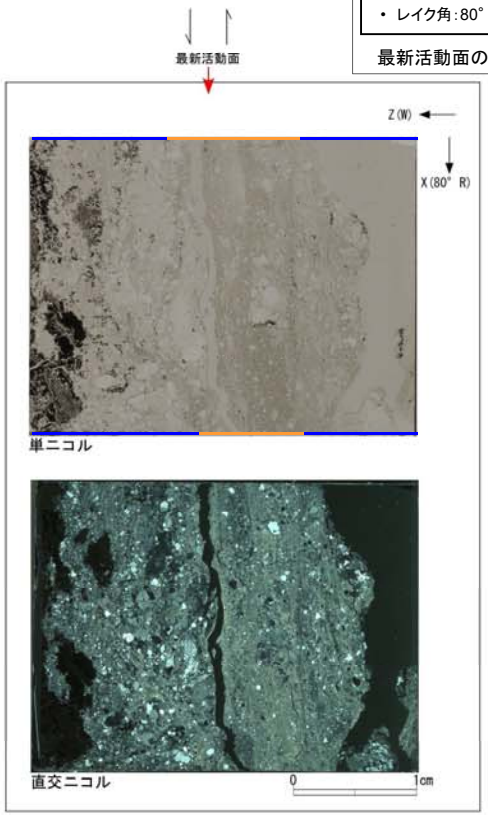

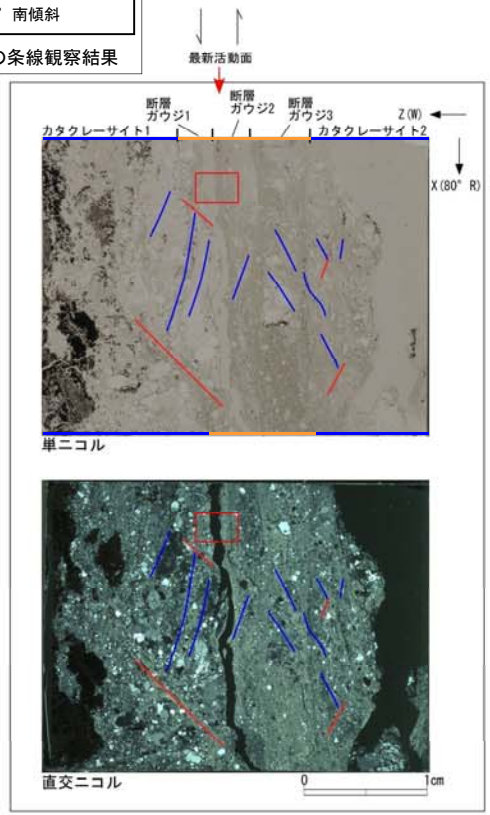

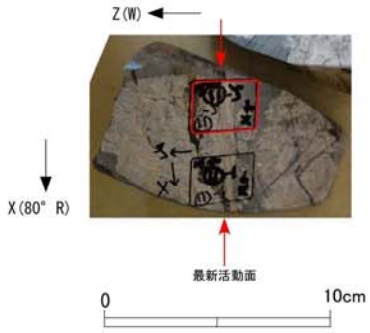

ブロックサンプル

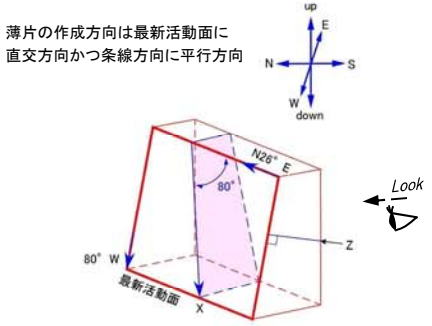

走向・傾斜 N26° E80° W
X：条線方向（下向きを正とする）
Z：断層面の法線方向（上盤側を正とする）

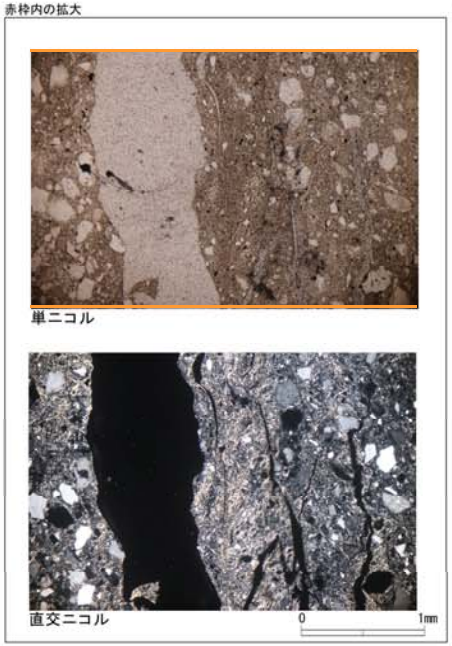

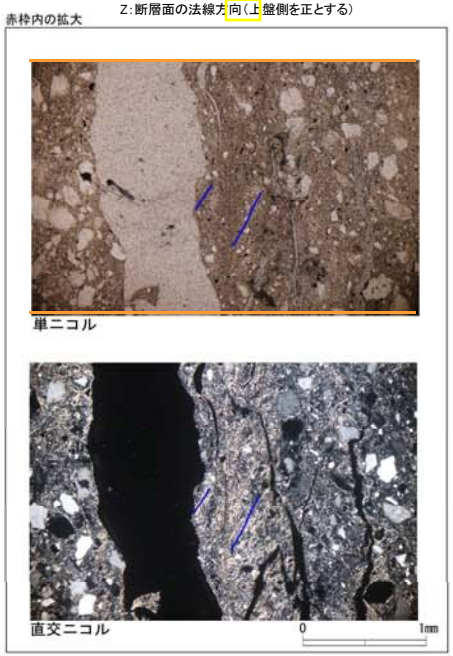

凡例
- 断層ガウジ
- カタクレーサイト
- R1面
- P面

2.2 (2)K断層

薄片試料観察(2－1ピット)

第536回審査会合
机上配付資料1 修正前

2-1ピットから採取した薄片試料の観察結果によれば最新活動面の変位センスは，逆断層成分が卓越する。

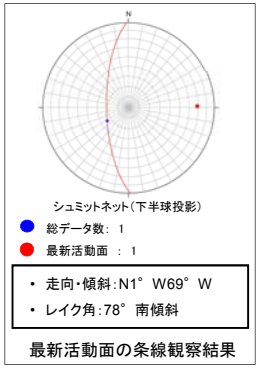

最新活動面の条線観察結果

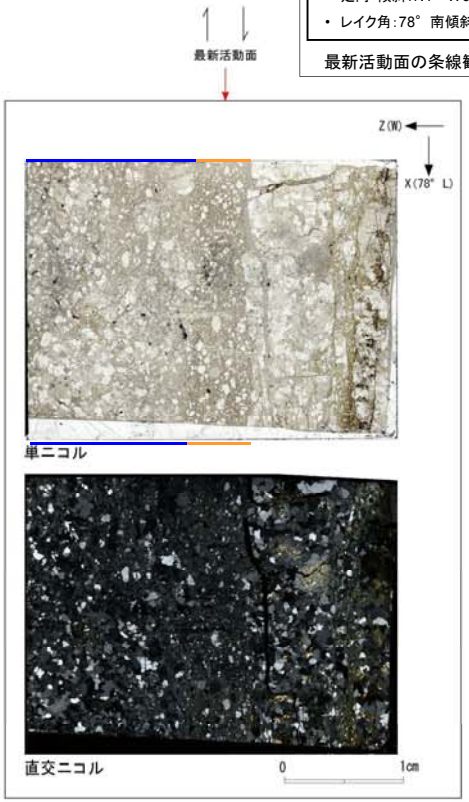

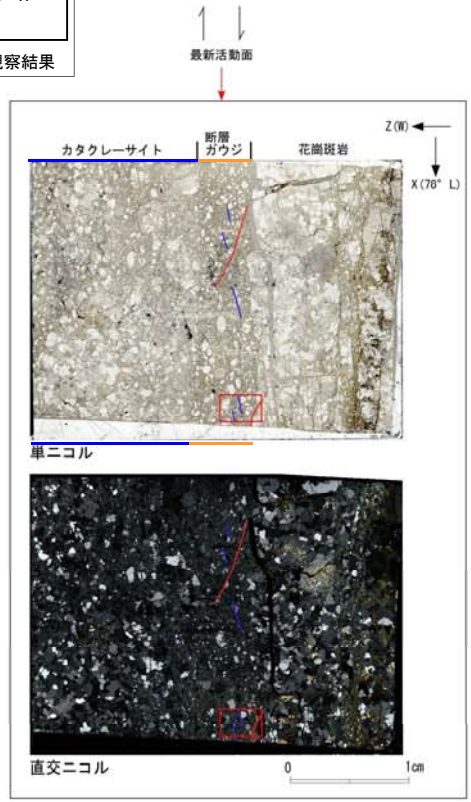

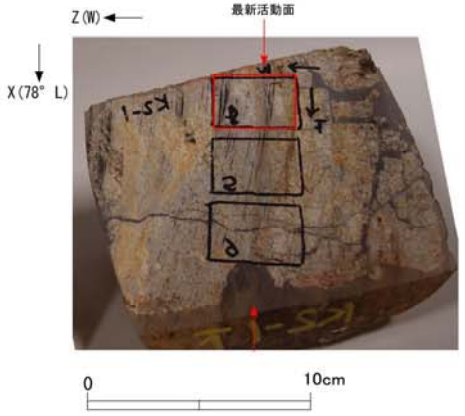

ブロックサンプル

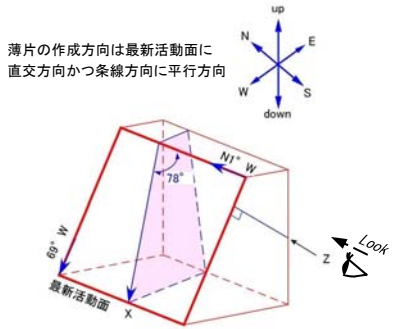

走向・傾斜 N1° W69° W

X:条線方向(下向きを正とする)

Z:断層面の法線方向(z上盤側を正とする)

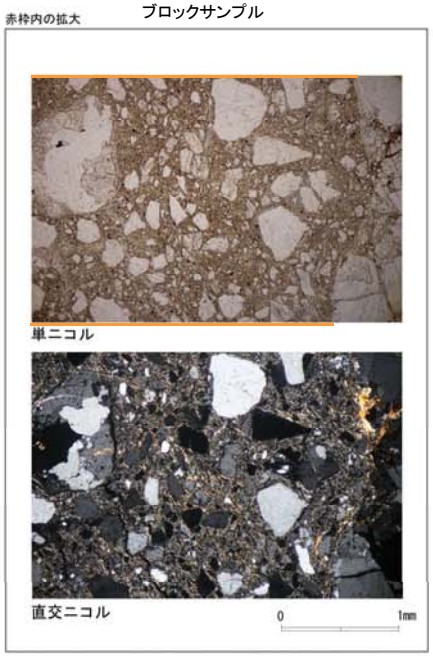

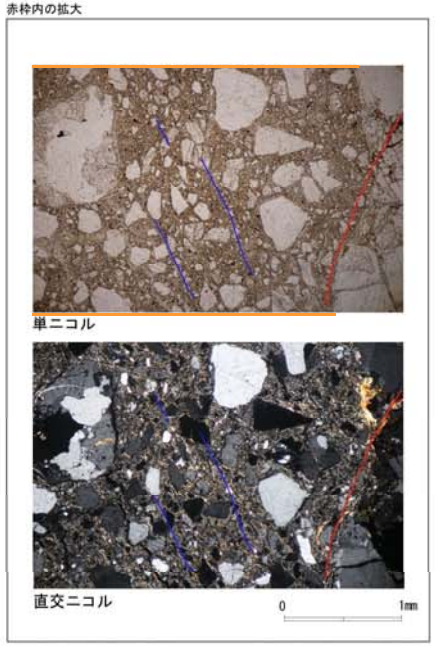

凡例
- 断層ガウジ
- カタクレーサイト
- R1面
- P面

2.2 (2)K断層

薄片試料観察（2－1ピット）

第536回審査会合
机上配付資料1 修正後

2-1ピットから採取した薄片試料の観察結果によれば最新活動面の変位センスは，逆断層成分が卓越する。

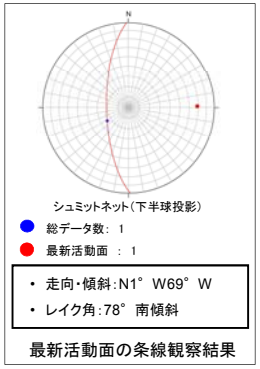

最新活動面の条線観察結果

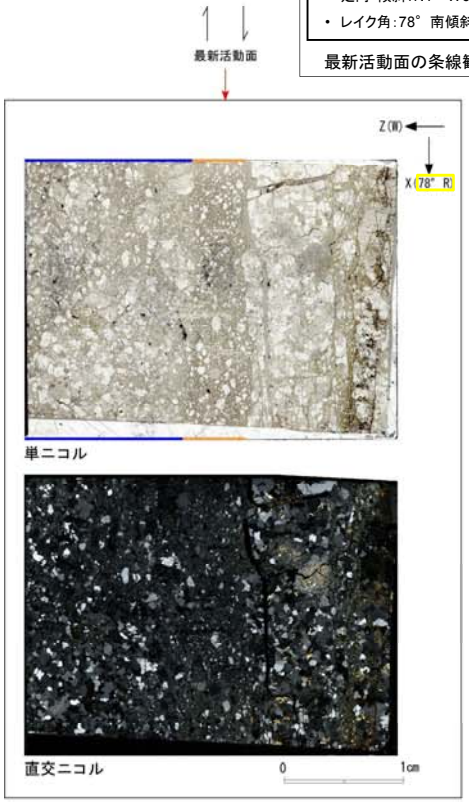

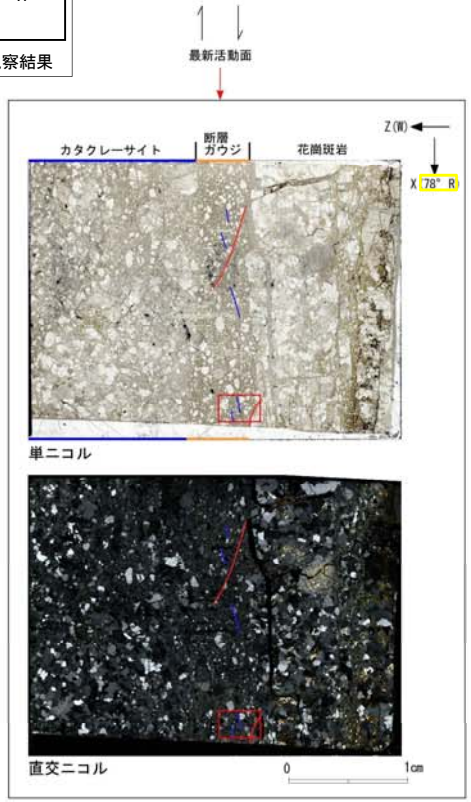

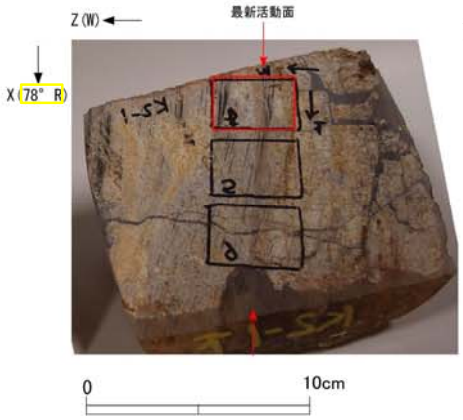

ブロックサンプル

薄片の作成方向は最新活動面に
直交方向かつ条線方向に平行方向

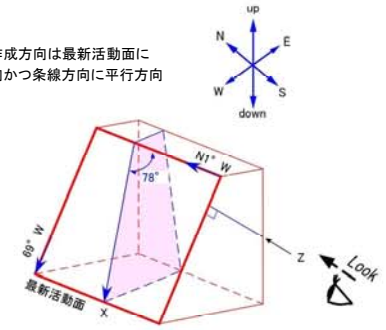

走向・傾斜 N1° W69° W

X：条線方向（下向きを正とする）

Z：断層面の法線方向（上盤側を正とする）

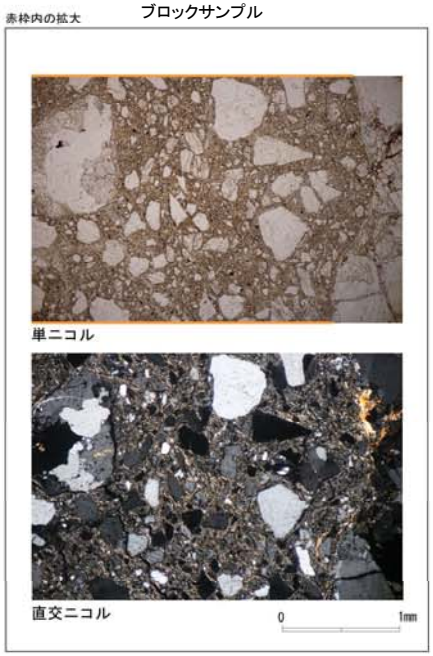

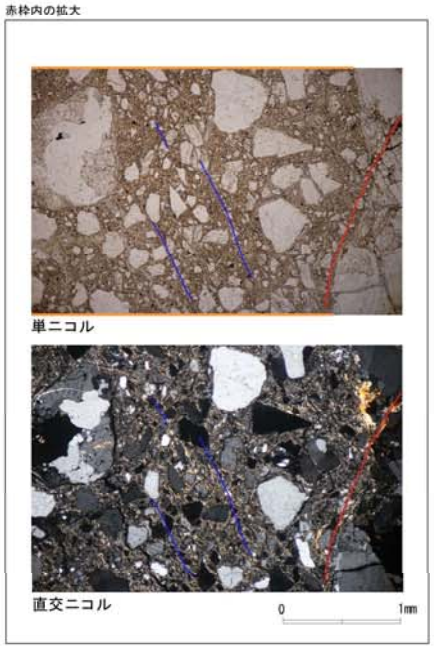

凡例
- 断層ガウジ
- カタクレーサイト
- R1面
- P面

2.2 (2)K断層

薄片試料観察(H24-D1-1　深度59.16m)

第536回審査会合
机上配付資料1 修正前

H24-D1-1のボーリングコア(深度59.16m)から採取した薄片試料の観察結果によれば最新活動面の変位センスは，鉛直方向では正断層成分が卓越する。

条線データなし

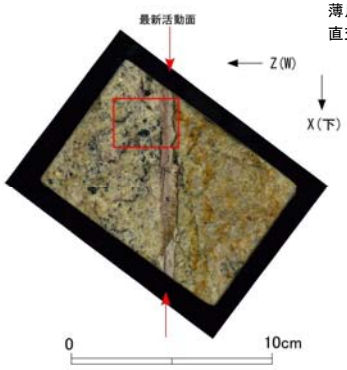

ブロックサンプル

薄片の作成方向は最新活動面に
直交方向かつ条線方向に平行方向

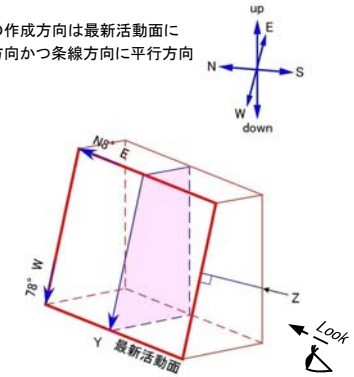

走向・傾斜 N8° E78° W

X:条線方向(下向きを正とする)

Z:断層面の法線方向(上盤側を正とする)

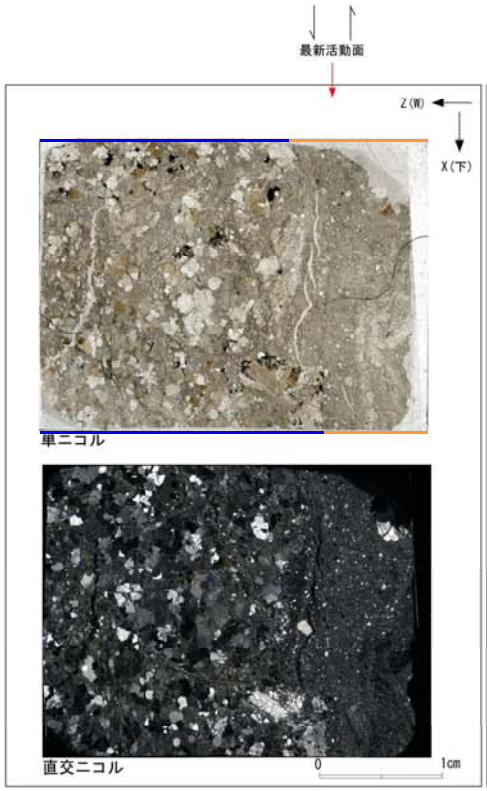

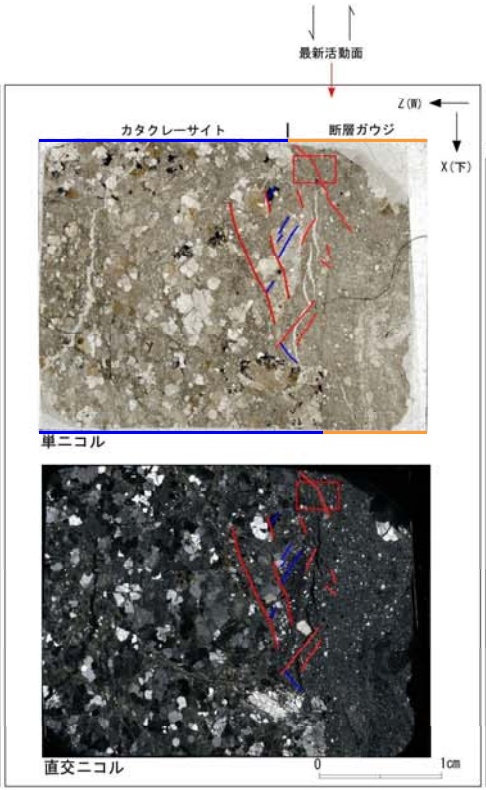

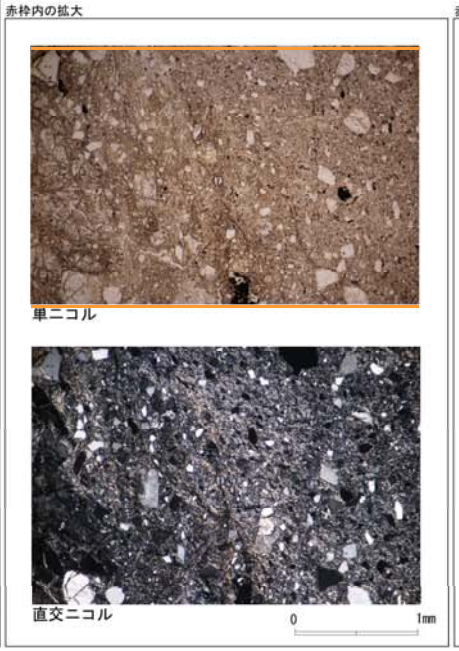

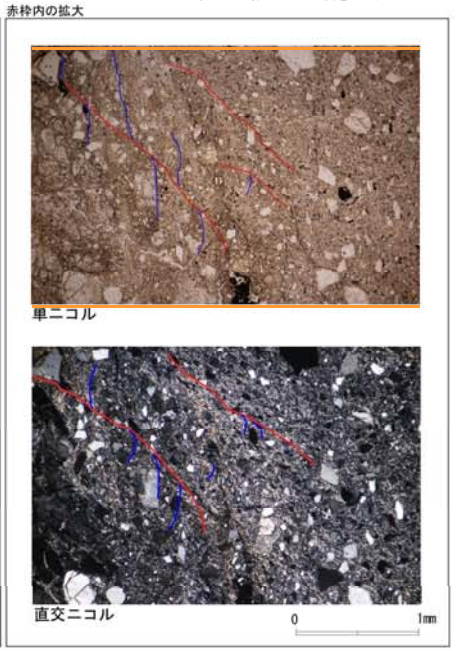

凡例
- 断層ガウジ
- カタクレーサイト
- R1面
- P面

2.2 (2)K断層

薄片試料観察(H24-D1-1　深度59.16m)

第536回審査会合
机上配付資料1 修正後

H24-D1-1のボーリングコア(深度59.16m)から採取した薄片試料の観察結果によれば最新活動面の変位センスは，鉛直方向では正断層成分が卓越する。

条線データなし

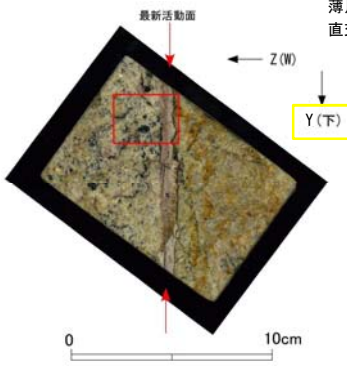

ブロックサンプル

薄片の作成方向は最新活動面に
直交方向かつ傾斜方向に平行方向

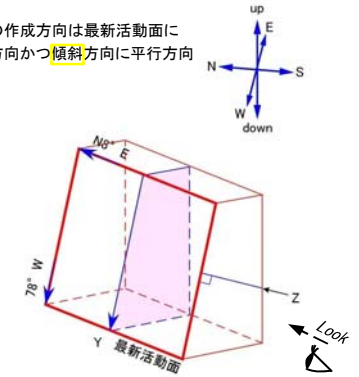

走向・傾斜 N8° E78° W

Y:傾斜方向(下向きを正とする)

Z:断層面の法線方向(上盤側を正とする)

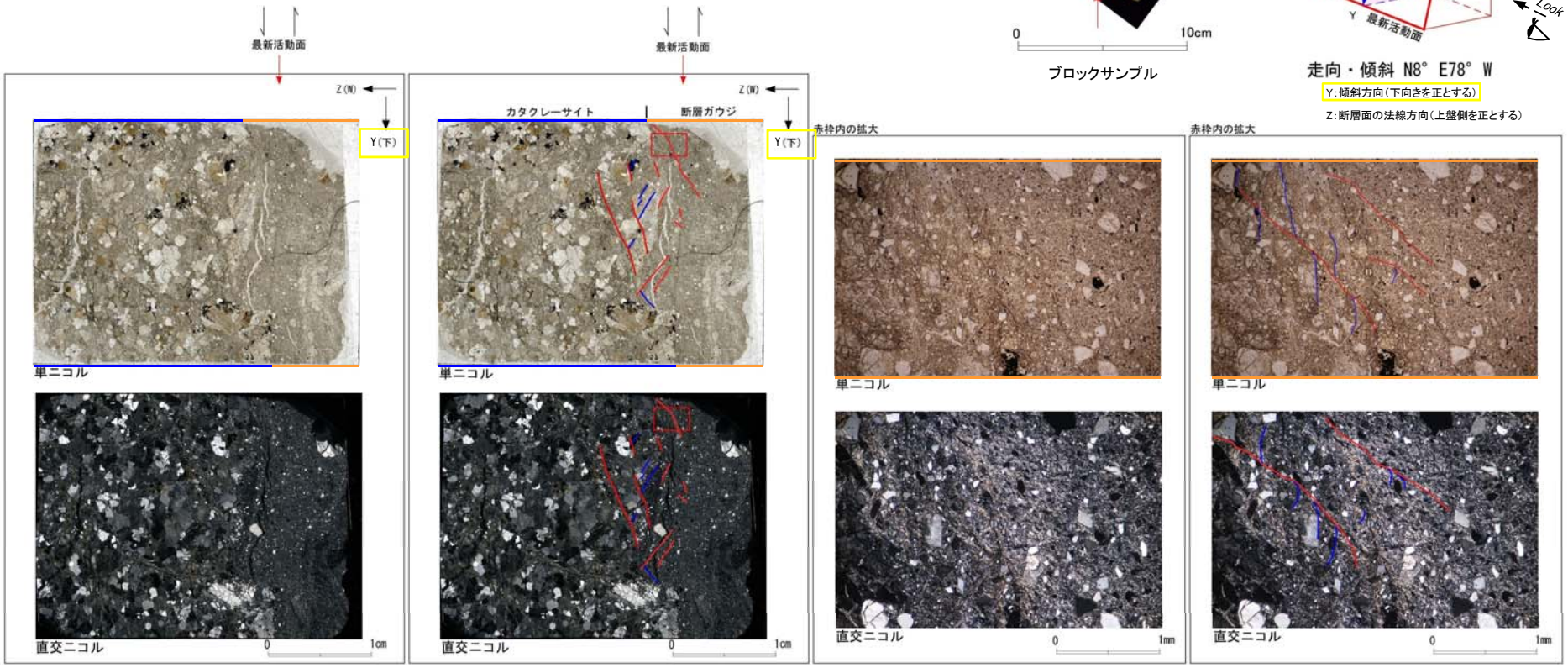

凡例
- 断層ガウジ
- カタクレーサイト
- R1面
- P面

2.2 (2)K断層

薄片試料観察(H24-D1-1　深度99.70m)

第536回審査会合
机上配付資料1 修正前

H24-D1-1のボーリングコア(深度99.70m)から採取した薄片試料の観察結果によれば最新活動面の変位センスは，正断層成分が卓越する。

条線データなし

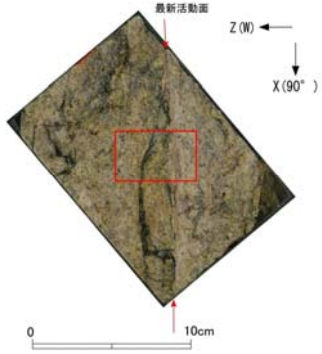

ブロックサンプル

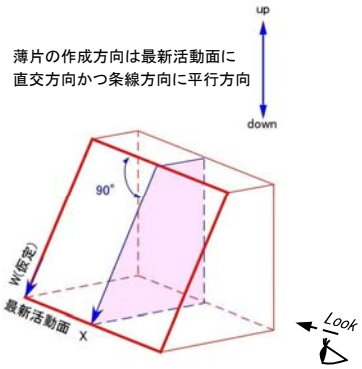

走向・傾斜　未測定

X:条線方向(下向きを正とする)
Z:断層面の法線方向(上盤側を正とする)

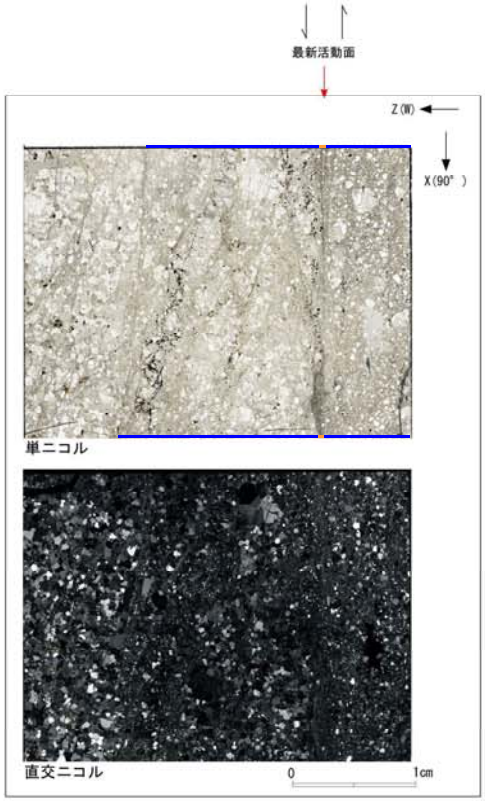

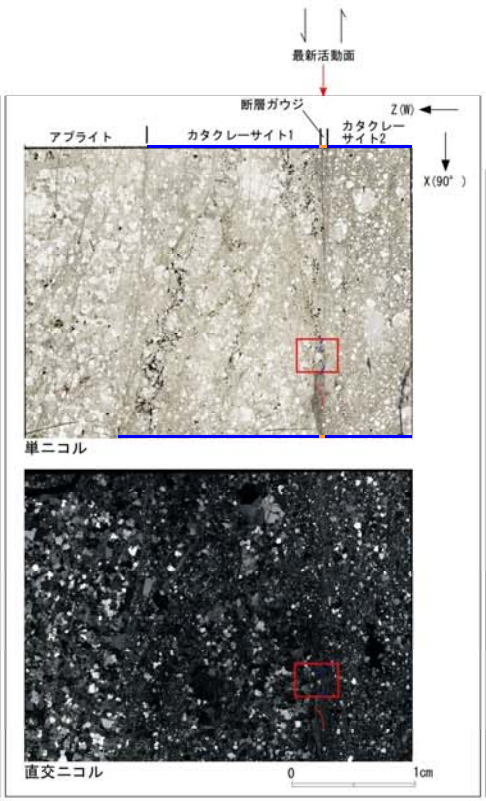

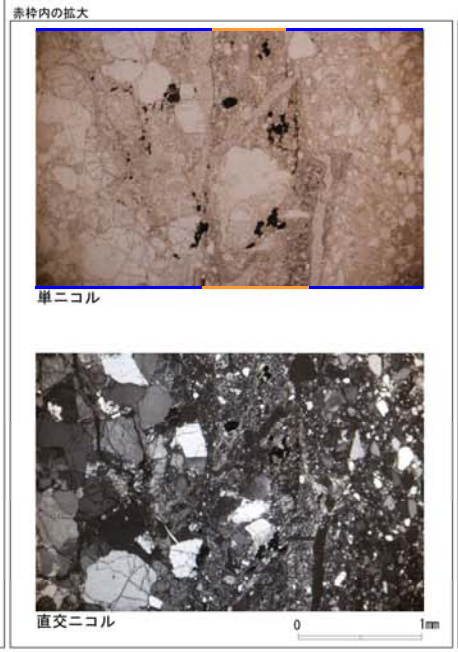

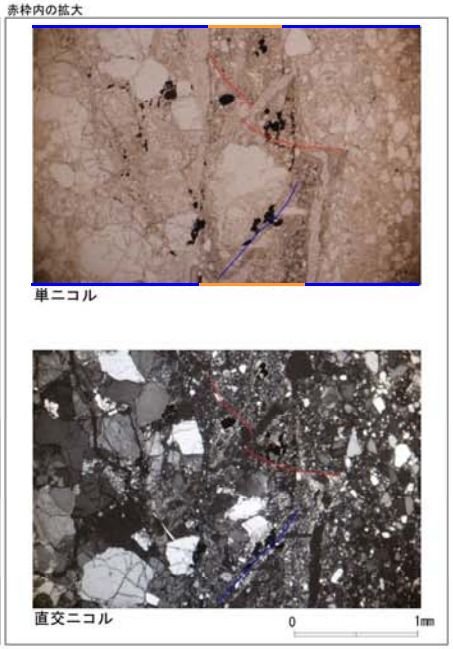

凡例
- 断層ガウジ
- カタクレーサイト
- R1面
- P面

2.2 (2)K断層

薄片試料観察(H24-D1-1　深度99.70m)

第536回審査会合
机上配付資料1 修正後

H24-D1-1のボーリングコア(深度99.70m)から採取した薄片試料の観察結果によれば最新活動面の変位センスは，正断層成分が卓越する。

走向・傾斜データなし

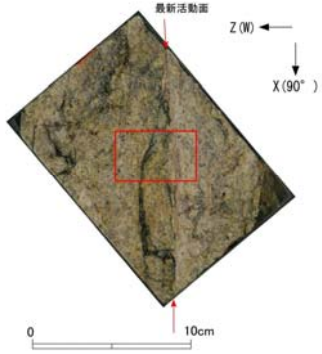

ブロックサンプル

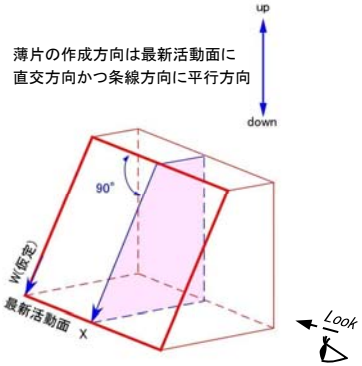

走向・傾斜 未測定

X:条線方向(下向きを正とする)
Z:断層面の法線方向(上盤側を正とする)

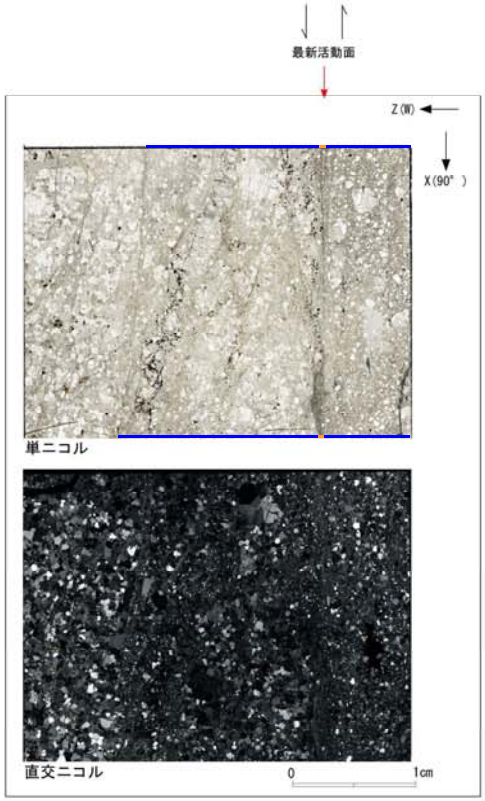

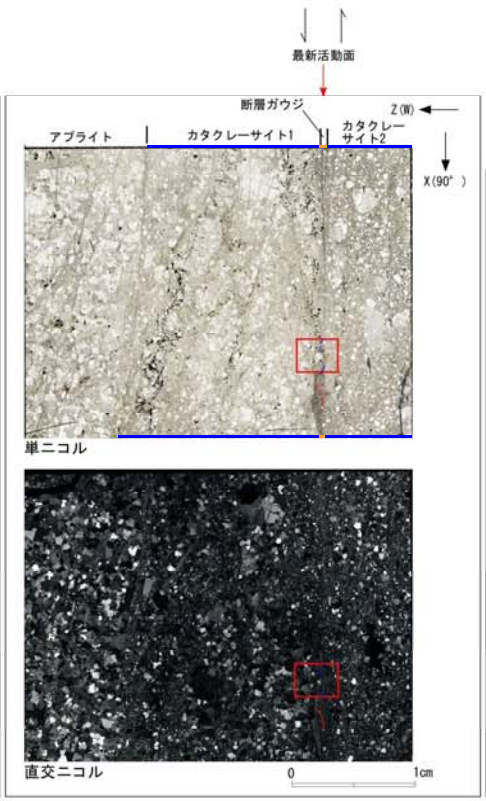

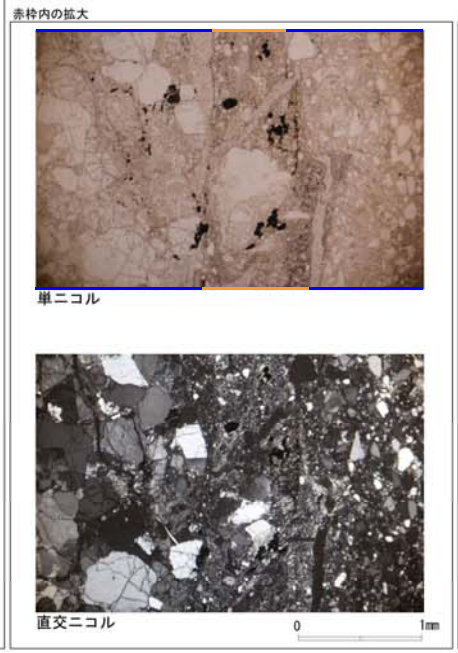

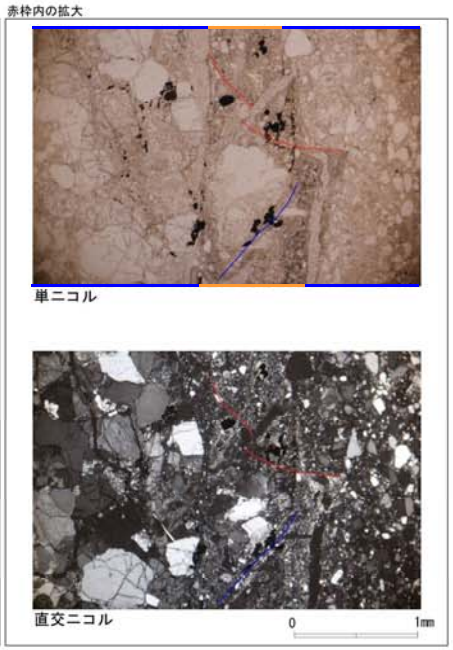

凡例
- 断層ガウジ
- カタクレーサイト
- R1面
- P面

2.2 (2)K断層

薄片試料観察(H27-B-2　深度31.29m)

第536回審査会合
机上配付資料1 修正前

H24-B-2のボーリングコア(深度31.29m)から採取した薄片試料の観察結果によれば最新活動面の変位センスは，正断層成分が卓越する。

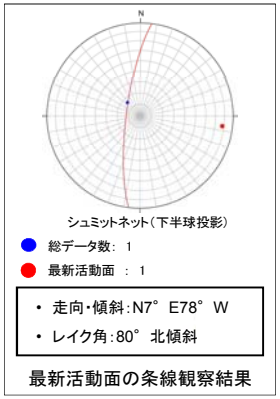

最新活動面の条線観察結果

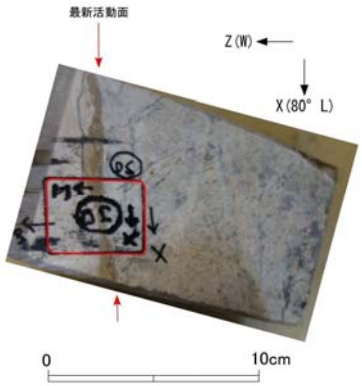

ブロックサンプル

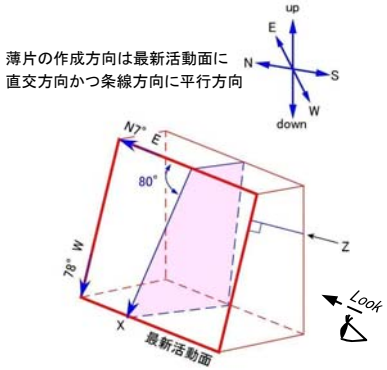

走向・傾斜 N7° E78° W

X:条線方向(下向きを正とする)
Z:断層面の法線方向(上盤側を正とする)

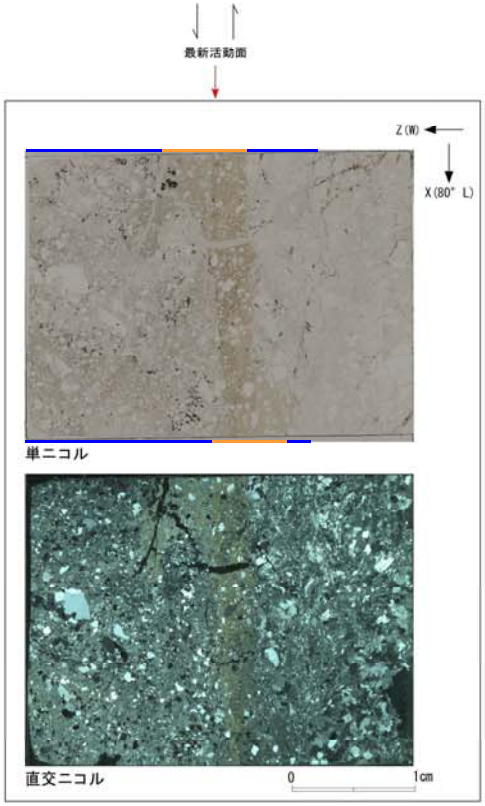

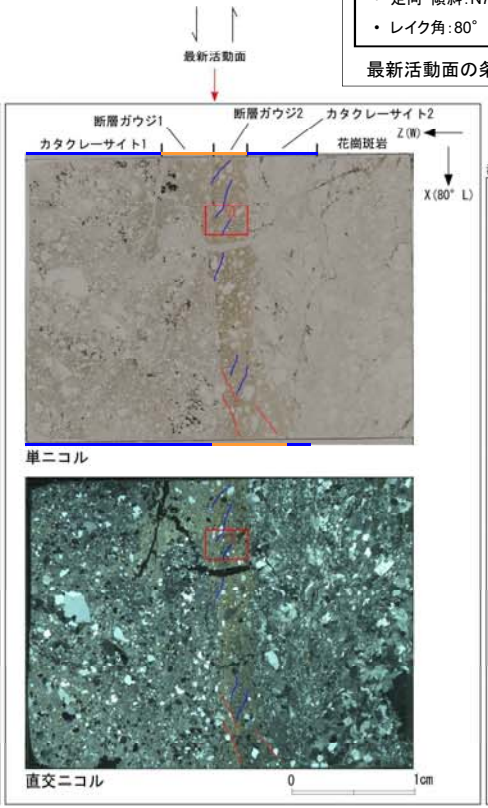

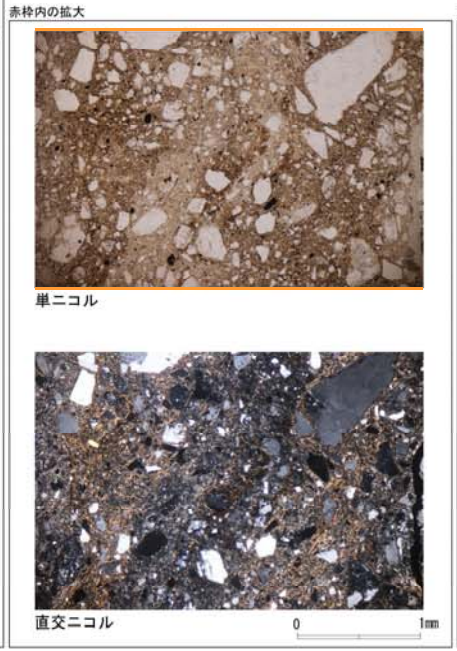

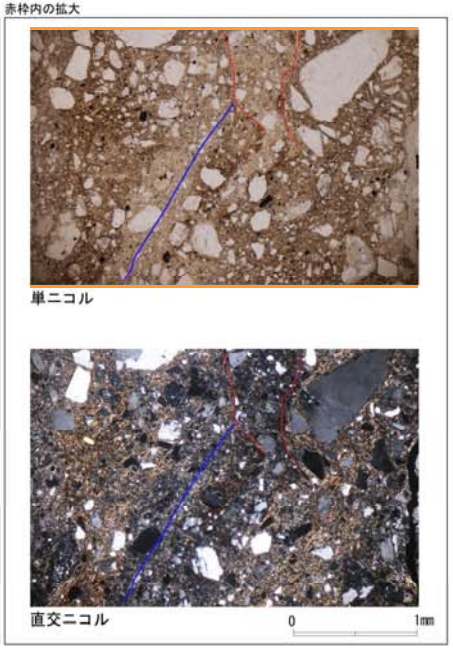

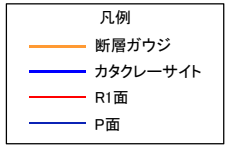

2.2 (2)K断層

薄片試料観察(H27-B-2　深度31.29m)

第536回審査会合
机上配付資料1 修正後

H27-B-2のボーリングコア(深度31.29m)から採取した薄片試料の観察結果によれば最新活動面の変位センスは，正断層成分が卓越する。

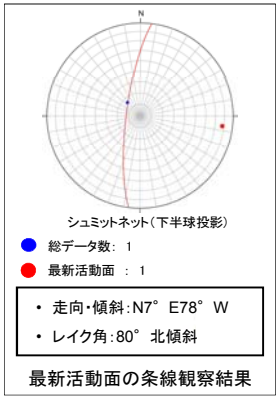

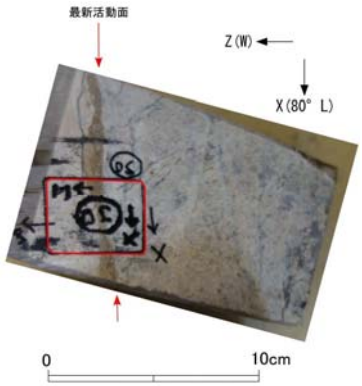

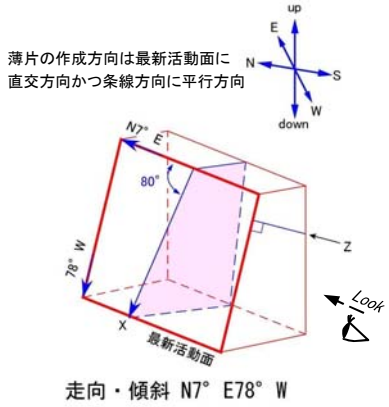

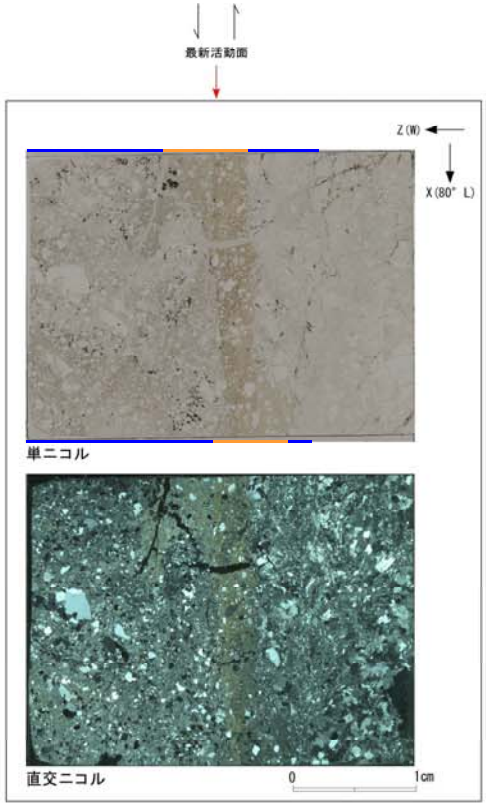

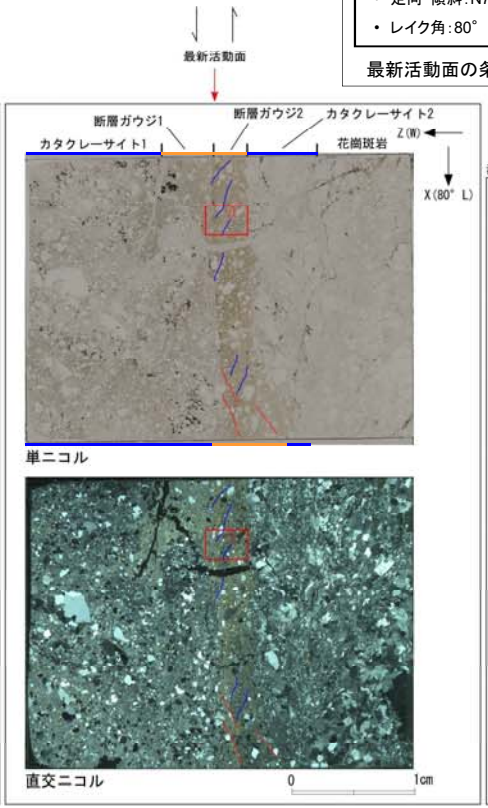

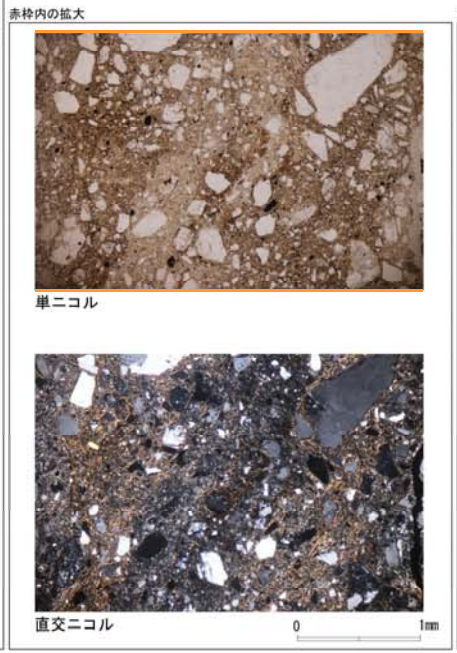

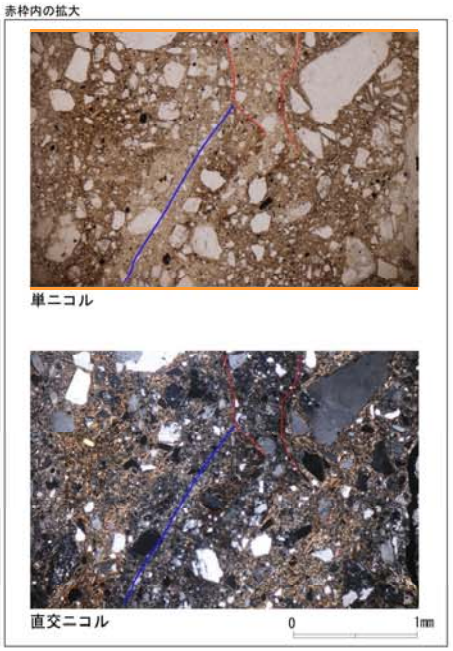

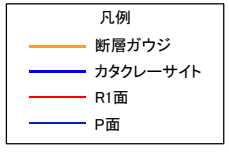

2.2 (2)K断層

薄片試料観察(H27-B-2　深度88.92m)

H27-B-2のボーリングコア(深度88.92m)から採取した薄片試料の観察結果によれば最新活動面の変位センスは，右ずれを伴う正断層成分が卓越する。

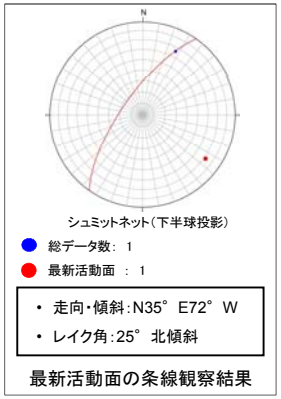

最新活動面の条線観察結果

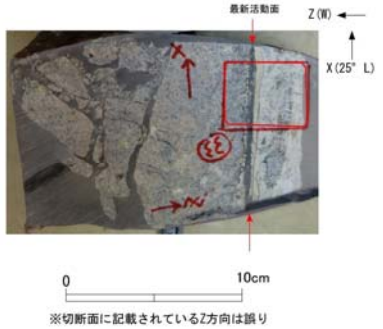

※切断面に記載されているZ方向は誤り

ブロックサンプル

薄片の作成方向は最新活動面に
直交方向かつ条線方向に平行方向

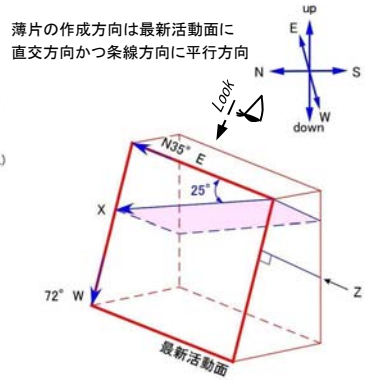

走向・傾斜 N35° E72° W

X:条線方向(下向きを正とする)

Z:断層面の法線方向(上盤側を正とする)

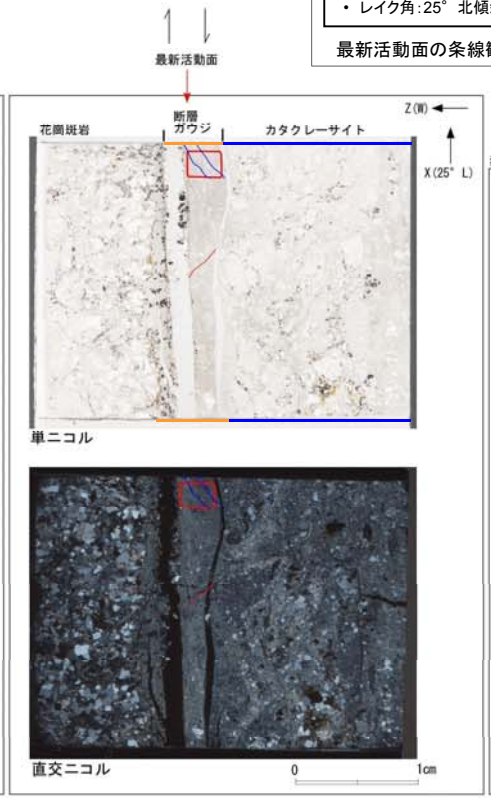

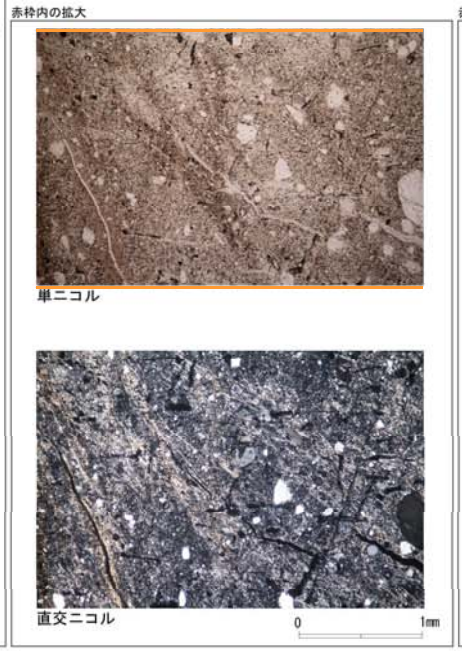

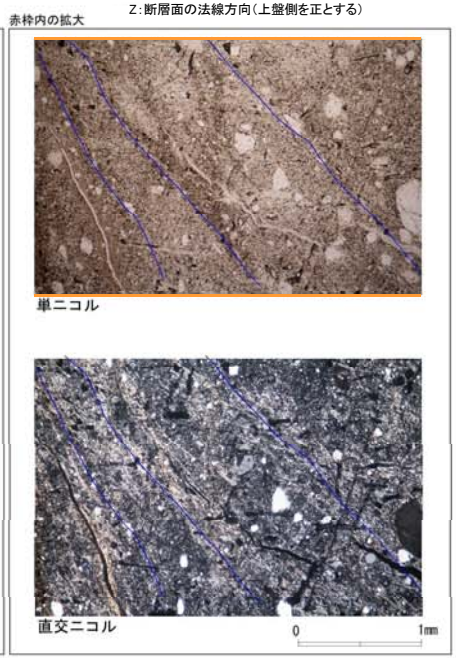

凡例
- 断層ガウジ
- カタクレーサイト
- R1面
- P面

2.2 (2)K断層

薄片試料観察(H27-B-2　深度88.94m)

H27-B-2のボーリングコア(深度88.94m)から採取した薄片試料の観察結果によれば最新活動面の変位センスは，右ずれを伴う正断層成分が卓越する。

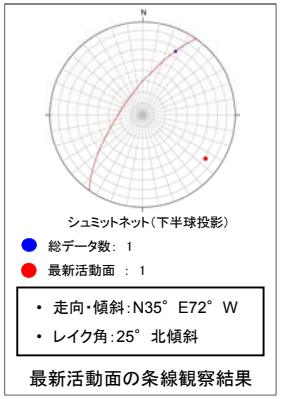

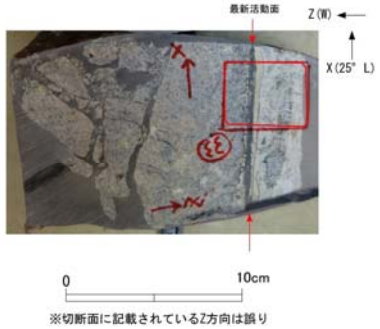

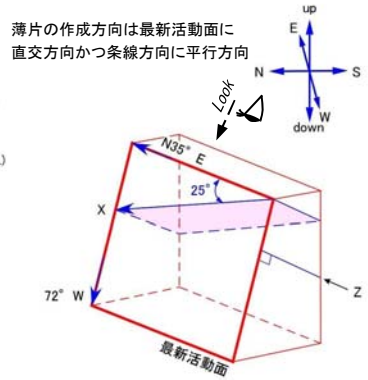

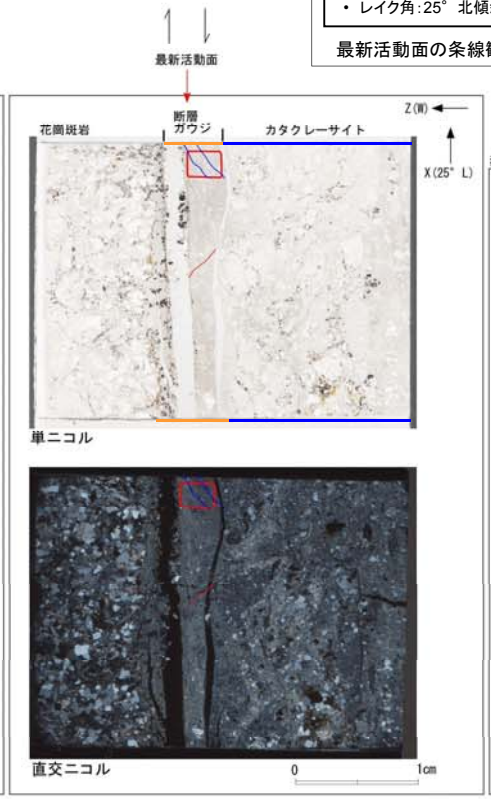

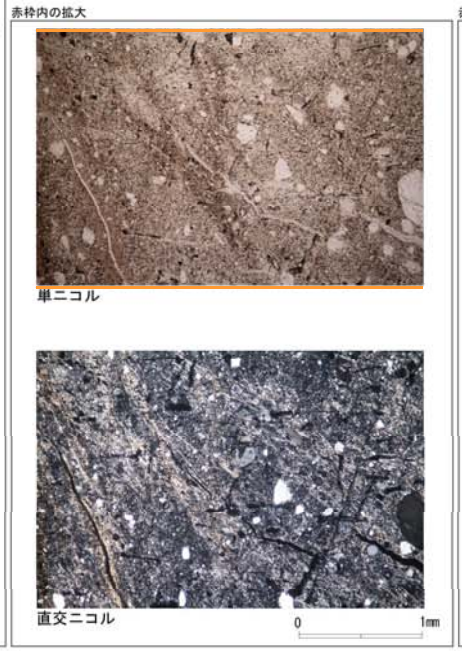

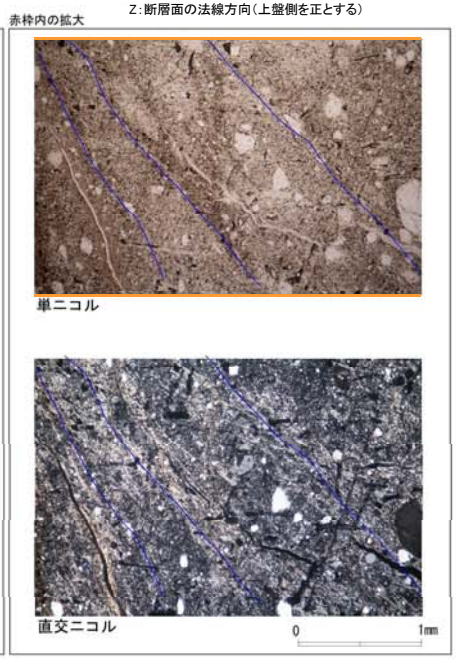

凡例
- 断層ガウジ
- カタクレーサイト
- R1面
- P面

2.2 (2)K断層

薄片試料観察(H24-B14-2　深度28.50m)

第536回審査会合
机上配付資料1 修正前

H27-B14-2のボーリングコア(深度28.50m)から採取した薄片試料の観察結果によれば最新活動面の変位センスは，左ずれを伴う正断層成分が卓越する。

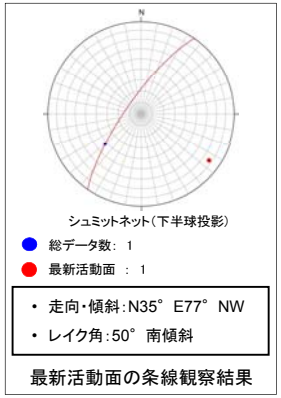

最新活動面の条線観察結果

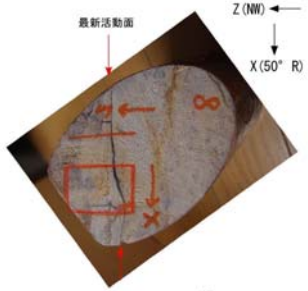

ブロックサンプル

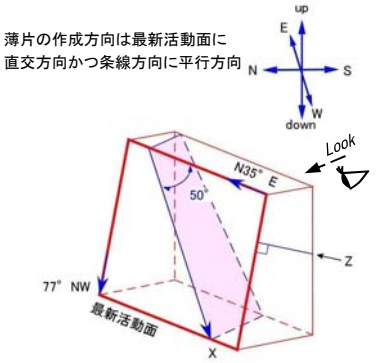

走向・傾斜 N35° E77° NW

X:条線方向(下向きを正とする)

Z:断層面の法線方向(上盤側を正とする)

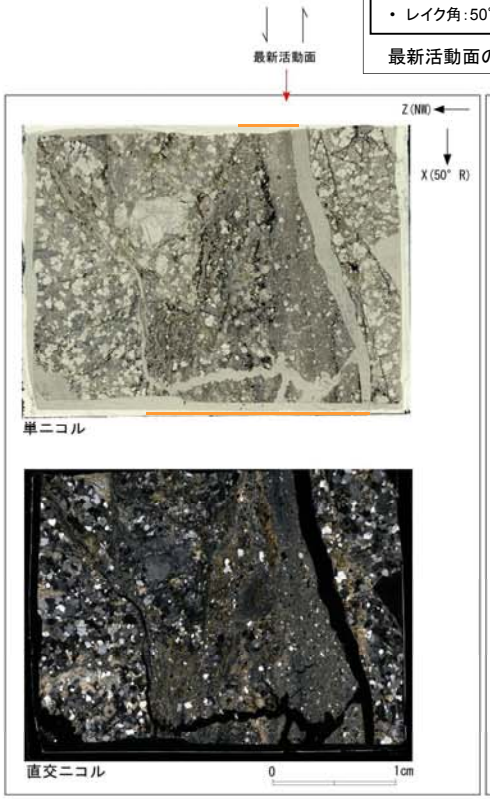

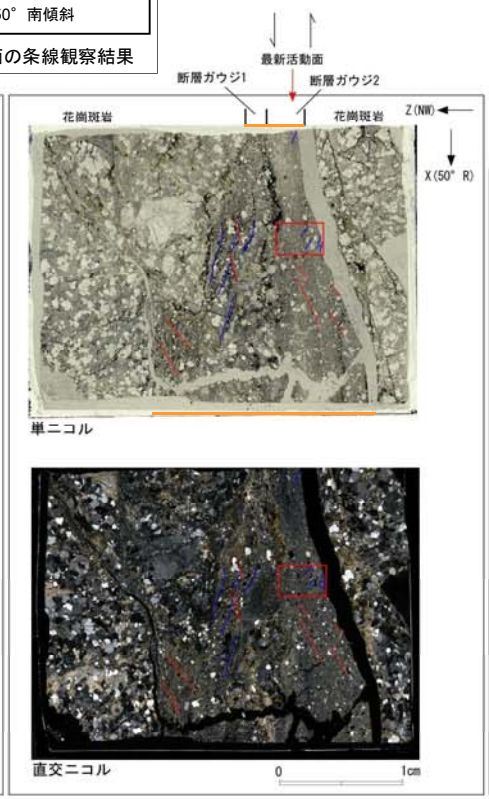

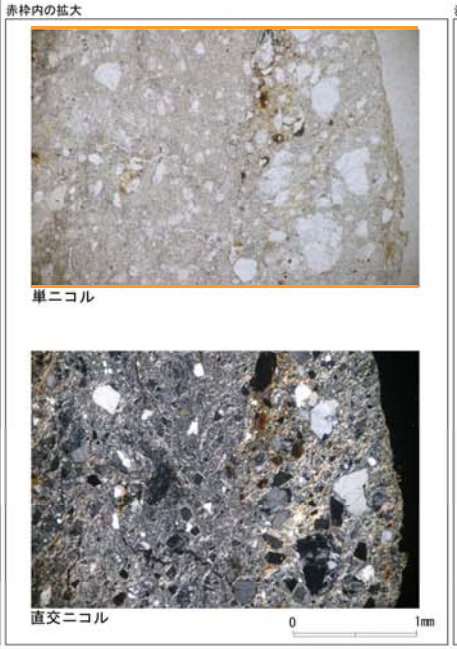

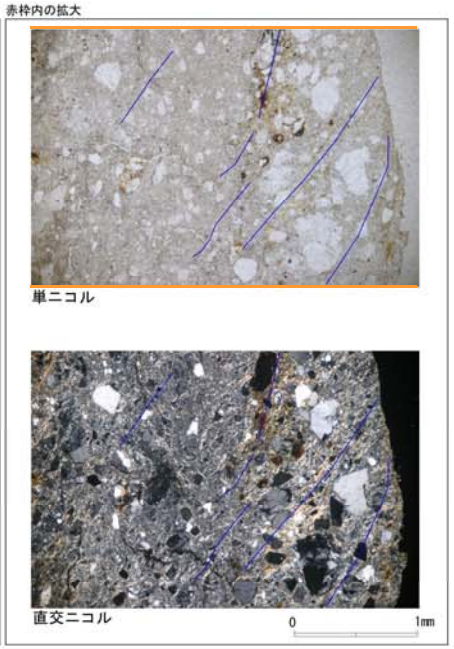

凡例
- 断層ガウジ
- カタクレーサイト
- R1面
- P面

2.2 (2)K断層

薄片試料観察(H24-B14-2　深度28.50m)

第536回審査会合
机上配付資料1 修正後

H24-B14-2のボーリングコア(深度28.50m)から採取した薄片試料の観察結果によれば最新活動面の変位センスは，左ずれを伴う正断層成分が卓越する。

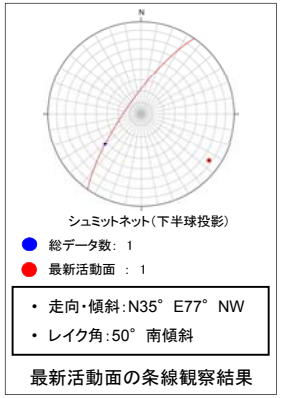

最新活動面の条線観察結果

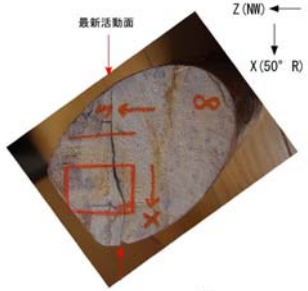

ブロックサンプル

薄片の作成方向は最新活動面に
直交方向かつ条線方向に平行方向

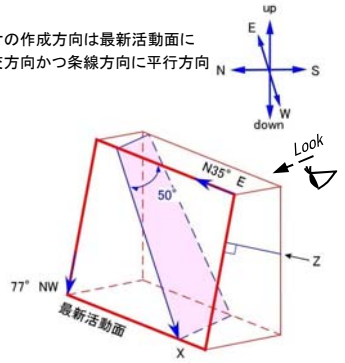

走向・傾斜 N35° E77° NW

X:条線方向(下向きを正とする)

Z:断層面の法線方向(上盤側を正とする)

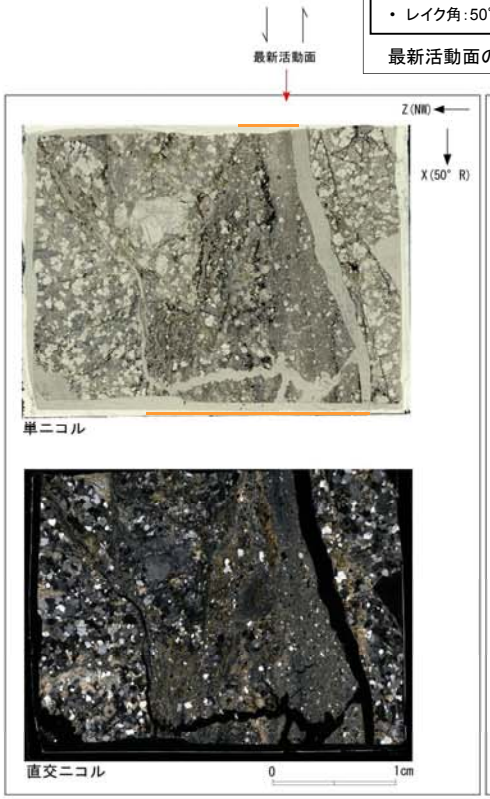

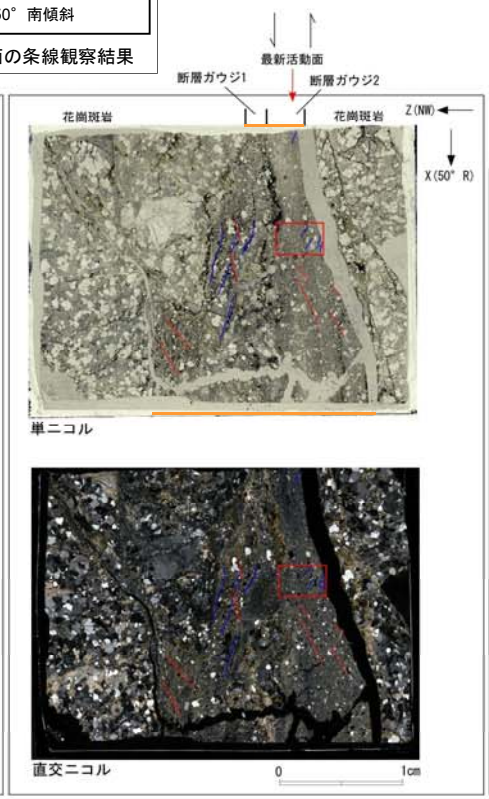

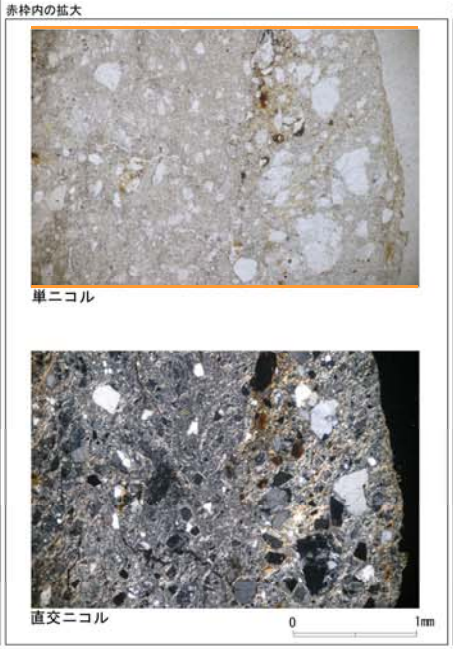

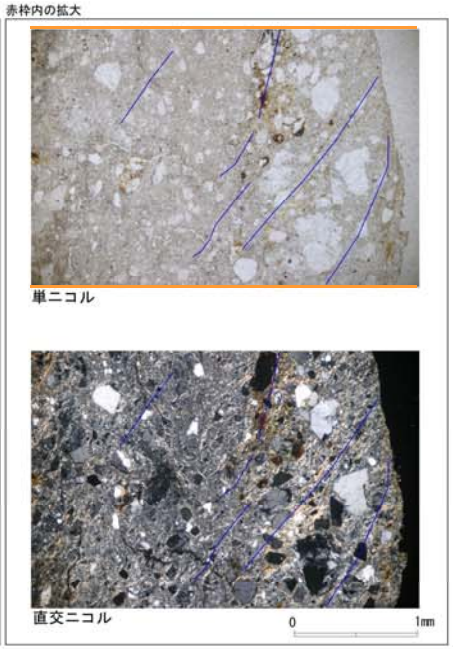

凡例
- 断層ガウジ
- カタクレーサイト
- R1面
- P面

2.2 (2)K断層

薄片試料観察(H24-B14-2　深度49.26m)

第536回審査会合
机上配付資料1 修正前

H27-B14-2のボーリングコア(深度49.26m)から採取した薄片試料の観察結果によれば最新活動面の変位センスは，正断層成分が卓越する。

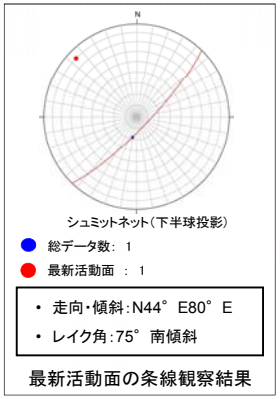

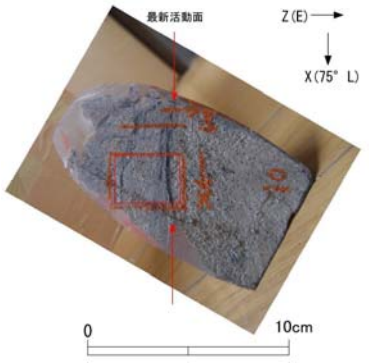

ブロックサンプル

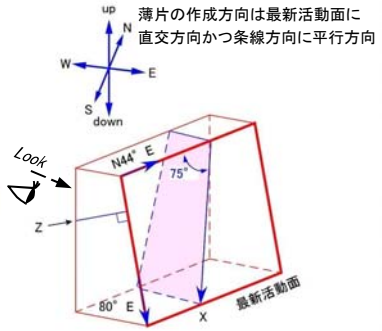

薄片の作成方向は最新活動面に直交方向かつ条線方向に平行方向

走向・傾斜 N44° E80° E

X:条線方向(下向きを正とする)

Z:断層面の法線方向(上盤側を正とする)

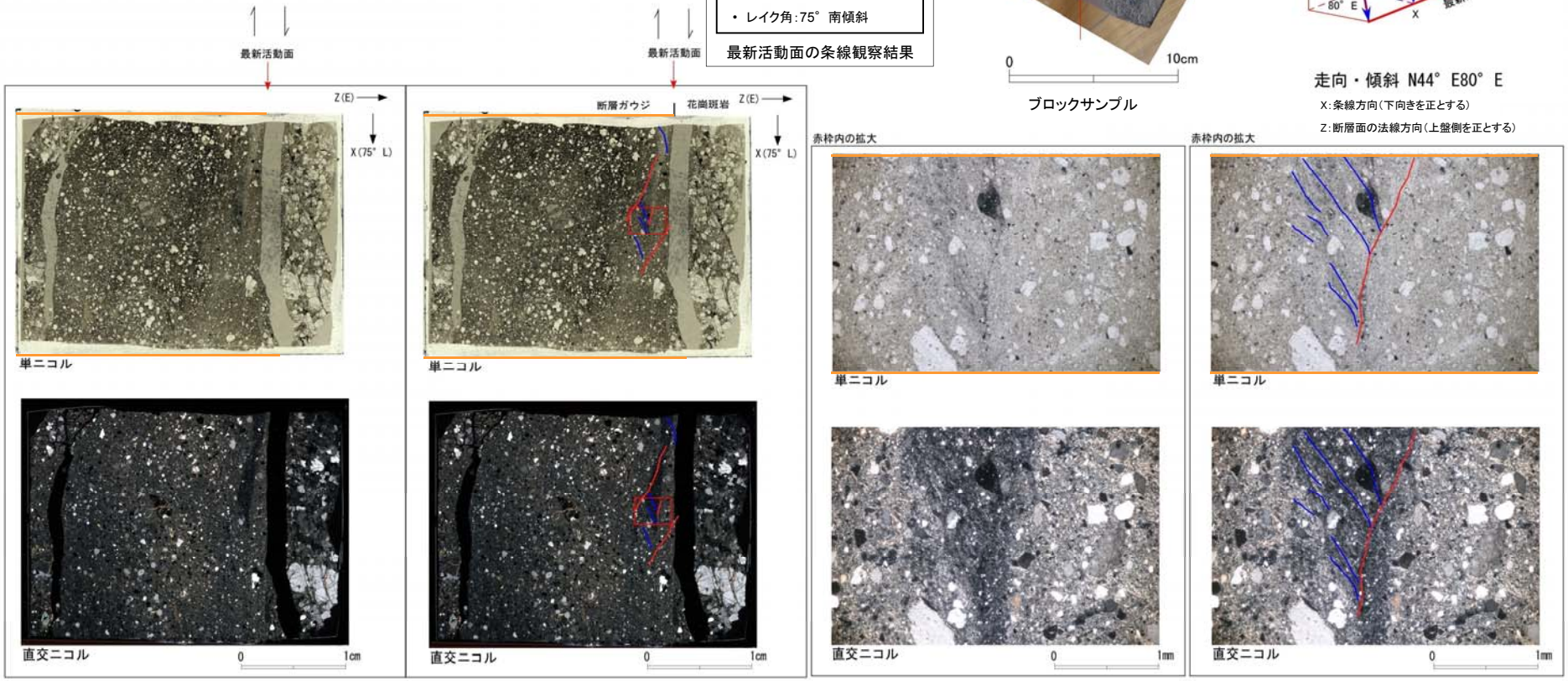

凡例
- 断層ガウジ
- カタクレーサイト
- R1面
- P面

2.2 (2)K断層

薄片試料観察(H24-B14-2　深度49.26m)

第536回審査会合
机上配付資料1 修正後

H24-B14-2のボーリングコア(深度49.26m)から採取した薄片試料の観察結果によれば最新活動面の変位センスは，正断層成分が卓越する。

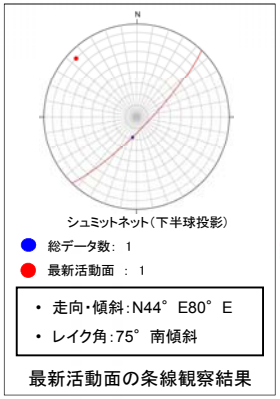

最新活動面の条線観察結果

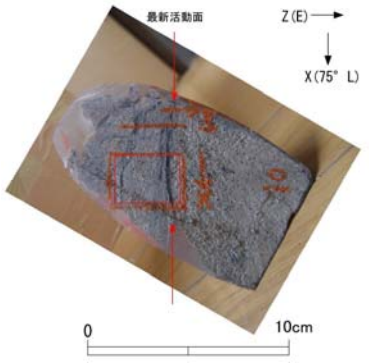

ブロックサンプル

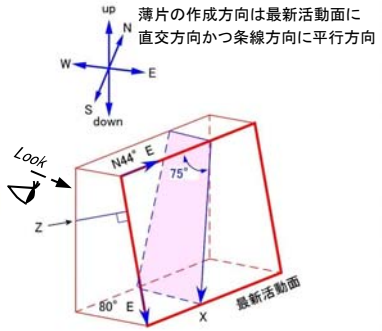

薄片の作成方向は最新活動面に直交方向かつ条線方向に平行方向

走向・傾斜 N44° E80° E

X:条線方向(下向きを正とする)

Z:断層面の法線方向(上盤側を正とする)

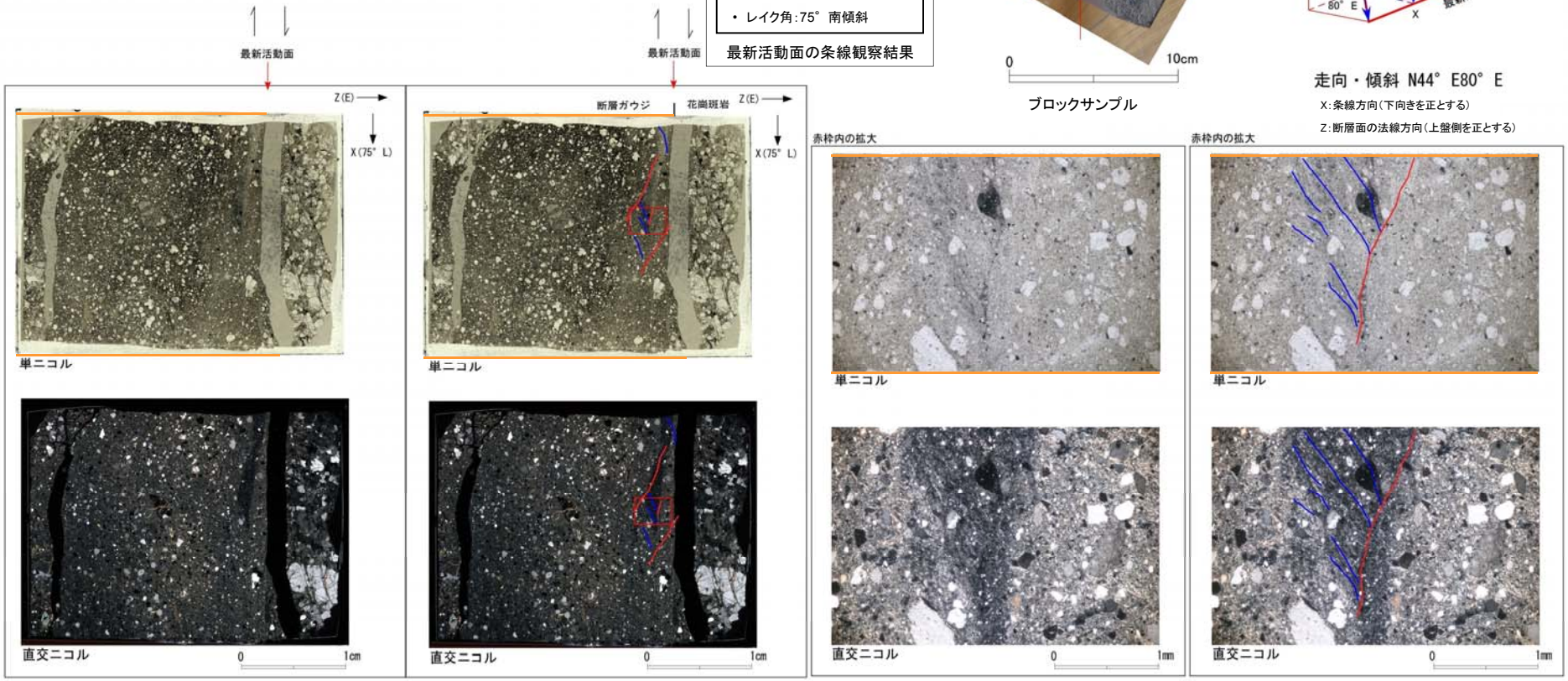

凡例
- 断層ガウジ
- カタクレーサイト
- R1面
- P面

2.2 (2)K断層

薄片試料観察(H24-D1-2　深度31.46m)

第536回審査会合
机上配付資料1 修正前

H27-D1-2のボーリングコア(深度31.46m)から採取した薄片試料の観察結果によれば最新活動面の変位センスは，右ずれ層成分が卓越する。

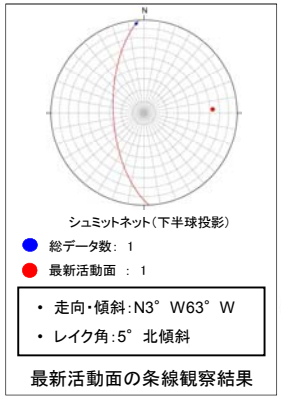

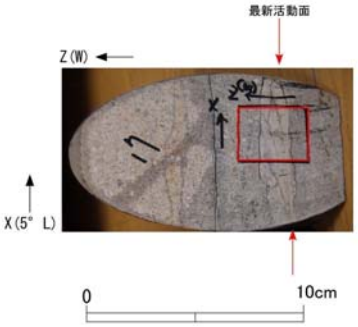

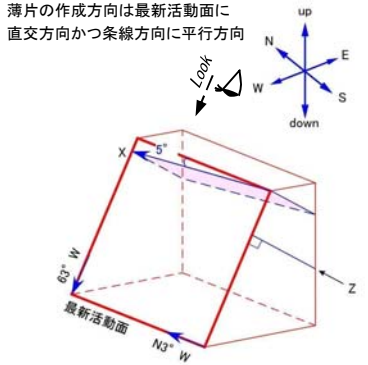

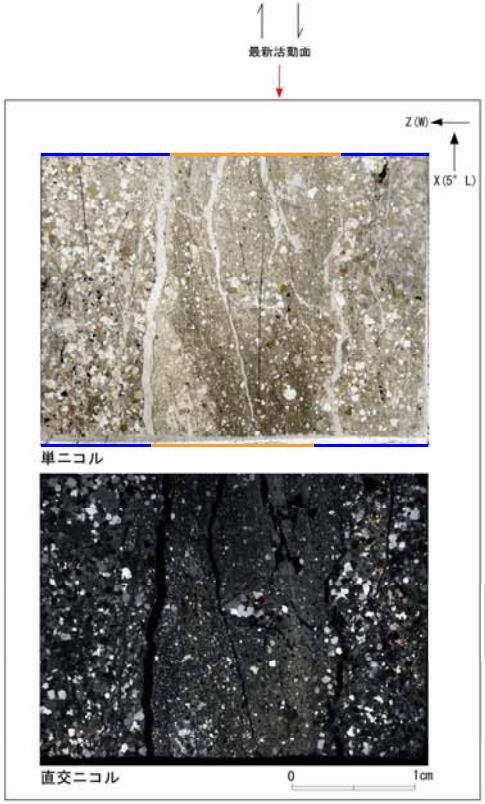

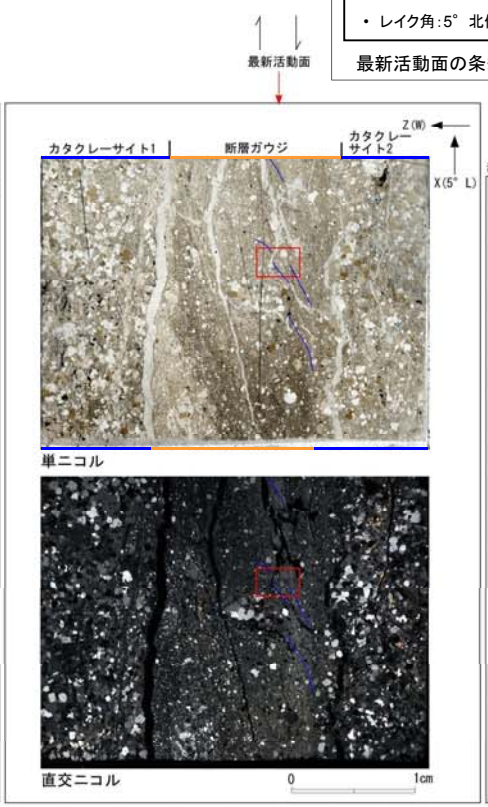

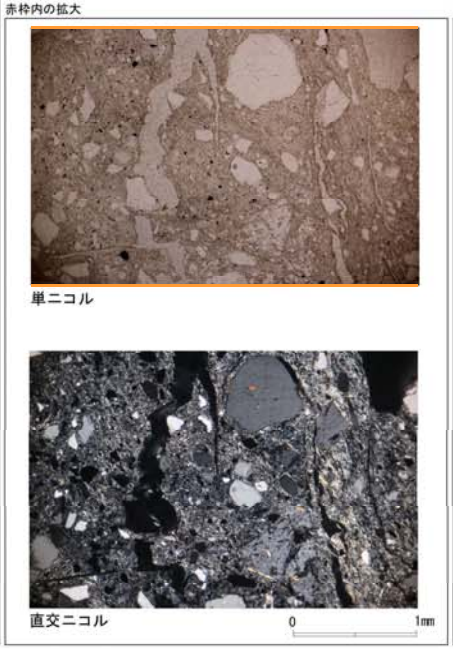

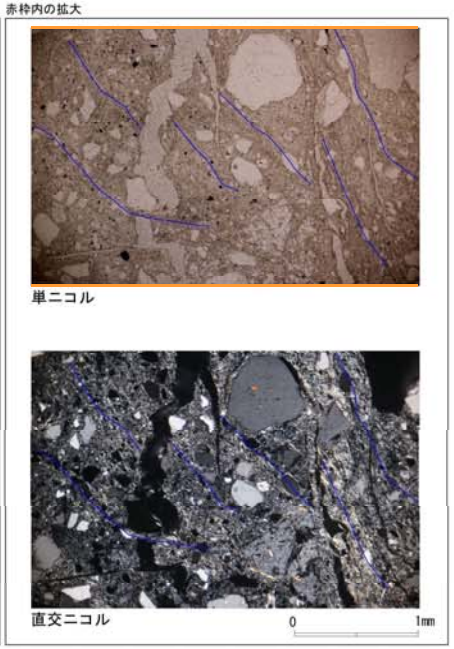

凡例
- 断層ガウジ
- カタクレーサイト
- R1面
- P面

2.2 (2)K断層

薄片試料観察(H24-D1-2　深度31.46m)

第536回審査会合
机上配付資料1 修正後

H24-D1-2のボーリングコア(深度31.46m)から採取した薄片試料の観察結果によれば最新活動面の変位センスは，右ずれ層成分が卓越する。

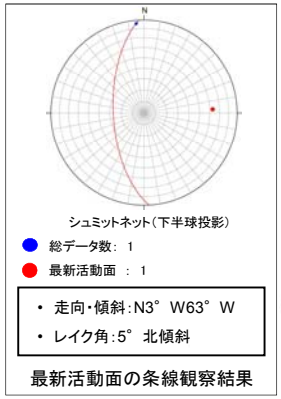

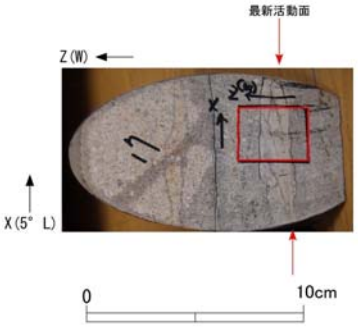

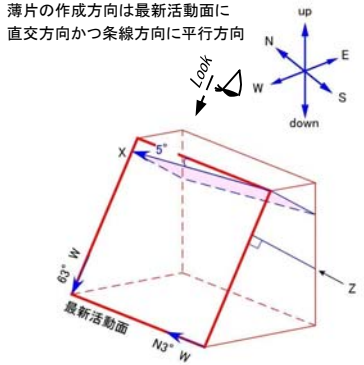

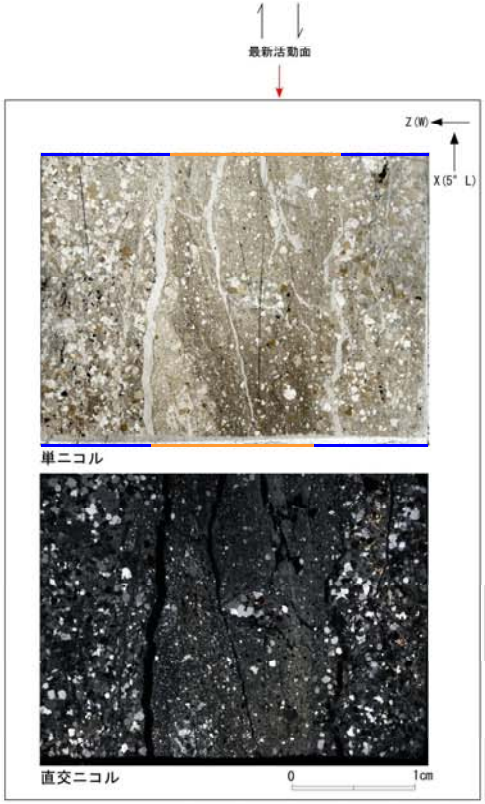

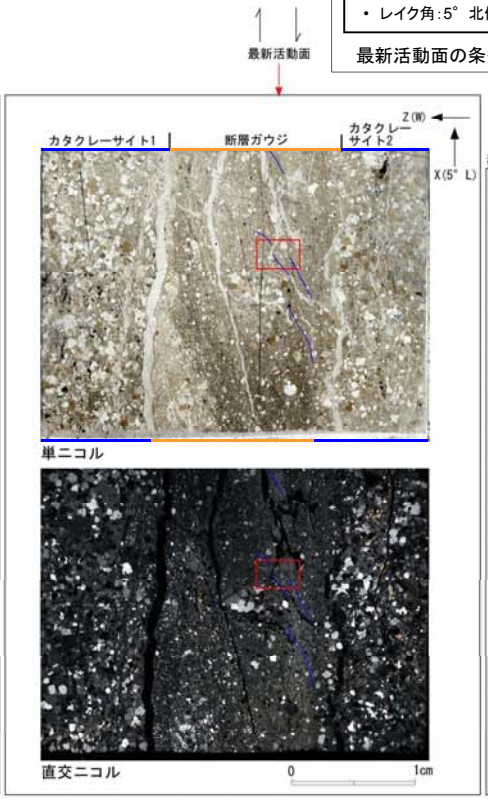

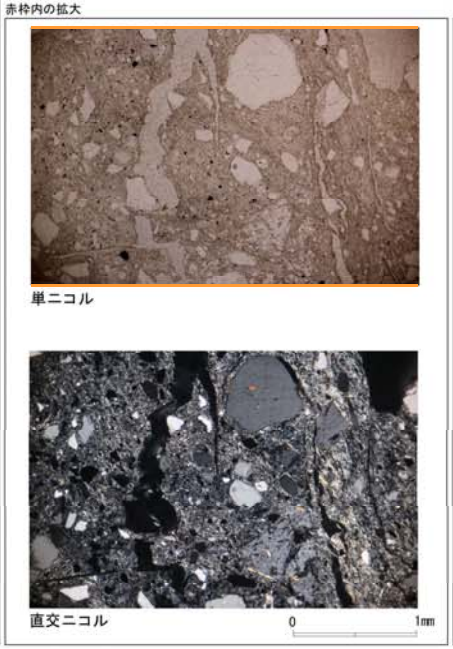

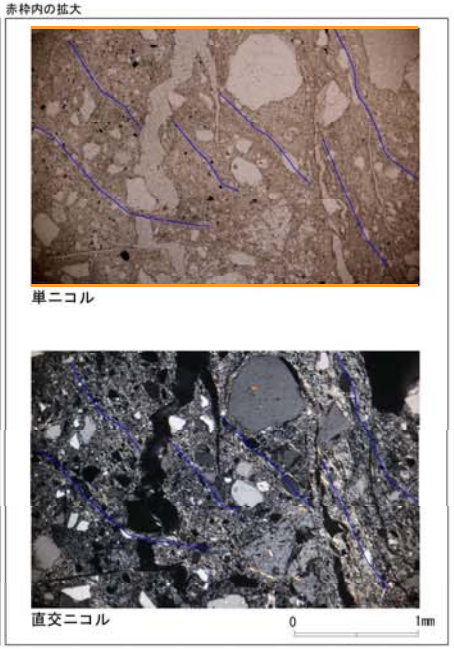

凡例
- 断層ガウジ
- カタクレーサイト
- R1面
- P面

2.2 (2)K断層

薄片試料観察(H24-D1-3　深度14.06m)

第536回審査会合
机上配付資料1 修正前

H27-D1-3のボーリングコア(深度14.06m)から採取した薄片試料の観察結果によれば最新活動面の変位センスは，左ずれ成分が卓越する。

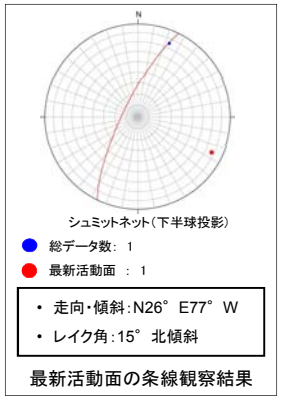

最新活動面の条線観察結果

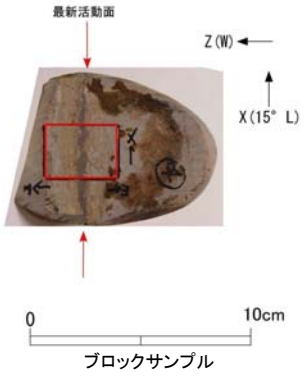

ブロックサンプル

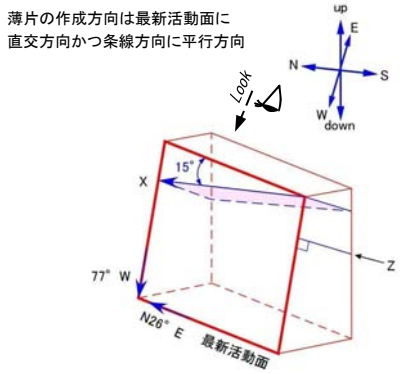

走向・傾斜 N26° E77° W

X:条線方向(下向きを正とする)

Z:断層面の法線方向(上盤側を正とする)

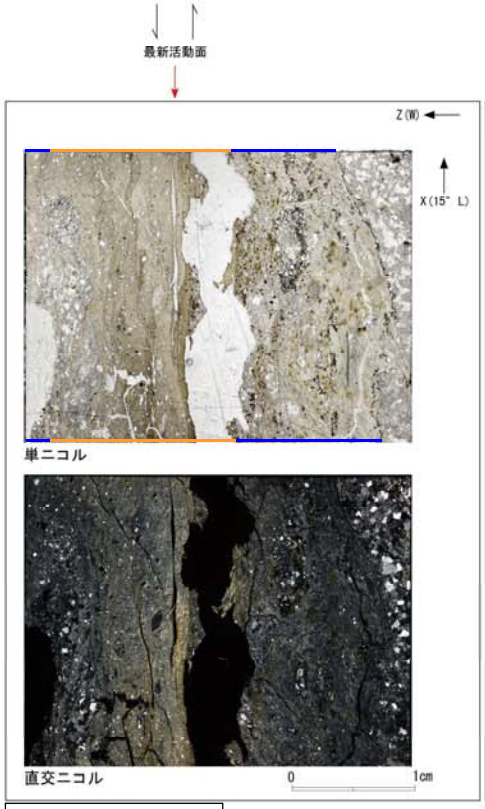

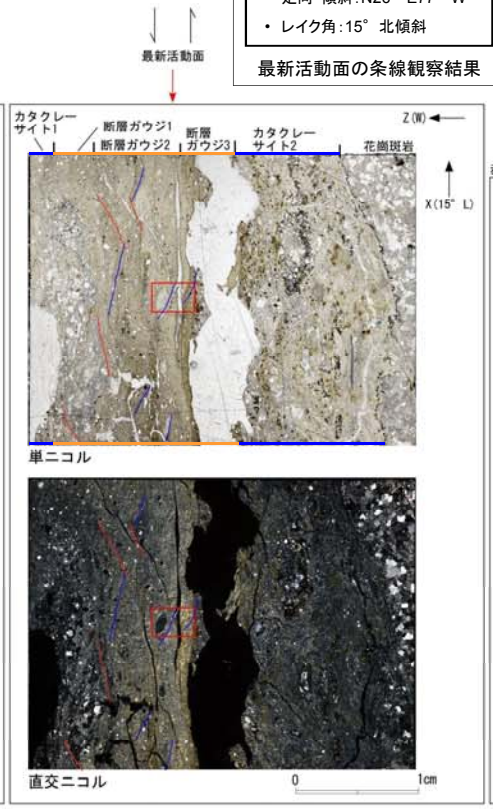

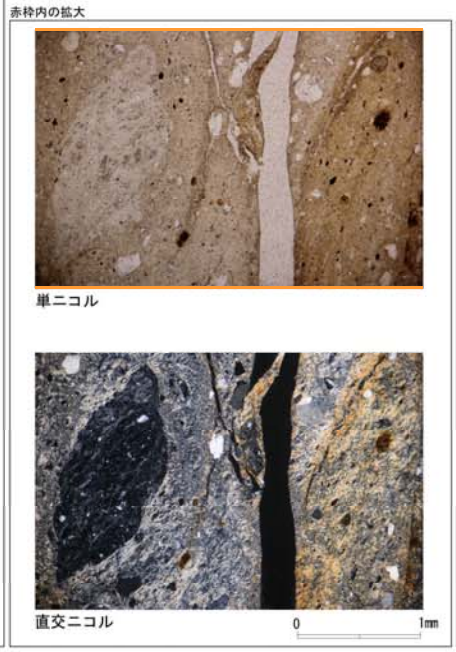

凡例
- 断層ガウジ
- カタクレーサイト
- R1面
- P面

2.2 (2)K断層

薄片試料観察(H24-D1-3　深度14.06m)

第536回審査会合
机上配付資料1 修正後

H24-D1-3のボーリングコア(深度14.06m)から採取した薄片試料の観察結果によれば最新活動面の変位センスは，左ずれ成分が卓越する。

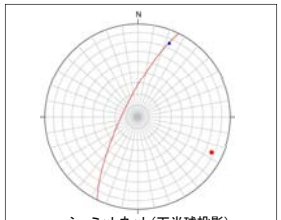

最新活動面の条線観察結果

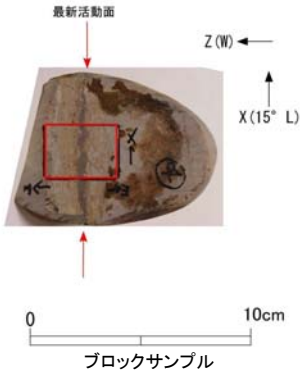

ブロックサンプル

薄片の作成方向は最新活動面に
直交方向かつ条線方向に平行方向

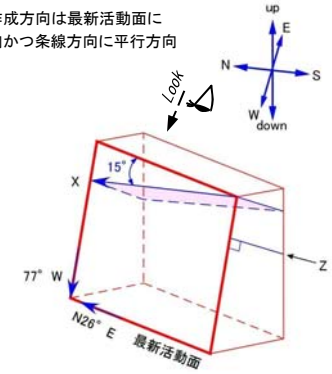

走向・傾斜 N26° E77° W

X:条線方向(下向きを正とする)

Z:断層面の法線方向(上盤側を正とする)

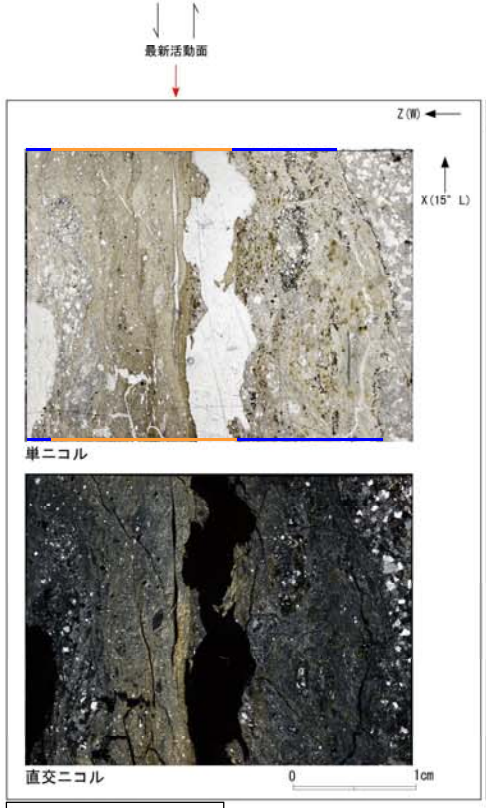

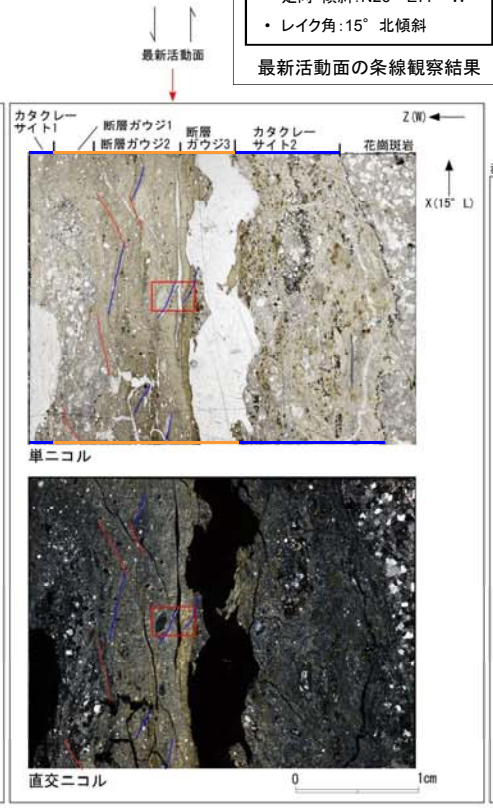

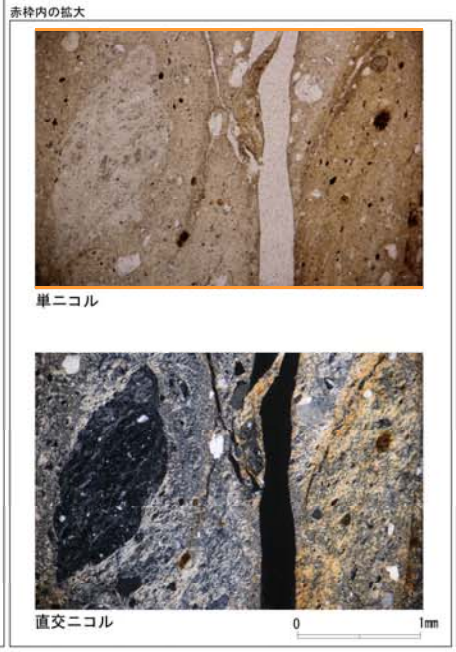

凡例
- 断層ガウジ
- カタクレーサイト
- R1面
- P面

2.2 (2)K断層

薄片試料観察(H24-D1-3　深度14.47m)

H27-D1-3のボーリングコア(深度14.47m)から採取した薄片試料の観察結果によれば最新活動面の変位センスは，右ずれ成分が卓越する。

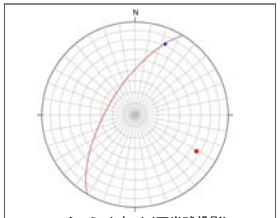

最新活動面の条線観察結果

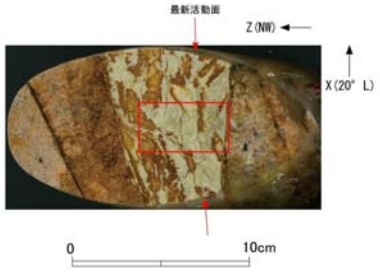

ブロックサンプル

薄片の作成方向は最新活動面に
直交方向かつ条線方向に平行方向

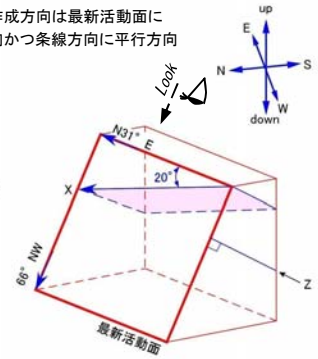

走向・傾斜 N31° E66° NW

X:条線方向(下向きを正とする)
Z:断層面の法線方向(上盤側を正とする)

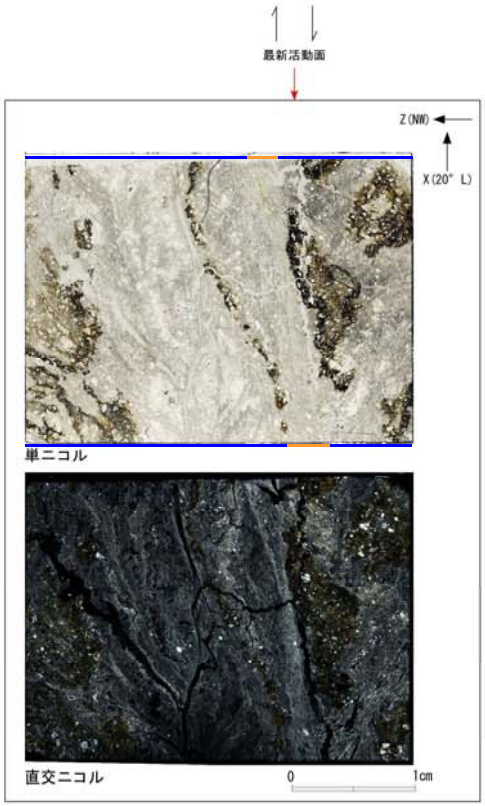

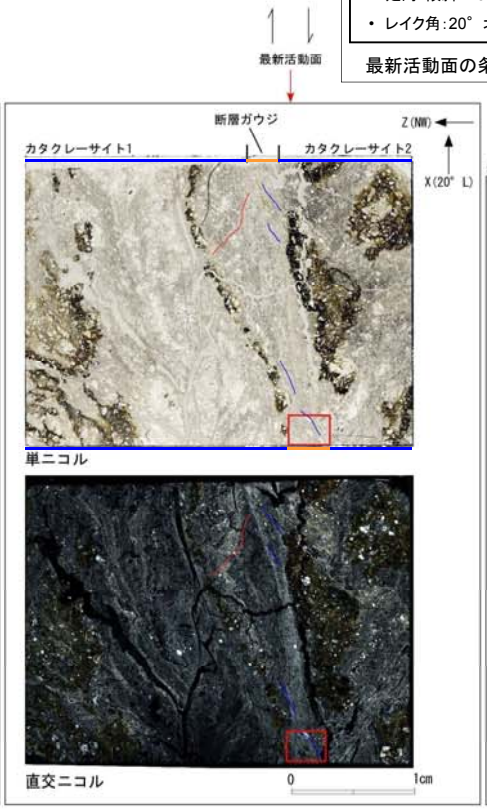

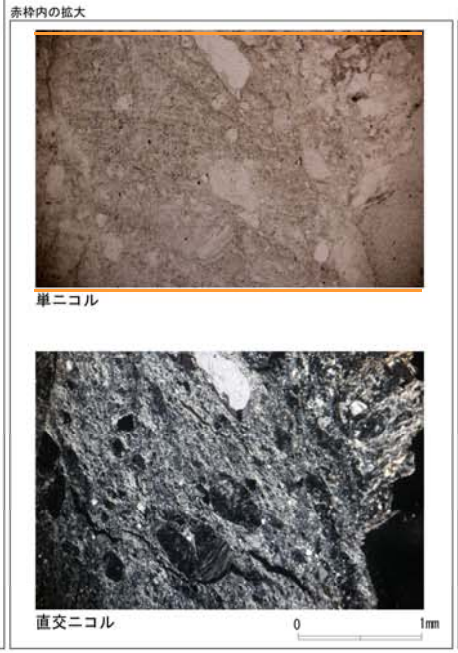

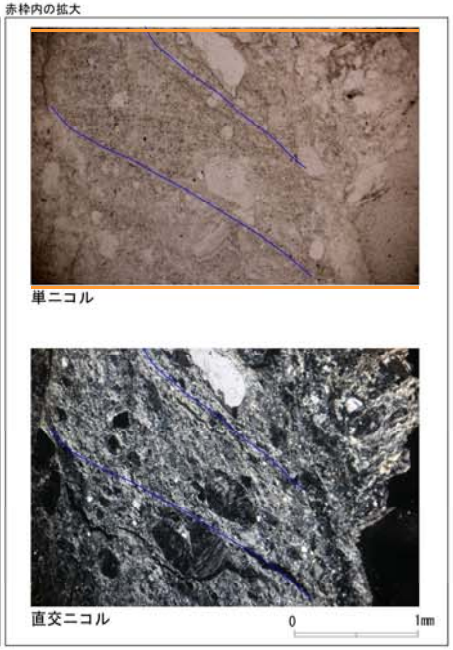

凡例
- 断層ガウジ
- カタクレーサイト
- R1面
- P面

2.2 (2)K断層

薄片試料観察(H24-D1-3　深度14.47m)

H24-D1-3のボーリングコア(深度14.47m)から採取した薄片試料の観察結果によれば最新活動面の変位センスは，右ずれ成分が卓越する。

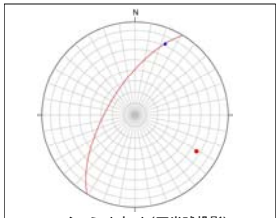

最新活動面の条線観察結果

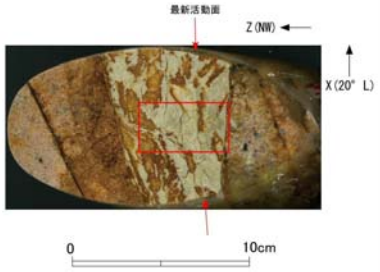

ブロックサンプル

薄片の作成方向は最新活動面に
直交方向かつ条線方向に平行方向

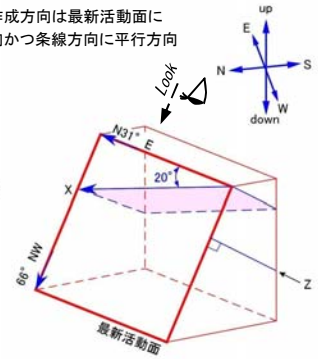

走向・傾斜 N31° E66° NW

X:条線方向(下向きを正とする)
Z:断層面の法線方向(上盤側を正とする)

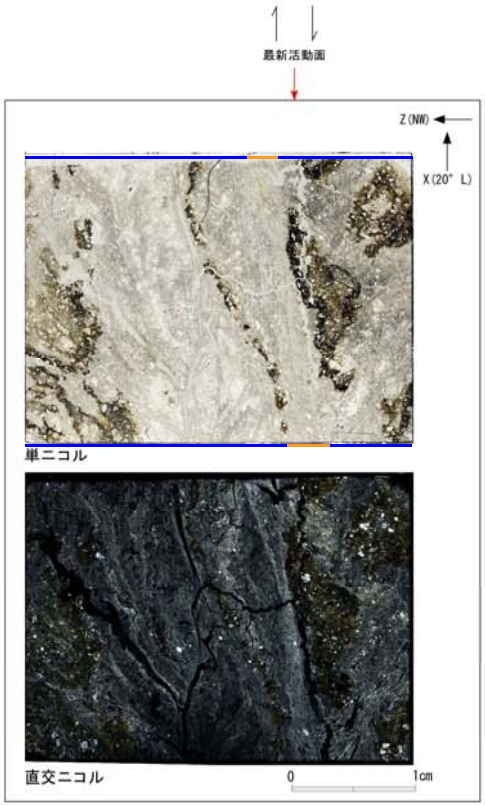

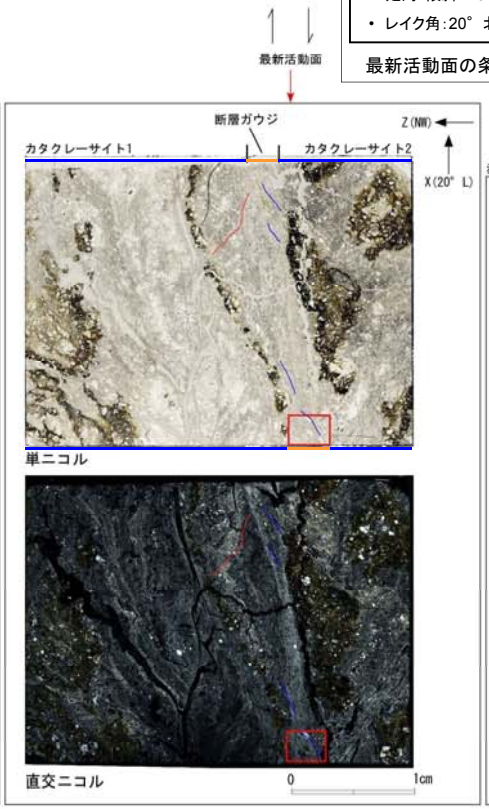

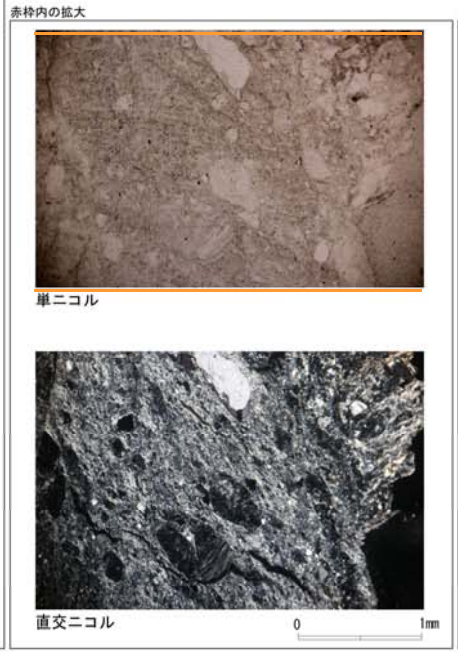

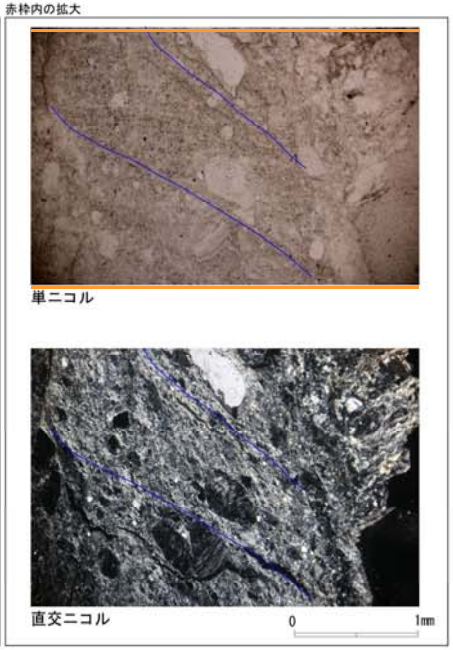

凡例
- 断層ガウジ
- カタクレーサイト
- R1面
- P面

2.2 (2)K断層

薄片試料観察(H24-D1-3　深度52.13m)

第536回審査会合
机上配付資料1 修正前

H27-D1-3のボーリングコア(深度52.13m)から採取した薄片試料の観察結果によれば最新活動面の変位センスは，右ずれ成分が卓越する。

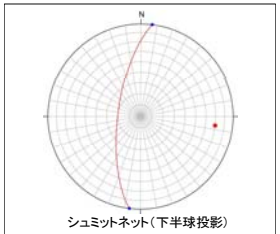

最新活動面の条線観察結果

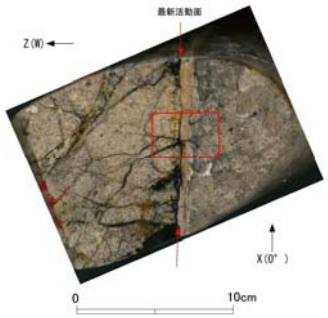

ブロックサンプル

薄片の作成方向は最新活動面に
直交方向かつ条線方向に平行方向

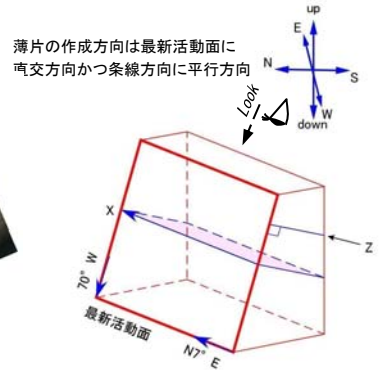

走向・傾斜 N7° E70° W

X:条線方向(下向きを正とする)
Z:断層面の法線方向(上盤側を正とする)

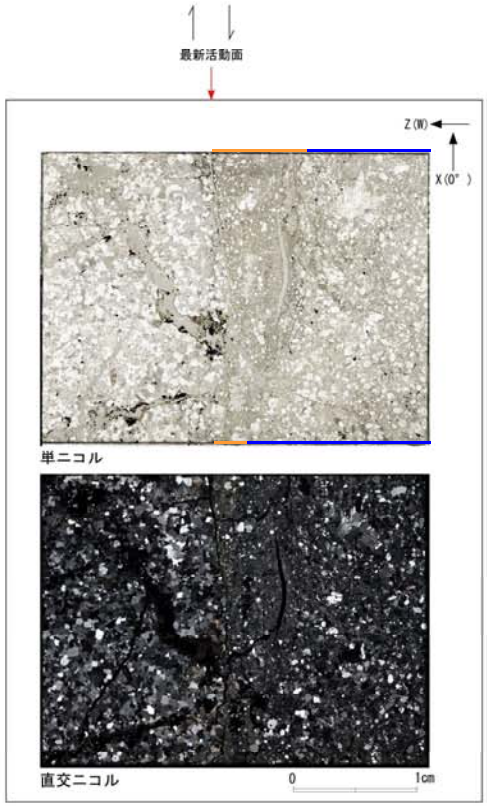

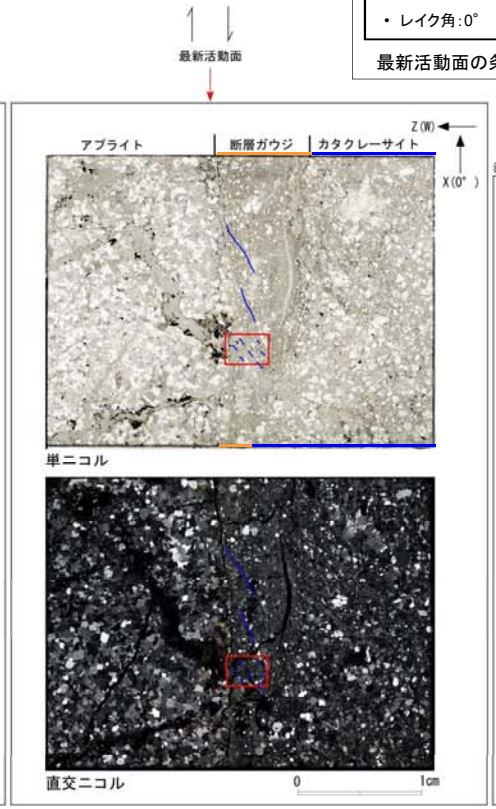

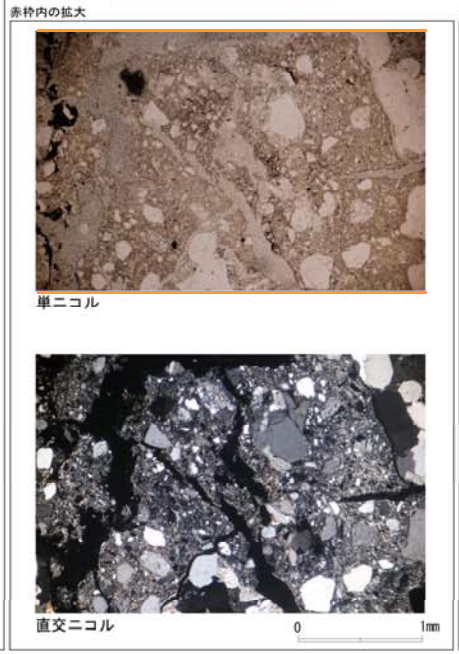

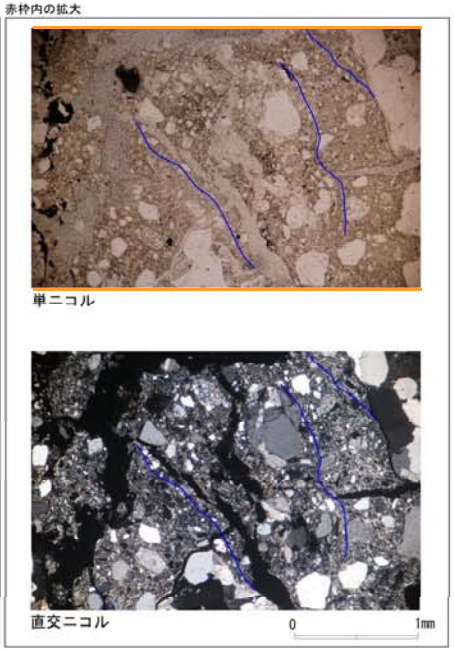

凡例
- 断層ガウジ
- カタクレーサイト
- R1面
- P面

2.2 (2)K断層

薄片試料観察(H24-D1-3　深度52.13m)

第536回審査会合
机上配付資料1 修正後

H24-D1-3のボーリングコア(深度52.13m)から採取した薄片試料の観察結果によれば最新活動面の変位センスは，右ずれ成分が卓越する。

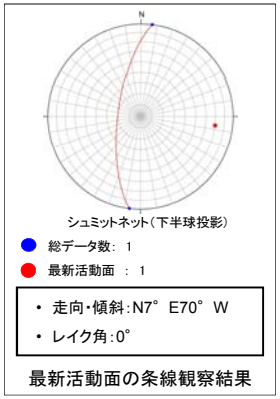

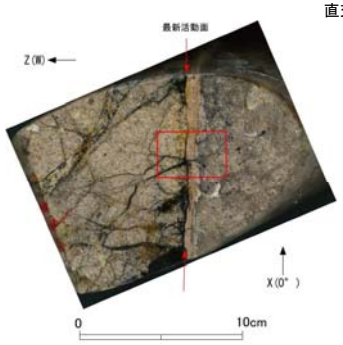

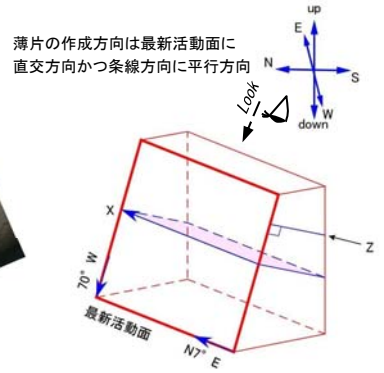

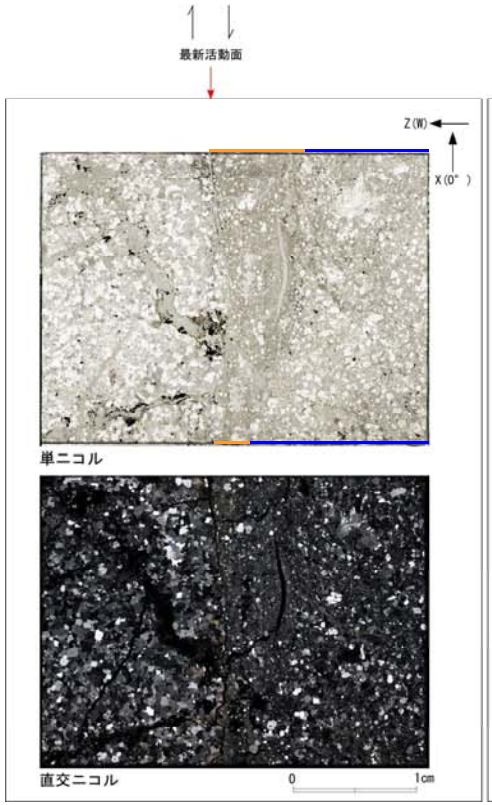

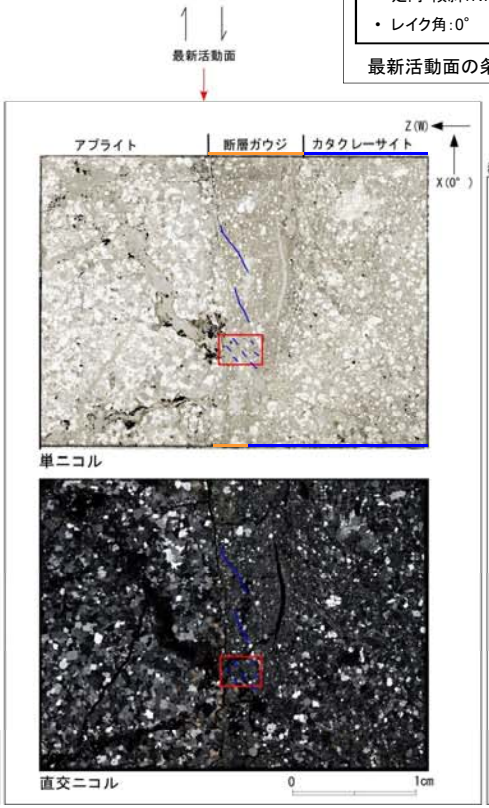

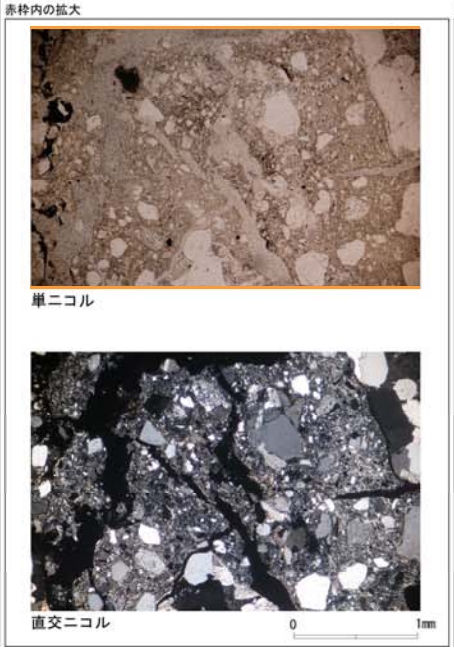

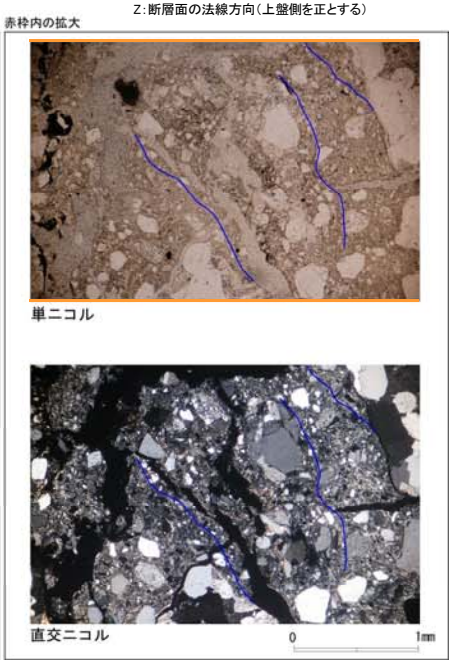

凡例
- 断層ガウジ
- カタクレーサイト
- R1面
- P面